

INSTRUKČNÍ KNIŽKA

ИНСТРУКЦИЯ  
ПО ЭКСПЛУАТАЦИИ

INSTRUCTION MANUAL



# TESLA

PŘÍZNAKOVÝ ANALYZÁTOR  
СИГНАТУРНЫЙ АНАЛИЗАТОР  
SIGNATURE ANALYZER

**BM 578**

# BM 578

Výrobní číslo:  
Заводской номер:  
Production No.:

## PŘÍZNAKOVÝ ANALYZÁTOR

Testovací přístroj pro vyhledávání závad ve složitých logických sítích. Používá techniku příznakové analýzy.

## СИГНАТУРНЫЙ АНАЛИЗАТОР

Испытательный прибор для отыскания неисправностей в сложных логических цепях. Он использует технику анализа сигнатур.

## SIGNATURE ANALYZER

A test instrument for locating defects in complex logic networks; it utilizes the technique of signature analysis.



Výrobce:  
Завод-изготовитель:  
Makers:

TESLA Brno, k. p., Purkyňova 99, 612 45 Brno

Obr. 1      Рис. 1      Fig. 1

**OBSAH**

1. Rozsah použití přístroje . . . . .	3
2. Sestava úplné dodávky . . . . .	4
3. Technické údaje . . . . .	4
4. Princip činnosti . . . . .	6
5. Pokyny pro vybalení, sestavení a přípravu k provozu . . . . .	8
6. Návod k obsluze a používání . . . . .	9
7. Mechanická konstrukce přístroje . . . . .	21
8. Podrobný popis zapojení . . . . .	22
9. Pokyny pro údržbu . . . . .	28
10. Pokyny pro opravy . . . . .	28
11. Pokyny pro dopravu a skladování . . . . .	33
12. Údaje o záruce . . . . .	34
13. Přiznaková analýza . . . . .	34
14. Ropis elektrických součástí . . . . .	88
15. Obrazová příloha . . . . .	92

**СОДЕРЖАНИЕ**

1. Назначение прибора . . . . .	1
2. Комплектность поставки . . . . .	2
3. Технические данные . . . . .	3
4. Принцип действия прибора . . . . .	4
5. Указания по распаковке, сборке и подготовке прибора к эксплуатации . . . . .	5
6. Инструкция по эксплуатации прибора . . . . .	6
7. Механическая конструкция прибора . . . . .	7
8. Подробное описание схемы . . . . .	8
9. Указания по уходу . . . . .	9
10. Указания по ремонту . . . . .	10
11. Указания по транспортировке и хранению . . . . .	11
12. Условия гарантии . . . . .	12
13. Сигнатурный анализ . . . . .	13
14. Спецификация электрических деталей . . . . .	14
15. Приложение рисунков . . . . .	15

**CONTENTS**

3. Scope of application of the instrument . . . . .	3
4. Contents of a complete consignment . . . . .	4
4. Technical data . . . . .	4
4. Principle of the instrument operation . . . . .	6
5. Instructions for unpacking the instrument, its assembly and preparation for use . . . . .	8
6. Instructions for attendance and use . . . . .	9
7. Description of the mechanical design . . . . .	21
8. Detailed description of the circuitry . . . . .	22
9. Instructions for maintenance . . . . .	28
10. Instructions for repairs . . . . .	28
11. Instructions for transport and storage . . . . .	33
12. Guarantee . . . . .	34
13. Signature analysis . . . . .	34
14. List of electrical components . . . . .	88
15. Illustration enclosure . . . . .	92

Vzhledem k rychlému vývoji světové elektroniky mění se obvody a přistupují a zlepšují se součásti našich přístrojů.

Někdy vlivem tisku a požadavků expedice se nám nepodaří zanést tyto změny do tištěných příruček.

Změny se proto v případě potřeby uvádějí na zvláštním listě.

Ввиду быстрого темпа развития мировой электроники изменяются схемы, появляются новые и совершенствуются детали наших приборов.

Иногда по вине печати или требований экспедиции не удается внести эти изменения в напечатанные пособия.

В таких случаях они приводятся на отдельном листе.

Owing to the rapid development of electronics in the world, the circuits of our instruments are altered and components of new types or improved design are employed.

Sometimes, due to printing terms or the requirement of speedy shipping, it is impossible to include a description of such alterations in the appropriate printed manual.

Therefore, if necessary, such alterations are given in a loose leaf.

## 1. ROZSAH POUŽITÍ PŘISTROJE

Příznakový analyzátor je servisní přístroj, sloužící k testování a vyhledávání chyb ve složitých sekvenčních logických sítích. Umožňuje nalezení závady až na úroveň jednotlivé vadné součástky. Snímá a zobrazuje jednoznačný čtyřmístný hexadecimální příznak (signature), přiřazený příslušnému uzlu v testovaném přístroji. Srovnávání tétoho příznaku se správnými příznaky, uvedenými v servisní dokumentaci, lze zpětně vysledovat vadou součástku (uzel).

Tato technika je především vhodná pro ověřování funkce mikropřesosorových obvodů a rychlých sekvenčních sítí, kde jsou datové řetězce dlouhé a složité a kde dosud nebyly vhodné prostředky k vyhledávání vadných součástek.

Testovaný přístroj musí mít pro aplikaci metody příznakové analýzy určité vlastnosti. Je obvykle řízen procesorem a obsahuje krátký testovací program, který vyzkouší postupně většinu obvodů přístroje. Je však možné i testování logických sítí bez procesoru, s použitím vnějšího generátoru vstupních signálů.

Navrhováním přístrojů řízených mikropřesosorem s respektováním techniky příznakové analýzy se umožní jednoduchý servis a testování bez drahých speciálních zařízení, pouze s pomocí příznakového analýzátora.

Příznaková analýza je atraktivní i pro vyhledávání chyb během výrobního procesu. Umožňuje lokalizování takových chyb, které jsou závislé na rychlosti a nejsou zjistitelné testery jednotlivých desek.

## 1. НАЗНАЧЕНИЕ ПРИБОРА

Сигнатурный анализатор — это прибор технического обслуживания, предназначенный для испытания и отыскания неисправностей в сложных последовательных логических сетях. Он дает возможность находить неисправности до уровня отделения негодной детали. Снимает и изображает однозначную четырехразрядную честотно-цифровую сигнатуру, присущую определенному узлу в испытываемом приборе. Путем сопоставления этих сигналов с правильными сигнатурами, указанными в технической документации, можно определить негодную деталь (узел).

Эта техника является, прежде всего, подходит для проверки работы микропроцессорных схем и быстрых последовательных сетей, где цепи данных являются сложными и длинными и где до настоящего времени нет подходящих средств для отыскания негодных деталей.

Испытываемый прибор должен обладать определенными свойствами для возможности использования метода сигнатурного анализа. Он, как правило, управляетя процессором и содержит краткую испытательную программу, которая проверяет постепенно большинство цепей прибора. Имеется возможность испытания логических сетей без процессора при использовании внешнего генератора входных сигналов.

При проектировании приборов, управляемых микропроцессором, с учетом техники сигнатурного анализа обеспечивается простое техническое обслуживание и испытание без дорогостоящего специального оборудования, только с помощью сигнатурного анализатора.

Анализ сигнатур является применимым и для отыскания ошибок во время производственного процесса. Он дает возможность определить место нахождение и таких погрешностей, которые зависят от скорости и не могут быть обнаружены тестерами отдельных плат.

## 1. SCOPE OF APPLICATION OF THE INSTRUMENT

The signature analyzer BM 578 is a service instrument applicable for testing and fault locating in complex sequential logic networks. It enables finding of a fault and tracing it down to the individual defective component; it senses and displays an unambiguous four-digit hexadecimal signature associated with the pertaining node in the instrument under test. By comparing these signatures with correct signatures listed in the appropriate service documentation, the defective component [node] can be traced back and ascertained.

This technique is suitable primarily for proving the functioning of microprocessor circuits and fast sequential networks which have long and involved data strings and for which suitable means for tracing defective components have not been available hitherto.

The tested instrument must have certain properties for rendering the application of the method of signature analysis feasible. It is usually processor-controlled and contains a short test program which successively proves the majority of the circuits of the instrument. However, also logic networks without processor can be tested when an external generator is used for creating the input signals.

Designing microprocessor-controlled instruments by taking into consideration the technique of signature analysis enables their easy servicing and testing, without the use of special expensive instrumentation, with the aid of only the signature analyzer.

Signature analysis is valuable also for troubleshooting during production. It also enables locating of such defects which depend on speed and cannot be found by testers of individual printed circuit boards.

## 2. SESTAVA ÚPLNÉ DODÁVKY

1 ks Příznakový analyzátor  
1 ks Sondy se společným konektorem  
obsahuje:  
5 ks káblek  
5 ks záchrávací svorka  
1 ks Vidlice FRB 30-pólová  
1 ks Kryt  
1 ks Sítová šňůra

1 ks Sáček s náhradními pojistkami

BM 578  
1AK 063 67  
1AF 896 77  
1AF 251 16  
F 2,5 A  
F 200 mA

1 ks Instrukční knížka  
1 ks Balicí list  
1 ks Záruční list

## 2. КОМПЛЕКТНОСТЬ ПОСТАВКИ

1 шт. сигнатурный анализатор  
1 шт. зонды с общим разъемом  
содержание:  
5 шт. кабель  
5 шт. зажим  
1 шт. вилка FRB 30 контактная  
1 шт. крышка  
1 шт. сетевой шнур  
1 шт. пакетик с запасными  
предохранителями  
1 шт. инструкция  
1 шт. упаковочный лист  
1 шт. гарантинное свидетельство

1AF 895 77  
1AF 251 16  
F 2,5 A  
F 200 mA

BM 578  
1AK 063 67  
1AF 896 77  
1AF 251 16  
F 2,5 A  
F 200 mA

## 2. CONTENTS OF A COMPLETE CONSIGNMENT

1 pc. Signature analyzer  
1 pc. Probes with common connector,  
including:  
5 cables  
5 test clips  
1 pc. 30-pole FRB plug  
1 pc. Cover  
1 pc. Mains cord  
1 pc. Bag of spare fuses  
1 pc. Instruction Manual  
1 pc. Packing Note  
1 pc. Guarantee Certificate

BM 578  
1AK 063 67  
1AF 896 77  
1AF 251 16  
F 2,5 A  
F 200 mA

## 3. TECHNICKÉ ÚDAJE

### 3.1. Základní technické vlastnosti

#### DISPLAY

Příznak: čtyřmístný hexadecimální  
znamky 0 1 2 3 4 5 6 7 8 9 A C F H P U

Indikátor hradla: svítivka na panelu

Indikátor nestabilního příznaku: svítivka na panelu

Indikátor na sondě: indikuje úroveň H, L a špatnou  
úroveň. Minimální délka impulu: 20 ns

Prodloužení impulu všech indikátorů: asi 50 ms

Pravděpodobnost zjištění správného řetězce dat:  
100%

Pravděpodobnost zjištění chybného řetězce dat:  
99,998%

Min. délka měřicího intervalu: jeden hodinový cykl

Min. doba mezi měřicími intervaly: jeden hodinový  
cykl

## 3. ТЕХНИЧЕСКИЕ ДАННЫЕ

### 3.1. Основные технические данные

#### ДИСПЛЕЙ

Сигнатура: четырехразрядная шестнадцатеричная  
знако 0 1 2 3 4 5 6 7 8 9 А С F Н Р У

Индикатор ключа: светодиод на панели

Индикатор неустойчивой сигнатуры: светодиод  
на панели

Индикатор на зонде: индицирует уровни H, L и  
неправильный уровень. Минимальная длительность  
импульса 20 нс.

Увеличение длительности импульсов всех  
индикаторов: прибл. 50 мс

Вероятность определения правильной цепи  
данных: 100%

Вероятность определения ошибочной цепи  
данных: 99,998%

Минимальная длительность измерительного  
интервала: один тактовый цикл

Минимальная длительность времени между  
измерительными интервалами: один тактовый  
цикла

## 3. TECHNICAL DATA

### 3.1. Basic technical data

#### DISPLAY

Signature: 4-digit hexadecimal characters:  
0 1 2 3 4 5 6 7 8 9 A C F H P U

Gate indicator: LED on the panel

Unstable signature indicator: LED on the panel

Indicator on the probe: Indicates H (high), L (low)  
and incorrect levels.

Minimum pulse duration: 20 ns

Pulse extension of all the indicators: Approx.  
50 ms

Probability of correct data string ascertainment:  
100%

Probability of incorrect data string ascertainment:  
99.998%

Min. duration of the measurement interval: One  
clock cycle

Min. gap between the measurement intervals: One  
clock cycle

## DATOVÁ SONDA

Vstupní proud: < 10  $\mu$ A při 1,4 V

Rozhodovací úroveň:  $U_H \geq 2$  V

$$U_L \leq 0,8$$

Potřebný předstih: 20 ns

Potřebný přesah: 0 ns

VSTUPY START, STOP a HODINY

Vstupní proud: < 10  $\mu$ A při 1,4 V

Rozhodovací úroveň: 1,5 V

Start a stop:

Potřebný předstih: 30 ns

Potřebný přesah: 0 ns

Hodiny:

Max. kmitočet: 10 MHz

Min. délka stavu H nebo L [high nebo low]: 50 ns

Ochrana proti přetížení:  $\pm 15$  V trvale (všechny vstupy)

## VÝSTUP:

údaj příznaku v hexadecimálním kódu

Úroveň: TTL,  $N_{out} = 9$

Bezpečnostní třída: I, podle ČSN 35 6501

Stupeň odrušení: RO2 podle ČSN 34 2860

## 3.2. Pracovní podmínky

Rozsah teplot: +5 °C až +40 °C

Relativní vlhkost: 40% až 80%

Tlak vzduchu: 86 000 Pa až 106 000 Pa

Poloha přístroje: vodorovná nebo nakloněná

Napájecí napětí: 220 V  $\pm 10\%$

Druh napájecího proudu: střídavý sinusový se zkreslením menším než 5%

Kmitočet napájecího napětí: 50 Hz  $\pm 5\%$

Příkon: asi 40 VA

## ЩУП ПРИЕМА ДАННЫХ

Входной ток: < 10 мкА при 1,4 В

Пороговые уровни:  $U_H \geq 2$  В

$$U_L \leq 0,8$$

Необходимое опережение: 20 нс

Необходимое перекрытие: 0 нс

ВХОДЫ: СТАРТ, СТОП и ТАКТ

Входной ток: < 10 мкА при 1,4 В

Пороговой уровень: 1,5 В

Старт и останов:

Необходимое опережение: 30 нс

Необходимое перекрытие: 0 нс

Такт:

Максимальная частота: 10 МГц

Мин. длительность состояния H или L: 50 нс

Защита от перегрузки: все входы  $\pm 15$  В непрерывно

## ВЫХОД:

показание сигнатуры в шестнадцатеричном коде

Уровень: TTL,  $N_{out} = 9$

Класс безопасности: I по PC 4786-74

Подавление радиопомех: отвечает требованиям по RC 1932-69 (кривая A)

## 3.2. Условия эксплуатации

Диапазон температур:  $-5^{\circ}\text{C}$   $\text{--} +40^{\circ}\text{C}$

Относительная влажность: 40%  $\text{--} 80\%$

Давление воздуха: 86 000  $\text{--} 106 000$  Па

Положение прибора: горизонтальное или наклонное

Напряжение питания: 220 В  $\pm 10\%$

Вид тока питания: переменный синусоидальный с кпн менее 5%

Частота напряжения питания: 50 Гц  $\pm 5\%$

Потребляемая мощность: прибл. 40 ВА

## DATA PROBE

Input current: < 10  $\mu$ A at 1.4 V

Decisive level:  $V_H \geq 2$  V

$$V_L \leq 0,8$$

Required lead: 20 ns

Required overlap: 0 ns

INPUTS: START, STOP and CLOCK

Input current: < 10  $\mu$ A at 1.4 V

Decisive level: 1.5 V

Start and stop:

Required lead: 30 ns

Required overlap: 0 ns

Clock:

Max. frequency: 10 MHz

Min. duration of the H or L state: 50 ns

Overload protection:

All the inputs:  $\pm 15$  V, permanently

## OUTPUT:

Signature readout in hexadecimal code

Level: TTL,  $N_{out} = 9$

Intrinsic safety: Class I, according to the Czechoslovak Standard ČSN 35 6501, in conformity with the pertaining IEC Recommendation.

Interference suppression: RO 2, according to the Czechoslovak Standard ČSN 34 2860, in accordance with the pertaining IEC Recommendation.

## 3.2. Working conditions

Ambient temperature range:  $+5^{\circ}\text{C}$   $\text{--} +40^{\circ}\text{C}$

Relative humidity range: 40%  $\text{--} 80\%$

Atmospheric pressure range:

86 000 Pa  $\text{--} 106 000$  Pa

Working position: Horizontal, or tilted

Powering voltage: 220 V  $\pm 10\%$

Powering current: AC sinusoidal of less than 5% distortion

Powering frequency: 50 Hz  $\pm 5\%$

Power consumption: Approx. 40 VA

Jištění: 220 V — F 200 mA, +5 V — F 2,5 A

Vnější magnetické pole: zanedbatelné

Vnější elektrické pole: zanedbatelné

### 3.3. Všeobecné údaje

Osazení: 29 tranzistorů, 25 diod, 41 integrovaných obvodů, 5 LED, 4 segmentovky

Rozměry přístroje: šířka 275 mm, výška 89 mm, hloubka 300 mm, hmotnost 4 kg

Rozměry zabaleného přístroje: šířka 370 mm, výška 220 mm, hloubka 350 mm, hmotnost 5 kg

### Poznámka:

Podmínky pro dopravu a skladování jsou uvedeny v kapitole 11.

## 4. PRINCIP ČINNOSTI

- 1 — detektor úrovni 2 V
- 2 — detektor úrovni 0,8 V
- 3—5 — detektor úrovni 1,5 V
- 6, 7 — prodloužený impulsu
- 8, 9 — LED indikátor vstupní úrovni
- 10 — volba aktivní hrany signálů
- 11 — řízení hradlování
- 12 — vstupní paměť dat
- 13 — generátor cyklického kódu
- 14 — paměť, multiplexer a budiče dynamického displeje
- 15 — displej
- 16 — paměť a komparátor nestabilního příznaku
- 17 — LED indikátor nestabilního příznaku
- 18 — LED indikátor hradia
- 19 — oscilátor 1 kHz
- 20 — řízení funkce „samokontrola“
- 21 — řídící čítač dynamického displeje

Zaštěna: 220 V — F 200 mA; +5 V — F 2,5 A

Vnější magnetické pole: пренебрежимо мало  
Vnější elektrické pole: пренебрежимо мало

### 3.3. Общие данные

Рабочий комплект полупроводниковых элементов: 29 транзисторов, 25 диодов, 41 интегральная микросхема, 5 светодиодов, 4 цифровых индикатора

Габариты прибора: ширина 275 мм, высота 89 мм, глубина 300 мм, масса 4 кг

Габариты упакованного прибора: ширина 370 мм, высота 220 мм, глубина 350 мм, масса 5 кг

### Примечание:

Условия транспортировки и хранения приведены в главе 11.

## 4. ПРИНЦИП ДЕЙСТВИЯ ПРИБОРА

- 1 — детектор уровня 2 В
- 2 — детектор уровня 0,8 В
- 3—5 — детектор уровня 1,5 В
- 6, 7 — удлинение импульса
- 8, 9 — индикатор входного уровня на светодиоде
- 10 — выбор рабочего фронта сигналов
- 11 — управление ключевым режимом
- 12 — входная память данных
- 13 — генератор циклического кода
- 14 — память, мультиплексор и возбудители динамического дисплея
- 15 — дисплей
- 16 — память и компаратор нестабильной сигнатуры
- 17 — светодиодный индикатор нестабильной сигнатуры
- 18 — светодиодный индикатор ключа
- 19 — автогенератор 1 кГц
- 20 — управление режимом зоноконтроль
- 21 — управляющий счетчик динамического дисплея

Protection: By fuses: F 200 mA for 220 V, F 2,5 A for +5 V

External magnetic field: Negligible  
External electric field: Negligible

### 3.3. General data

Complement: 29 Transistors, 25 Diodes, 41 Integrated circuits, 5 LEDs, 4 7-segment indicators

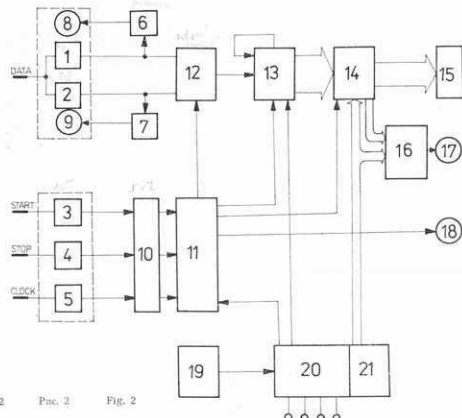
Dimensions and weight of the instrument:  
Unpacked: Width 275 mm, Height 89 mm, Depth 300 mm, Weight 4 kg  
Packed: Width 370 mm, Height 220 mm, Depth 350 mm, Weight 5kg

### Note:

The conditions for transport and storage are given in detail in Section 11. of this Manual.

## 4. PRINCIPLE OF THE INSTRUMENT OPERATION

- 1 — Level detector 2 V
- 2 — Level detector 0,8 V
- 3 to 5 — Level detectors 1,5 V
- 6, 7 — Pulse stretchers
- 8, 9 — Input level LED indicators
- 10 — Selection of the active edges of signals
- 11 — Gating control
- 12 — Input data store
- 13 — Cyclic code generator
- 14 — Store, multiplexer and drivers of the dynamic display
- 15 — Display
- 16 — Store and comparator of unstable signatures
- 17 — LED indicator of unstable signatures
- 18 — LED indicator of the gate
- 19 — Oscillator 1 kHz
- 20 — Control of the SELF-TEST function
- 21 — Control counter of the dynamic display



Obr. 2

Рис. 2

Fig. 2

Vstupní signály DATA, START a STOP jsou po průchodu úrovnovými detektory synchronizovány hodinovým signálem CLOCK ve vstupních klopných obvodech.

Signály START a STOP po volbě aktivní hrany v bloku (10) vstupují do měřicího bloku (11), kde určují délku měřicího intervalu. V tomto měřicím intervalu prochází signál DATA přes vstupní paměť (12), která kromě své funkce vyhodnocuje špatnou vstupní úroveň jako poslední platnou úroveň do generátoru cyklického kódu (13). Tento blok tvoří

Входные сигналы ДАННЫЕ, СТАРТ и СТОП после прохождения через детекторы уровней синхронизируются тактовым сигналом ТАКТ во входных триггерах.

Сигналы СТАРТ и СТОП после выбора рабочего фронта в блоке (10) поступают в блок управления (11), где они определяют длительность измерительного интервала. В течение этого измерительного интервала проходит сигнал ДАННЫЕ через входную память (12), которая, кроме своего назначения, определяет неправильный входной уровень в качестве последнего действительного уровня в генераторе циклического кода (13). Этот

After passing through the level detectors, the input signals DATA, START and STOP are synchronized by a CLOCK signal in the input flip-flop circuits.

After selection of the active (triggering) edge in block (10), the signals START and STOP enter control block (11), where they determine the duration of the measurement interval. During this interval, the DATA signal passes through input store (12) [which, in addition to its normal function, also evaluates an incorrect input level as the last valid level] into the generator of the cyclic code. This block (13) is formed by a 16-bit

séstnáctibitový posuvný registr se čtyřmi zpětnými vazbami. Přijatá data v něm stále obíhají a jsou přitom vždy modifikována právě přijímanými daty. Dochází tu tedy ke komprese dat.

Po skončení měřicího intervalu je obsah tohoto registru přepsán do paměti bloku (14), který pro vede jeho zobrazení ve tvaru čtyř hexadecimálních znaků na displeji (15).

Vždy dva po sobě následující zobrazené příznaky jsou porovnávány v bloku (16) a případný nesoulhlas je indikován svítivkou (17) nestabilního příznaku.

Oscilátor (19) jednak řídí dynamický displej přes čtač (21), jednak ve funkci „TEST“ řídí jako zdroj hodinových impulzů blok (20). Tento blok vytváří soubor testovacích signálů jak pro vstupní sondy, tak pro vnitřní obvody přístroje. Výsledek testu se zobrazí na displeji ve formě předepsaných příznaků.

## 5. POKYNY PRO VYBALENÍ, SESTAVENÍ A PŘÍPRAVU K PROVOZU

Přístroj se postupně vybalí z obalu a v případě, že byl skladován v takových teplotách, že by mohl projít rosým bodem, nechá se aklimatizovat. Úplnost dodávky je možno zkontrolovat podle kapitolky 2.

Doporučujeme, aby balení, ve kterém Vám byl přístroj předán, jste si uschovali pro případnou další přepravu přístroje. Při zabalení postupujte opačným způsobem než při vybalování.

Před zapojením přístroje se ujistíme, zda napětí sítě, na kterou hodláme přístroj připojit, je 220 V.

blok образovan shestnáctibitovým sdílejícím registrum s čtyřma обратными связями. Принятые данные в нем постоянно циркулируют и при этом всегда модифицируются принимаемыми в данный момент данными. Следовательно, имеет место сжатие данных.

После окончания измерительного интервала содержание этого регистра передается в память блока (14), который осуществляет изображение содержания в виде четырех шестнадцатиричных знаков на дисплее (15).

Всегда следующие друг за другом изображаемые сигнатуры сравниваются в блоке (16) и их несоответствие индицируется светодиодом (17) неустойчивой сигнатуры.

Автогенератор (19) управляет динамическим дисплеем через счетчик (21) и, кроме того, в режиме «ИСПЫТАНИЕ» управляет блоком (20) в качестве источника тактовых импульсов. Этот блок вырабатывает набор испытательных сигналов как для входных шупов, так и для внутренних схем прибора. Результат испытания изображается на дисплее в виде предписанных сигнатур.

## 5. УКАЗАНИЯ ПО РАСПАКОВКЕ, СБОРКЕ И ПОДГОТОВКЕ ПРИБОРА К ЭКСПЛУАТАЦИИ

Прибор постепенно вынимается из тары и в том случае, если он хранился при температуре, способствующей образованию росы, его следует оставить для акклиматизации. Комплектность поставки можно проверить в соответствии с главой 2.

Рекомендуется сохранить тару, в которой постается прибор, для возможной последующей его транспортировки. При упаковке поступают в обратной последовательности по сравнению с упаковкой.

Перед включением прибора следует убедиться в том, что напряжение сети, от которой прибор будет питаться, составляет 220 В. Прибор рассчи-

shift register with four feedbacks. The received data circulate in it and during this process are modified by the data just received. Thus, data compression takes place.

When the measurement interval has terminated, the content of this register is transcribed into the store (block 14) which presents it in the form of four hexadecimal characters by the display (15) of the instrument.

Always two displayed signatures following each other are compared mutually in block (16) and a discord (if any) is signalled by the LED (17) of unstable signature.

The oscillator (19) controls the dynamic display by means of the control counter (21), as well as in its „TEST“ function it controls block (20) as a source of clock pulses which produces a set of test signals for the input probes and for the internal circuits of the instrument. The result of the test is presented by the display in the form of the specified signatures.

## 5. INSTRUCTIONS FOR UNPACKING THE INSTRUMENT, ITS ASSEMBLY AND PREPARATION FOR USE

The BM 578 signature analyzer has to be taken carefully out of its packing and if it has been stored at such a low temperature that dew formation can be expected, it must be conditioned before being set in operation. Completeness of the consignment can be checked according to Section 2, of this Manual.

It is recommended to save the packing in which the instrument was delivered, for possible transport at a later date. When packing the instrument, a procedure opposite to that for its unpacking has to be followed.

Before connecting the signature analyzer to the mains, it is essential to ensure that the available voltage is 220 V. The instrument is designed for

Přístroj je navržen pouze pro toto napětí a nelze je měnit.

## 6. NÁVOD K OBSLUZE A POUŽIVÁNÍ

### 6.1. Bezpečnostní opatření

Přístroj je konstruován v bezpečnostní třídě I podle ČSN 35 6501 (kovové části přístupné dotyku jsou připojeny k ochrannému vodiči a izolace před sítovým napětím vyhovuje uvedené normě).

Je nutné se přesvědčit, zda síť, ke které hodláme přístroj připojit, má zapojen ochranný vodič podle normy a má napětí 220 V. Použíjte-li se prodlužovací sítová šňůra nebo jiná šňůra, než je v příslušenství přístroje, musí mít správně zapojen třetí, ochranný vodič.

Rovněž všechny přístroje, připojené k příznakovému analyzátoru, musí být spojeny s ochranným vodičem.

Sítová pojistka smí být nahrazena pouze typem, uvedeným v bodě 3.2. Technických údajů tohoto návodu.

### 6.2. Uspořádání ovládacích prvků

#### 6.2.1. Přední panel

1 — sítový vypínač

Je-li přístroj v chodu, svítí kontrolka 2

2 — kontrolka zapnutí

3 — displej

Obsahuje čtyři hexadecimální znaky, které jsou pro snížení možnosti chybného čtení odlišné od běžného souboru hexadecimálních znaků. Je použit soubor 0 1 2 3 4 5 6 7 8 9 A C F H P U

так только на это напряжение без возможности переключения.

## 6. ИНСТРУКЦИЯ ПО ЭКСПЛУАТАЦИИ ПРИБОРА

### 6.1. Правила техники безопасности

Прибор сконструирован по классу безопасности I в соответствии с требованиями МЭК (металлические части, доступные прикосновению, подключены к защитному проводу и изоляции частей, находящихся под напряжением сети, удовлетворяют указанным требованиям).

Необходимо убедиться в том, что сеть, от которой будет питаться прибор, оснащена защитным проводом в соответствии со стандартом и обладает напряжением 220 В. При использовании удлинительного сетевого шнура или другого шнура, не входящего в состав принадлежностей прибора, необходимо следить за правильным подключением третьего защитного провода.

Также все приборы, подключенные к сигнатурному анализатору, должны быть соединены с защитным проводом. Сетевой предохранитель должен быть заменен только типом, указанным в п. 3.2. технических данных.

### 6.2. Расположение элементов управления

#### 6.2.1. Передняя панель

1 — сетевой выключатель

При работе прибора горит контрольная лампа 2

2 — контрольная лампа включения

3 — дисплей

Он содержит четыре шестнадцатеричных знака, которые для уменьшения вероятности ошибочного чтения отличаются от обычного набора шестнадцатеричных знаков. Использован набор знаков 0 1 2 3 4 5 6 7 8 9 A C F H P U

powering only by this voltage and it cannot be powered by any other.

## 6. INSTRUCTIONS FOR ATTENDANCE AND USE

### 6.1. Safety measures

The BM 578 signature analyzer is designed to meet the stipulations laid down in the Czechoslovak Standard ČSN 35 6501 for Class I. Intrinsic safety (all metal parts accessible to the touch are connected to the mains protective conductor and the insulation of all the components carrying the mains voltage respond to the rules given in this Standard).

It is essential to ensure that the mains service branch, to which the instrument will be connected, has a neutral (protective) conductor and that it supplies AC of 220 V. If an extension cord, i. e. any other mains cord than the one supplied as an accessory, has to be used for powering, then it must have a correctly connected third, i. e. protective, conductor.

Also it is essential for all the other instruments which will be connected to the signature analyzer to be connected reliably to the protective conductor.

If the mains fuse blows, it must be replaced only by one of the type and rating given in item 3.2. of Section 3. of this Manual.

### 6.2. Layout of the controls

#### 6.2.1. Front panel

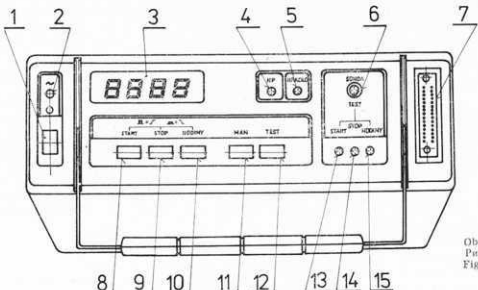
1 — Mains switch —

When the instrument is powered, pilot lamp 2 is alight.

2 — Pilot lamp

3 — Display —

Contains four hexadecimal characters which differ from the usual set of hexadecimal characters so as to reduce erroneous reading. The following set is employed: 0 1 2 3 4 5 6 7 8 9 A C F H P U



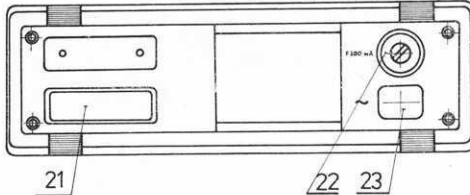
Obr. 3  
Pic. 3  
Fig. 3

- 4 — kontrolka nestabilního příznaku  
Blikne vždy při zobrazení (pro oko často nepostřehnutelném) příznaku odlišného od předchozího
- 5 — kontroly hradla  
Svítí vždy mezi platnými signály START a STOP. Interval kratší než 50 ms je prodloužen na asi 50 ms
- 6 — zdírka pro datovou sondu při funkci TEST
- 7 — konektor pro připojení sond
- 8, 9, 10 — tlačítka pro volbu aktívnej hrany signálů START, STOP a HODINY  
Při nestisknutém tlačítku reaguje přístroj na vzestupnou hranu, při stisknutém na se-stupnou hranu signálu
- 11 — tlačítko funkce jednorázového měření  
Při stisknutí tlačítka sejmě přístroj vždy pouze první platný příznač [po uvolnění tlačítka RESET na datové sondě] a ponechá jej na displeji
- 12 — tlačítko TEST přepíná přístroj do funkce samokontroly — viz kap. 6.3.2.

- 4 — контрольная лампа нестабильной сигнатуры  
Она мигает при изображении (это мигание часто незаметно простым глазом) сигнатуры, отличающейся от предшествующей
- 5 — контролльная лампа ключа  
Горит всегда во время паузы между правильными сигналами СТАРТ и СТОП. Интервал длительностью менее 50 мс удлиняется до 50 мс.
- 6 — гнездо для шупа данных в режиме ИСПЫТ.
- 7 — разъем для подключения шупов
- 8, 9, 10 — кнопки для выбора рабочего фронта сигналов СТАРТ, СТОП и ТАКТ  
При нажатой кнопке прибор работает от восходящего фронта, при нажатой кнопке — от нисходящего фронта
- 11 — кнопка режима однократного измерения  
При нажатой кнопке прибор снимает всегда первую действительную сигнатуру (после отпускания кнопки СБРОС на шупе данных) и эта сигнатура изображается на дисплее
- 12 — кнопка ИСПЫТ. переводит прибор в режим автотестирования — см. гл. 6.3.2.
- 4 — LED indicating unstable signatures  
Always flickers when the displayed signature differs from the previous one. (This flickering is often hardly visible to the eye.)
- 5 — Gate LED indicator  
Always alight between valid START and STOP signals. Measurement intervals shorter than 50 ms are extended to approximately 50 ms.
- 6 — Socket for the data probe during the TEST function
- 7 — Receptacle for the probe connector
- 8, 9, 10 — Push-buttons for selecting the active edges of the START, STOP and CLOCK signals  
When any of these push-buttons is released, the instrument reacts to the rising edge of the signal and to the falling edge when it is depressed.
- 11 — Push-button for one-shot measurement  
When this push-button is depressed, the instrument always samples only the first valid signature [after the RESET push-button on the data probe has been released] and leaves it on the display.
- 12 — Push-button TEST  
Serves for switching the instrument to the self-testing function — see item 6.3.2.

13,14,15 — zdírky pro hradlovací sondu při funkci TEST

#### 6.2.2. Zadní panel



#### 21 — výstupní konektor

Na jeho špičkách je příznak v hexadecimálním kódě a některé řídící signály. Zapojení konektoru je uvedeno v kap. 6.6.

#### 22 — síťová pojistka

#### 23 — síťová přívodka

#### 6.2.3. Sondy

##### 31 — společný konektor sond

Zasouvá se do konektoru 7 na předním panelu přístroje. Při vyjmání a zasouvání je třeba stisknout obě západky 40.

##### 32 — datová sonda

Přikládá se postupně k jednotlivým měřicím boddům

##### 33 — tlačítko RESET pro nulování přístroje

Při funkci jednorázového měření umožňuje sejmání dalšího příznaku.

##### 34 — Indikace logických drážek na hrotu sondy

Indikace pracuje stále, bez ohledu na stav hradlovacích signálů

##### 35 — hradlovací sonda

Je zpravidla během celého testování připojena do stálých bodů zkoumaného přístroje, využovaných pro tento účel

##### 36 — označení vstupů sondy

##### 37 — šroubovací konektory jednotlivých vstupů

13,14,15 — гнезда для ключевого шнура при режиме работы ИСПЫТ.

#### 6.2.2. Задняя панель

#### 6.2.2. Back panel

Obr. 4  
Pic. 4  
Fig. 4

#### 21 — выходной разъем

На его краях имеется сигнатура шестнадцатеричного кода и некоторые управляющие сигналы. Схема разъема дана в табл. 6.6.

#### 22 — сетевой предохранитель

#### 23 — сетевой гнездо

#### 6.2.3. Щупы

##### 31 — общий разъем щупов

Он залипается в разъем 7 на передней панели прибора. При вынимании и вставлении необходимо нажать обе защелки 40.

##### 32 — щуп приема данных

Он подключается постепенно к отдельным измерительным точкам

##### 33 — кнопка сброса для сброса прибора

При режиме однократного измерения она дает возможность снятия следующей сигнатуры.

##### 34 — индикация логических уровней на конце щупа

Индикация работает непрерывно, независимо от состояния ключевых сигналов.

##### 35 — градилючий щуп

Он обычно во время испытания позиционен в постоянных точках испытуемого прибора, выведенных для этой цели.

##### 36 — обозначение входов щупа

##### 37 — разъемные разъемы отдельных входов

#### 21 — Output connector

On the tags are: the signature in the hexadecimal code and some of the control signals. The wiring of this connector is given in item 6.6.

#### 22 — Mains fuse

#### 23 — Mains connector

#### 6.2.3. Probes

##### 31 — Common connector of the probes

To be inserted into the receptacle (7) on the front panel of the instrument. When inserting or withdrawing the connector, the two latches (40) must be pressed.

##### 32 — Data probe

To be applied successively to all the measured points.

##### 33 — Push-button RESET for zeroing the instrument

Serves for sampling a further signature during a one-shot measurement.

##### 34 — Indicator of the logic level on the probe tip

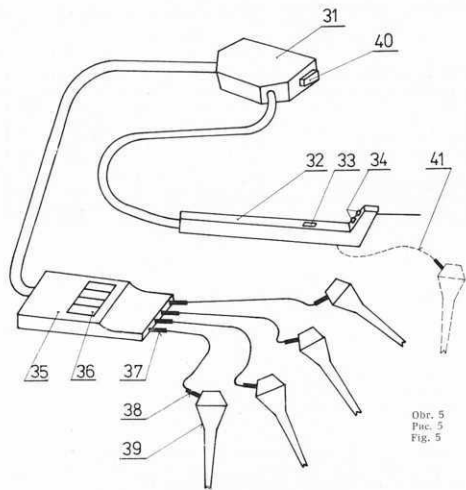
Operates all the time, regardless to the state of the gating signals.

##### 35 — Gating probe

As a rule, this probe is connected during the whole test procedure to fixed points of the instrument under test, which are brought out for the purpose.

##### 36 — Markings of the probe inputs

##### 37 — Screw connections of the individual input cables



Obr. 5  
Рис. 5  
Fig. 5

38 — nasouvací konektory

Je možno je nasouvat i na jiné měřicí body s průměrem 0,6 mm

39 — zachytávaci svorky, vhodný i pro rozteč měřicích bodů 2,5 mm

Pro uvolnění je třeba stisknout palcem jejich horní část proti spodní části, držené dvěma dalšími prsty.

40 — západka konektoru

41 — zemnící kabelik datové sondy

38 — выдвижные разъемы

Их можно устанавливать и на других измерительных точках диаметром 0,6 мм

39 — зажимы, подходит и для расстояния между измерительными точками 2,5 мм

После освобождения следует нажать пальцем на верхнюю часть щипца относительно нижней части, которую следует держать двумя пальцами.

40 — защелка разъема

41 — заземляющий кабель шупа приема данных

38 — Connecting sleeves

Applicable also to measuring points provided with prongs of 0,6 mm diameter

39 — Test clips, applicable also to measuring points of 2,5 mm spacing

For releasing a test clip, its upper part must be pressed towards the lower one (between the thumb and two fingers).

40 — Latch of the connector

41 — Earthing cable of the data probe

### 6.3. Příprava přístroje k měření

#### 6.3.1. Sestavení a zapnutí přístroje

Připojíme k přístroji sondy zasunutím konektoru (31) do konektoru (7) na předním panelu. Hradlovací sondu sestavíme zašroubováním čtyř káblíků s konektory (37) do tělesa sondy (35). Zachytávací svorky (39) je možno připojit na opačné konce káblíků prostým zasunutím konektorů (38).

Přístroj se připojí k napájecí síti síťovou tlívodičovou propojovací šňůrou, dodávanou s přístrojem. Stisknutím tlačítka (1) se uvede přístroj do chodu. Rozsvít se kontrolka (2) a displej (3). Po stisknutí tlačítka (33) RESET na datové sondě se musí zobrazit příznačnokód 0000 a kontrolky (4) a (5) nesmí svítit.

#### 6.3.2. Samokontrola

BM 578 má funkci, která umožnuje prověřit stav přístroje, tj. schopnost bezchybného provozu. Všechny tři vstupy hradlovací sondy (35) připojíme zpět k přístroji zasunutím konektorků (38) do odpovídajících zářítek (13, 14, 15) na předním panelu. Rovněž datovou sondu (32) zasuneme hrotem do zářítky (6).

Stiskneme tlačítko (12) — TEST. (Tlačítko (11) — MAN není stisknuto). Přístroj nyní opakuje v asi sekundových intervalech vždy čtyři příznačny, odlišné při různých polohách tlačítek (8, 9, 10). Souhlasí-li zobrazené příznačny s předepsanými (viz tab. 1), je výsledek samokontroly úspěšný a BM 578 je v pořádku.

### 6.3. Podготовка прибора к измерению

#### 6.3.1. Сборка и включение прибора

К прибору подключить щупы путем задвижения разъемов (31) в разъем (7) на передней панели. Ключевой щуп собрать путем привинчивания четырех кабелей с разъемами (37) к корпусу щупа (35). Зажимы (39) можно подключить к другим концам кабелей путем простого задвижения разъемов (38).

Прибор подключается к питательной сети с помощью сетевого трехпроводного шнура, поставляемого вместе с прибором. При нажатии на кнопку (1) прибор включается в ход. Зажигается контрольная лампа (2) и дисплей (3). После нажатия на кнопку (33) СБРОС на щупе приема данных должна изобразиться сигнатура 0000 и контрольные лампы (4) и (5) не горят.

#### 6.3.2. Автомониторинг

В приборе BM 578 предусмотрен режим, который должен проверить состояние прибора, т. е. его способность безошибочной работы. Все три входа ключевого щупа (35) подключить обратно к прибору путем задвижения разъемов (38) в соответствующие гнезда (13, 14, 15) на передней панели. Также щуп приема данных (32) вставить в гнездо (6).

Нажать на кнопку (12) ИСПЫТ. (Кнопка (11) — РУЧН. не нажата). В этом случае в приблизительно секундные интервалы прибор повторяет всегда четыре сигнатуры, которые являются различными в различных положениях кнопок (8, 9, 10). Если изображаемые сигнатуры соответствуют предписанным (см. таб. 1), то результат автомониторинга является успешным и BM 578 исправен.

### 6.3. Preparations for carrying out measurements

#### 6.3.1. Assembling and switching on the instrument

The signature analyzer has to be prepared for use as follows: The probes have to be connected by inserting the connector (31) into the receptacle (7) on the front panel. The gating probe has to be assembled by screwing the four cables with screw connectors (37) into the probe body (35). Then, the test clips (39) can be attached to the free ends of the cables simply by applying the sleeves (38).

The signature analyzer has to be connected to the mains for powering by means of the supplied 3-core mains cord.

The instrument is set in operation by depressing the push-button (1); pilot lamp (2) and display (3) light up. After depressing the push-button RESET (33) on the data probe, the signature 0000 must be displayed and the LEDs (4) and (5) must remain dark.

#### 6.3.2. Self-testing

The BM 578 signature analyzer enables verifying of its own state and thus its capability of faultless operation.

All the three inputs of the gating probe (35) have to be connected back to the instrument by inserting the sleeves (38) into the pertaining sockets (13, 14, 15) on the front panel. Also the data probe (32) has to be connected by attaching it to the socket (6).

The push-button TEST (12) has to be depressed; the push-button MAN (11) must remain released. The instrument repeats at a rate of approximately one second always four signatures which are different at various settings of the push-buttons (8, 9, 10). If these signatures tally with those specified in Table 1, then the result of the self-testing is positive and the BM 578 signature analyzer is in order.

## Samokontrola

## Автоконтроль

## Self-testing

Nastavení tlačítek Установка кнопок Settings of the push-buttons			Příznak Сигнатур Signature	Hradlo Ключ Gate	Nestabilní příznak блікне Неустойчивая сигнатура магнет Unstable signature flickers	Indikace úrovně na sondě Индикация уровня на шупе Level indication on the probe
START CSTART START	STOP СТОП STOP	CLOCK ТАКТ CLOCK				
			8888	bliká многа flickers	←	обе оба both
			2P61		←	обе оба both
			3951		←	рудá красный red
			nesvítí не горят unlit		←	обе оба both
			8888	bliká многа flickers	←	обе оба both
			ACA2		←	обе оба both
			UP73		←	рудá красный red
			nesvítí не горят unlit		←	обе оба both

Tab. 1  
Таблица 1  
Table 1.

## Poznámka:

Příznaky „nesvítí“ a 8888 realizují pouze test displeje, tj. správné funkce zobrazovacích segmentovek. Zbylé dva příznaky oznamují výsledek testu celého přístroje.

Držíme-li tlačítko RESET na datové sondě stisknuté, zobrazují se postupně příznaky 8888, 0000, „nesvítí“. Indikace hradla a nestabilního příznaku přitom nepracuje.

## Примечание:

Сигнатуры «не горят» и 8888 предназначены только для испытания дисплея, т. е. правильной работы цифровых индикаторов. Оставшиеся две сигнатуры сигнализируют результат испытания всего прибора.

Если держать кнопку СБРОС на шупе приема данных нажатой, то постепенно изображаются сигнатуры 8888, 0000 и «не горят». Индикация ключа и нестабильной сигнатуры при этом не работает.

## Note:

The signatures UNLIT and 8888 realize only the test of the display, i. e. the correct functioning of the 7-segment indicators. The remaining two signatures indicate the result of testing the whole instrument.

When the push-button RESET on the data probe is kept depressed, then the signatures 8888, 0000 and UNLIT are displayed successively. Indications of gate operation and of unstable signatures are not produced.

### 6.3.3. Kompatibilita BM 578 a testovaných přístrojů

Testované přístroje musí splňovat určité podmínky pro úspěšné použití příznakové analýzy (dále jen PA).

- Logické úrovně testovaných uzlů musí být typu TTL.
- Testovaný přístroj musí být vybuzen „stimulován“ souborem signálů, nazývaných „stimulus“, podnět. Podnět je soubor signálů, který způsobí, že uzel (uzly) testovaného přístroje produkuje charakteristický datový řetězec, detekovaný v BM 578 jako příznak tohoto uzel. Při PA je podnět generován zpravidla samotným testovaným přístrojem. Je možné a výhodné navrhnut je tak, že jednotlivé obvodové části jsou testovány nezávisle na ostatních, a to při zachování plné funkční rychlosti.

V mikroprocesorových systémech není podnět nic jiného, než program (obvykle v EPROM), který vyzkouší celý systém. Vezmeme-li v úvahu výhodné schopnosti mikroprocesoru manipulovat s daty, nebude generování vhodných podnětů pro vyzkoušení jednotlivých částí testovaného systému příliš obtížné.

- Musí být přítomen synchronizační signál (CLOCK) pro BM 578 a ohraničen měřicí interval signálů START a STOP.

Rovněž tyto signály jsou zpravidla generovány samotným testovaným přístrojem, navrženým pro testování s pomocí PA.

## 6.4. Pokyny pro měření

### 6.4.1.

Prostudujte pozorně dokumentaci testovaného přístroje. Správné (očekávané) příznaky musí být

### 6.3.3. Sdílenost BM 578 a testovaných přístrojů

Испытываемые приборы должны удовлетворять определенным условиям для успешного использования сигнатурного анализа (далее только СА).

- Логические уровни испытываемых узлов должны быть типа TTL.
- Испытываемый прибор должен быть возбужден, «стимулирован» набором сигналов, называемых «стимул». Стимул — это совокупность сигналов, способствующих тому, что узел (узлы), испытываемого прибора вырабатывают характеристическую цепь данных, детектируемую в BM 578 в качестве сигнатуры этого узла. При СА стимул генерируется обычно самим испытываемым прибором. Имеется возможность выбирать стимул таким, чтобы отдельные схемные части испытывались независимо от остальных при сохранении полной рабочей скорости.  
В микропроцессорных системах стимул — это другое, а не программа (обычно в ЭПЗУ), которая проверяет всю систему. Если принять во внимание благоприятные свойства микропроцессора работать с данными, тоработка подходящих стимулов для испытания отдельных частей испытываемой системы не будет слишком затруднительной.
- Должно быть обеспечено наличие синхронизующего сигнала (ТАКТ) для BM 578 и измерительный интервал должен быть ограничен сигналами СТАРТ и СТОП.  
Также эти сигналы обычно генерируются испытываемым прибором, проектируемым для испытания с помощью СА.

## 6.4. Указания по измерениям

### 6.4.1.

Внимательно изучить документацию испытываемого прибора. Правильные (ожидаемые) сигна-

### 6.3.3. Compatibility of the BM 578 signature analyzer and the tested instruments

The instruments which have to be tested must fulfill certain conditions if the method of signature analysis (SA) has to be employed successfully. These prerequisites are as follows:

- The logic levels of the tested nodes must be of the TTL type.
- The tested instrument must be driven — stimulated — by a set of signals referred to as "stimulus". A stimulus is a set of signals which causes the node of the instrument under test to produce a characteristic data string detected by the BM 578 signature analyzer as the signature of the node concerned. In SA, the stimulus is generated, as a rule, by the tested instrument itself; it is possible and advantageous to design instruments so that each individual part of their circuitry can be tested independently of the others, whilst maintaining full functional speed.
- In microprocessor systems, the stimulus is nothing other than a program (usually EPROM) which tests the whole system. Considering the advantageous capability of microprocessors of handling data, the generating of suitable stimuli for proving the individual parts of the whole system will not be too difficult.
- A synchronizing signal (CLOCK) must be available for the BM 578 instrument and the measurement interval must be limited by START and STOP signals.  
Also these signals are generated, as a rule, by the instrument under test itself which has been designed to be testable by the SA method.

## 6.4. Instructions for carrying out measurements

### 6.4.1.

First of all, the documentation of the instrument to be tested has to be studied thoroughly. The

Předem známy, aby bylo možno BM 578 výber po užití. Rovněž tak měřicí body se signály START, STOP a CLOCK, aktivní hrany této signálů a postup [vývojový diagram] testu musí být specifikovány. Potřebné údaje bývají uvedeny v servisní části dokumentace, ve schématice apod. dodaných výrobcem zkoušeného přístroje.

Pokud testovaný přístroj není konstruován pro servis s PA, je nutné nejdříve podle kapitoly 13 navrhnout a realizovat potřebné doplnky či úpravy hardware i software testovaného přístroje, stanovit strategii (postup) testování a taktéž s pomocí správné fungujícího přístroje téhož typu vytvořit empiricky tabulky správných příznaků.

#### 6.4.2.

Připojte hradlovací sondu jejimi čtyřmi vstupy START, STOP, CLOCK,  $\perp$  do příslušných specifikovaných měřicích bodů testovaného přístroje [podle servisní dokumentace].

#### 6.4.3.

Nastavte tlačítka (8, 9, 10) na předním panelu BM 578 podle předpisu v servisní dokumentaci testovaného přístroje. Tím se určí aktívni hrany signálů START, STOP a CLOCK.

#### Poznámka:

Tlačítka výběru aktívni hrany signálů umožňují volnost ve výběru START a STOP signálů. Může být např. použit jeden dlouhý impulz, kde jeho náběžná hrana bude START a seskupná hrana bude

také měřitelná. Délka impulzu je určena měřicími hodnotami. Po určení aktívni hrany signálů je možno nastavit tlačítka (8, 9, 10) na předním panelu BM 578 podle předpisu v servisní dokumentaci testovaného přístroje. Tím se určí aktívni hrany signálů START, STOP a CLOCK.

Ještě jednou upozornit, že pokud testovaný přístroj je konstruován pro servis s PA, je nutné nejdříve podle kapitoly 13 navrhnout a realizovat potřebné doplnky či úpravy hardware i software testovaného přístroje, stanovit strategii (postup) testování a taktéž s pomocí správné fungujícího přístroje téhož typu vytvořit empiricky tabulky správných příznaků.

#### 6.4.2.

Připojte klíčovou špun tak, aby jeho čtyře vstupy START, STOP, CLOCK a  $\perp$  byly podpořeny zemí. Připojte klíčovou špun k odpovídajícím měřicím bodům testovaného přístroje (v dle dokumentace).

#### 6.4.3.

Nastavte tlačítka (8, 9, 10) na předním panelu BM 578 podle předpisu v servisní dokumentaci testovaného přístroje. Tím se určí aktívni hrany signálů START, STOP a CLOCK.

#### Přiměřené:

Tlačítka výběru aktívni hrany signálů umožňují volnost ve výběru START a STOP signálů. Může být např. použit jeden dlouhý impulz, kde jeho náběžná hrana bude START a seskupná hrana bude

[expected] correct signatures must be known in advance, if the BM 578 signature analyzer has to be applied at all. Also the measuring points with the signals START, STOP and CLOCK, the active (triggering) edges of these signals and the procedure (flow diagram) of the test must be specified. Usually, the required data are given in the service part of the documentation, in diagrams and/or the like, supplied by the makers together with the instrument which has to be tested.

If the instrument for testing is not designed for servicing with the SA method, then it is necessary, on the basis of Section 13. of this Manual, to design and prepare the essential additions or modifications of the hardware and software of the instrument, to determine the strategy (procedure) of the test and also to prepare empiric Tables of the correct signatures with the aid of a correctly functioning instrument of the same type.

#### 6.4.2.

The gating probe with its four inlets START, STOP, CLOCK and  $\perp$  (EARTH) has to be connected to the specified appropriate measuring points of the instrument under test (in accordance with the pertaining service documentation).

#### 6.4.3.

The push-buttons (8, 9, 10) on the front panel of the BM 578 signature analyzer have to be set according to the pertaining service documentation. Thus, the active edges of the signals START, STOP and CLOCK are determined.

#### Note:

The push-buttons for selecting the active edges of the signals enable free selection of the START and STOP signals. For example, it is possible to employ a long pulse and use its rising edge as START and its falling edge as STOP. The push-buttons MAN

STOP. Tlačítka (11) MAN a (12) TEST jsou zpravidla v nestlačené poloze.

#### 6.4.4.

Obvykle je nutné přepnout testovaný přístroj do tzv. servisní funkce — viz servisní dokumentace.

Při realizaci servisní funkce pro různé typy obvodů je možno využít z informací v kap. 13. Obvykle se jedná o spuštění či modelování podnéru [stimulu] a o rozpojení programových i obvodových smyček zpětné vazby. (Zpětná vazba obecně znesnadňuje nalezení vadného obvodu.)

#### 6.4.5.

Postupujte datovou sondou po jednotlivých měřicích bodech podle pokynů v servisní dokumentaci nebo podle předem stanoveného postupu (několik obecně použitelných metod je uvedeno v kap. 13). Takto získané příznaky porovnávejte se správnými, danými v servisní dokumentaci.

Prvý a někdy i druhý příznak zobrazený po dotyku sondy může, vzhledem k použití nízkého hodinového kmitočtu nebo mnohonásobného impulsu START, být někdy chybný. Je třeba výčkat zachycení celého měřicího intervalu (ustálení příznaku).

Při práci v obvodech s úzkými a strmými impulsy se doporučuje přizemnit datovou sondu zemnicím káblikem pokud možno co nejbližší k měřicímu bodu.

#### 6.4.6.

Po nalezení chybného příznaku se řidte pokyny v servisní dokumentaci testovaného přístroje. Neexistují-li podrobné pokyny, je třeba postupovat

STOP. Knoflík (11) RУЧН. и (12) ИСПЫТ. обычно находятся в ненажатых положениях.

#### 6.4.4.

Обычно необходимо переключить испытываемый прибор в, так называемый режим обслуживания прибора в, так называемый режим обслуживания винно.

При отсутствии режима технического обслуживания различных типов схем можно исходить из сказанного в гл. 13. Как правило, речь идет о запуске или моделировании стимула и о размыкании программных и схемных петель обратной связи. (Обратная связь в общем затрудняет нахождение негодной микросхемы.)

#### 6.4.5.

С помощью щупа данных необходимо поступать по отдельным измерительным точкам по инструкции, данной в документации по техническому обслуживанию или по заранее определенным правилам (несколько общих методов указаны в гл. 13). Полученные таким образом сигнатуры сравниваются с правильными сигнатурами, указанными в технической документации. Первая, а иногда, и вторая сигнтура, изображенная после прикосновения щупа, в особенности, при использовании низкой тактовой частоты или многократного импульса СТАРТ может иногда оказаться ошибочной. Следует выждать прохождения всего измерительного интервала (устранение сигнатуры).

При работе со схемами с короткими импульсами, обладающими большой крутизной фронтов, рекомендуется дополнительно заземлить щуп данных с помощью заземляющего кабеля, в точке, находящейся как можно ближе к измерительной точке.

#### 6.4.6.

После нахождения ошибочной сигнатуры следует руководствоваться инструкцией, приведенной в документации по техническому обслуживанию

(11) and TEST (12) as a rule remain in the released position.

#### 6.4.4.

Usually, it is necessary to switch over the tested instrument into the so-called service mode [see the service documentation]. The information given in Section 13. serves as a guide for setting up the service functions for various types of circuits. Usually, the stimulus has to be initiated or modelled and the loops of the program as well as of the circuitry have to be interrupted. (In general, feedback renders the tracing of the defective circuit difficult.)

#### 6.4.5.

The data probe has to be applied successively to the individual measuring points by following the instructions in the service documentation, or the flow diagram (procedure) prepared in advance (examples of generally applied methods are given in Section 13.). The signatures thus obtained have to be compared with the correct ones listed in the service documentation.

The first signature and sometimes even the second one displayed, after touching the test point with the probe, can be sometimes erroneous, especially when a low clock frequency or a multiple START pulse is employed. It is essential to intercept the whole measurement interval [settling of the signature].

When circuits with narrow and steep pulses are dealt with, it is recommended to earth the data probe as close as possible to the measuring point by means of the supplied earthing cable.

#### 6.4.6.

After finding an incorrect signature, the instructions given in the service documentation of the tested instrument must be followed. If detailed

podle schématu proti směru toku dat až po nalezení posledního správného příznaku. Obecně je potom vadný obvod se správným vstupem a chybňným výstupem.

#### 6.4.7.

Datovou sondu a její indikaci je možno použít i nezávisle na hradlovacích signálech jako běžnou logickou sondu — indikuje stavy H, L, špatnou úrovně a prodlužuje krátké impulsy na asi 50 ms.

#### 6.4.8.

Nestabilní příznak, tj., že-li některý příznak z řady měření odlišný, vždy signalizuje chybu v časování nebo přílišné zpoždění některého signálu, případně vadný kontakt. Jdou-li však měření příliš rychle po sobě (což je v PA takřka pravidlem), není nestabilní příznak na displeji okem postřehnutelný.

Kontrolka (č. 4) během nepřetržitého měření jednoho uzlu tedy vždy signalizuje některou z výše uvedených závad.

#### Poznámka:

Obvod zjišťování odlišných příznaků je v činnosti stále, kontrolka (4) tedy pochopitelně bliká i při změnách příznaku přechodem na další měřicí bod, jinou funkci testovaného přístroje nebo při vypnutí/uvolnání tlačítka RESET.

#### 6.5. Jednorázová měření

PNI práci v nepřistupných obvodech, kde není možné současně držet sondu na měřicím bodu a ode-

ispisťovacího příboru. Pokud jsou k dispozici pouze instrukce, je nutné postupovat podle schématu proti směru toku dat až do nalezení posledního správného příznaku. Obecně je potom vadný obvod se správným vstupem a chybňným výstupem.

#### 6.4.7.

Štup datového signálu a jeho indikaci lze použít i nezávisle na výstupech hradlovacích signálů jako obecnou logickou sondu — indikuje stav H, L, špatnou úrovně a prodlužuje krátké impulsy na délku asi 50 ms.

#### 6.4.8.

Neustojivá signatura, t. j. význam, když jedna z signatur řady měření se liší od ostatních, vždy signalizuje chybu v časování nebo přílišné zpoždění některého signálu, nebo vadný kontakt. Pokud měření probíhají příliš rychle (což je v PA takřka pravidlem), neexistuje možnost detekce neustojivé signatury na displeji.

Sledovatelně, kontrolní lampa (č. 4) v procesu nepřetržitého měření jednoho uzlu vždy signalizuje jednu z uvedených chyb.

#### Práce:

Schéma detektace odlišných signatur funguje nepřetržitě. Sledovatelně, kontrolní lampa (4) bliká i při změnách signatury, když se měření přesouvá na další měřicí bod, jinou funkci testovaného přístroje nebo při vypnutí/uvolnění tlačítka RESET.

#### 6.5. One-shot measurements

PNI práci s obtížně dostupnými schématy, když je nelze současně držet sondu na měřicím bodu a odesílat signály.

Instructions are not available, then it is necessary to proceed according to the diagram of the circuitry in the direction opposite to the data flow until the last correct signature is found. Generally, the defective circuit is the one with correct input but faulty output.

#### 6.4.7.

The data probe and its indication can be employed also independently of the gating signals, as an ordinary logic probe, as it indicates the states H and L as well as incorrect levels, and extends short pulses to a duration of approximately 50 ms.

#### 6.4.8.

An unstable signature, i. e. when one of the signatures is different in a series of measurements, always signals erroneous timing or excessive delay of one of the signals, or just an intermittent contact. However, if the measurements follow each other too quickly (which in SA is almost a rule), an unstable signature on the display is hardly perceptible with the unaided eye. Thus, during continuous measurement of a node, the LED (4) always signals the presence of any of these defects.

#### Note:

The circuit for detecting different signatures operates all the time; consequently, the pertaining LED (4) flickers also when the signature alters due to transition to another measuring point, to another function of the tested instrument, or when the zeroing push-button RESET is employed.

#### 6.5. One-shot measurements

When circuits difficult of access are being dealt with, when it is impossible to hold the probe on

čítat příznak z displeje, je vhodné použít funkci MAN:

Stiskněte tlačítko MAN [11], hrot datové sondy přiložte k měřicímu bodu a potom teprve stiskněte a uvolněte tlačítko [33] RESET na datové sondě. BM 578 vyhledá první platný (tj. celý) měřicí interval, sejmě příznak z měřicího bodu a zobrazí jej na displeji, kde zůstane až do dalšího stisku tlačítka [33] RESET bez ohledu na vstupní signály.

Tuto funkci je možné využít i pro snímání jednorázových dějů, např. inicializačních programů po zapnutí testovaného přístroje nebo procedury přerušení.

Vždy je nutné nejdříve stisknout a uvolnit tlačítko RESET na datové sondě a potom spustit sledovaný jednorázový děj.

#### Fořnámka:

Jednorázová měření nelze provádět při monočárovém impuluze START. Je nutné zajistit pouze jednu originální hranu START. Jinak bude první příznak chybný.

Tlačítko RESET může (obzvlášt při vysokém hodinovém kmitočtu) způsobit blikání kontroly [5] GATE již v okamžiku stisknutí. Tento jev vznikl činností mechanického kontaktu tlačítka a nemá vliv na činnost přístroje — vzápětí totiž stejně dojde k vynulování. Při nulování přesným logickým signálem přes konektor na zadním panelu k tomuto jevu nedoje.

#### 6.6. Výstupní konektor

Třicetipólová vidlice na zadním panelu BM 578 umožňuje přenos příznaku do jiných přístrojů

řítelné tétočce a odčítávat signaturu po displeji, celosobrazivo používat režim práce RUCHI:

nажáť na knoflík RUCHI, (11), kontakt šupu dáných podkládá se k měřicí tétočce a počež toho sledujte nájem a vypustit knoflík (33) SBRPOS na šupu dáných.

BM 578 odměřuje první platný (t. e. celý) měřicí interval, sňmává signaturu z měřicí tétočky a zobrazuje ji na displeji, kde ona zůstane včetně počež toho nájem na knoflíku (33) SBRPOS nezávisle na vstupních signálech.

Estež režim může být používán i pro snímání jednorázových jevů, například po zapnutí testovaného přístroje, nebo programu, který je po zapnutí přerušen.

Vždy je nutné nejdříve stisknout a uvolnit tlačítko RESET na datové sondě a potom spustit sledovaný jednorázový děj.

#### Právě:

Jednorázové měření nelze provádět při mnohonásobném impuluze START. Je nutné zajistit pouze jednu originální hranu START. Jinak bude první příznak chybný.

Knoflík SBRPOS může (vlastně, při velké frekvenci taktovky) způsobit migání kontrolní lamy (5) KĽUCHU již v okamžiku stisknutí. Toto jev je způsoben tím, že kontakt tlačítka je uzavřen již v okamžiku nájemu. Toto stav je výsledkem uzavření mechanického kontaktu knoflíku a ne vlivuje na práci přístroje, takže ihned počítá s nulováním. Při srovnání pomocí logického signálu přes konektor na zadním panelu k tomuto jevu nedoje.

#### 6.6. Výstupní konektor

Třicetipólová vidlice na zadním panelu BM 578 umožňuje přenos příznaku do jiných přístrojů

the measuring point and at the same time to read the displayed signature, it is advantageous to use the function MAN, as follows:

The push-button MAN [11] has to be depressed and the tip of the data probe applied to the measuring point; then, the push-button RESET [33] on the data probe has to be depressed transitorily.

The BM 578 signature analyzer scans the first valid measurement interval (i.e. the whole window), samples the signature of the measuring point and presents it on the display where it remains until the push-button RESET [33] is depressed anew, regardless to the input signals.

This function can be utilized also for sampling one-shot phenomena, such as initialising programs after switching on the tested instrument, interrupting producers, etc. The push-button RESET on the data probe must always be depressed and released before the one-shot phenomenon to be followed can be triggered.

#### Note:

One-shot measurements cannot be carried out when the pulse START is multiple. Only one original START edge must be ensured, otherwise the first signature will be erroneous.

The push-button RESET can cause flickering of the GATE [5] of the GATE (especially when the clock frequency is high), already at the instant of its depression. This phenomenon is caused by the action of the mechanical push-button contacts and has no influence on the operation of the BM 578 instrument — anyway, at the next instant, the instrument becomes zeroed. When an exact logic signal is used for zeroing via the connector on the back panel of the analyzer, the mentioned phenomenon does not take place.

#### 6.6. Output connector

The 30-pole connector on the back panel of the BM 578 signature analyzer enables the passing of

k dalšímu zpracování, např. při automatizaci testovacího procesu. Sestnáct špiček zabírá příznak v hexadecimálním tvaru ( $4 \times 4$  bity). Výstupní signál BUSY oznamuje zaneprázdnění BM 578, tj., že snímání příznaku dosud neskončilo [data nejsou platné]. Je třeba vždy vyčkat na celý impuls BUSY (signál BUSY je v úrovni L i před začátkem měřicího intervalu).

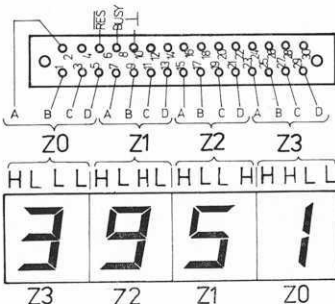
Vstupní špička RES je zapojena paralelně ke stejněmennému tláčítku. Příslušné funkce se vybudi uzemněním špičky přes hradlo TTL s otevřeným kolektorem nebo přes tranzistor. Při dálkovém provozu BM 578 je vhodné pracovat stále ve funkci

в другие приборы для дальнейшей обработки, например, при автоматизации процесса испытания. Шестнадцать штырей предназначено для сигнатуры в шестнадцатеричной форме ( $4 \times 4$  бита). Выходной сигнал занят и означает занятие BM 578, т. е. процесс снятия сигнатуры еще не окончен (данные не являются справедливыми). Необходимо всегда выждать целого импульса ЗАНЯТ (сигнал ЗАНЯТ имеет уровень L и перед началом измерительного интервала).

the signatures to other instruments for further processing, e. g. when the testing process is automated. Sixteen tags of the connector are occupied by the signature in hexadecimal format ( $4 \times 4$  bits). The output signal BUSY announces that the BM 578 instrument is occupied, i. e. that the sampling of a signature has not been terminated yet (the data are not valid). It is necessary always to wait for the **whole** BUSY pulse (the signal BUSY is at L level even before the beginning of the measurement interval).

The input tag RES is connected in parallel to the homonymous push-button. The pertaining function is evoked by earthing of the tag via a TTL gate with open collector, or via a transistor. In remote operation of the BM 578 instrument, it is suitable to work in the mode MAN, i. e. with the push-

Obr. 6  
Pic. 6  
Fig. 6



Zapojení výstupního konektoru a pořadí znaků na displeji

Схема выходного разъема и последовательность знаков на дисплее

zapojení konektoru K1  
схема разъема K1  
Wiring of the connector K1

úrovně (zkontrolovat log. sondou)  
уровни (контролировать логическим шупом)  
Levels (to be checked with a logic probe)

pořadí znaků na displeji  
последовательность знаков на дисплее  
Sequence of the characters on the display

Wiring of the output connector and sequence of the characters on the display

MAN — tj. tlačítko MAN je stisknuto. Impulsem RES se vždy vymaže předchozí příznak a umožní sejmout dalšího.

Aktivní hrany signálů START, STOP a CLOCK nelze dálkově ovládat, je třeba je nastavit na předním panelu BM 578.

Pro výstupní kabel použijte konektor z příslušenství přístroje. Zapojení špiček je na obr. 6.

me RUCHI, t. e. knoflík RUCHI, nажата. С помощью импульса СБРОС всегда сбрасывается предшествующая сигнатура и дается возможность снятия последующей сигнатуры. Дистанционное управление рабочими фронтами сигналов START, STOP и TAKT является невозможным. Эти сигналы необходимо установить на передней панели BM 578. Для выходного кабеля используется разъем, входящий в состав принадлежностей прибора. Назначение штифтов дано на рис. 6.

-button MAN depressed. The pulse RES always cancels the previous signature and enables the sampling of the next one.

The active edges of the signals START, STOP and CLOCK cannot be controlled remotely; they must be set locally by means of the panel controls of the BM 578 signature analyzer.

The 30-pole plug, which is one of the supplied accessories, has to be used for the output cable. The wiring of the tags is given in Fig. 6.

## 7. MECHANICKÁ KONSTRUKCE PŘÍSTROJE

Skříň přístroje je složena ze dvou plastových čel (předního a zadního), spojených čtyřmi sloupky. Plechový kryt je vcelku svinatelný směrem dozadu po odepnutí zadního čela (je nutno výšroubovat čtyři šrouby v rozích čela) a odšroubování čtyř nožek. Většina elektronických obvodů je umístěna na hlavní desce plošných spojů, příslušně připojeno k nosným dílům skříně. Deska je přístupná z obou stran a není třeba ji při opravách vyjmout. Tlačítkové přepínače jsou zapojeny přímo do této desky.

Oddělena je pouze destička plošných spojů displeje, připevněná dvěma šrouby přímo do předního čela a propojená s hlavní deskou ohebným plochým kabelem.

Obvody zdroje napájecích napětí tvoří mechanickou jednotku se sítovým transformátorem, umístěnou na zadním panelu.

Obě sondy jsou dvoudílné výlisky s vloženou deskou plošných spojů. Přístup dovnitř je možný po vyjmutí spojovacích šroubů a oddělení obou částí od sebe.

## 7. МЕХАНИЧЕСКАЯ КОНСТРУКЦИЯ ПРИБОРА

Шкаф прибора состоит из двух пластмассовых торцов (переднего и заднего), соединенных четырьмя стержнями. Корпус из листового железа в целом снимается по направлению назад после снятия заднего торца (необходимо вывинтить четыре винта по углам торца) и отвинтить четыре ножки. Большинство электронных схем расположено на основной плате печатного монтажа, привинченной непосредственно к основным частям ящика. Плата доступна с обеих сторон и нет необходимости ее вынимания при ремонте. Кнопочные переключатели припаяны непосредственно к этой плате.

Отдельно установлена только печатная плата дисплея, крепящаяся двумя винтами непосредственно на передней панели, которая соединена гибким плоским кабелем с основной платой. Цепи источника напряжений питания образуют одно механическое целое вместе с сетевым трансформатором, установленным на задней панели.

Оба щупа состоят из прессованного корпуса, состоящего из двух частей и внутренней платы печатного монтажа. Доступ в щупу обеспечивается после устранения соединительных винтов и отделения друг от друга обеих частей.

## 7. DESCRIPTION OF THE MECHANICAL DESIGN

The cabinet of the BM 578 signature analyzer consists of two faces (front and back) made from plastic material and mutually connected by four spacer columns. The sheet-metal cover can be taken off as a whole by sliding it towards the back after removing the back face (the four screws in the corners of the face must be unscrewed) and unscrewing the four feet.

Most of the electronic circuits are on the main printed circuit board which is screwed directly to the cabinet. This board is accessible from both sides and does not need to be taken out if a repair should become necessary. The push-button switches are soldered directly to this board.

Only the circuits of the display are separate; they are on a small printed circuit board which is attached to the front face and is connected to the main board by means of a flexible flat cable.

The circuits of the powering voltages form a mechanical unit comprising the mains transformer and attached to the back panel.

Each of the two probes is formed by two moulded parts, between which is inserted a printed circuit board which becomes accessible after removing the screws and separating the two parts.

## 8. PODROBNÝ POPIS ZAPOJENÍ

### 8.1. Datová sonda

Signál z hrotu prochází obvody ochrany R1, C1, E7, E8 a jde na dva úrovnové komparátory, tvořené diferenčními zesilovači E1, E2 a E4, E5. Rozhodovací úroveň, typicky 0,6 V a 2,2 V jsou určeny dělícím R4, R5, R6. Použitím dvou komparátorů je o datovém signálu získána trojúrovňová informace, umožňující rozlišit špatnou logickou úroveň (mezi stavy L a H), nebo také přechod sledovaného uzlu do tzv. třetího stavu.

Signály z obou komparátorů jsou dále převedeny na úroveň TTL dvěma tranzistory E3 a E6, zapojenými se společnou bází. Tím se současně zrychlí činnost diferenčních stupňů (kapacita kolektortového přechodu se neuplatní).

Hradlo IO 1 jsou využita jednak pro získání zpoždění shodného s hradlovací sondou, jednak jako budíček vedení.

Dvě indikační svítivky v sondě jsou buzeny kabelem z obvodu v přístroji. Všechny linky v kabelu sondy jsou ze zkrouceného dvoudrátu (twist), z nichž vždy jeden je na obou stranách uzemněn. Tím jsou vytvořena vedení s charakteristikou impedanci asi  $80 \Omega$  a s poměrně malou vzájemnou impedancí.

### 8.2. Hradlovací sonda

Tato sonda obsahuje tři zcela shodné kanály, sestávající z jednoúrovňového komparátoru E1, E2, převodníku na TTL úroveň E7 a korekčního klopného obvodu IO 1 (uveden pouze kanál CLOCK). Funkce vstupní části je shodná se vstupem datové sondy. Rozhodovací úroveň je však pouze jedna (typicky 1,5 V, získaná ve sledovači IO 4). Klopný obvod

## 8. ПОДРОБНОЕ ОПИСАНИЕ СХЕМЫ

### 8.1. Щуп приема данных

Сигнал со щупа проходит через цепи защиты R1, C1, E7, E8 и поступает на два компаратора уровня, собранные на дифференциальных усилителях E1, E2 и E4, E5. Пороговые уровни 0,6 В и 2,2 В установлены делителем R4, R5, R6. При использовании двух компараторов получается трехуровневая информация о сигнале данных, которая дает возможность определять неправильный логический уровень (между состояниями L и H) или переход исследуемого узла в, так называемое третье состояние.

Сигналы обоих компараторов далее обрабатываются и доводятся до уровня TTL с помощью двух транзисторов E3 и E6, включенных по схеме с общей базой. В результате этого одновременно ускоряется работа дифференциальных каскадов (не оказывается емкость перехода коллектора).

Ключи IO 1 используются для получения задержек, соответствующих задержке вентильного щупа, а также в качестве возбудителя линии.

Обе лампы индикации в щупе питаются через кабель от схем, установленных в приборе. Все линии в кабеле щупа образованы скрученными двойным проводом (твист), один из проводников которого всегда заземлен с обоих концов. В результате этого образованы линии с волновым сопротивлением прибл. 80 Ом и с относительно малым взаимным просачиванием.

### 8.2. Ключевой щуп

Этот щуп содержит три одинаковых канала, состоящих из одноуровневого компаратора E1, E2, преобразователя E7 сигнала в логические уровни и корректирующего триггера IO 1 (указан только канал TAKT). Работа входной части аналогична работе входной схемы щупа приема данных. Пороговой уровень только один (обычно 1,5 В, определяется повторителем IO 4). Триггер

## 8. DETAILED DESCRIPTION OF THE CIRCUITRY

### 8.1. Data probe

The signal passes from the tip of the probe (through protective circuits formed by R1, C1, E7, E8) to two level comparators composed of differential amplifiers E1, E2 and E4, E5. The decisive levels, typically 0,6 V and 2,2 V, are determined by a divider formed by R4, R5, R6. By the use of the two comparators, three-level information about the data signal is obtained which facilitates the ascertainment of a false logic level (between the states L and H), or also the transition of the investigated node into the so-called third state.

The signals supplied by the two comparators are transformed to the TTL level by means of two transistors (E3 and E6) in common base connection. Thus, simultaneously the operation of the differential stages is accelerated (the capacitance of the collector junction has no influence).

The gates of the integrated circuit IO 1 are used for producing a delay identical with that of the gating probe, as well as line drivers.

Two LEDs in the probe are driven by circuits of the instrument via a cable. All the lines in the cable are twisted pair-leads, one of which is earthed at both ends. Thus, lines of approximately  $80 \Omega$  characteristic impedance and relatively low mutual impedances are formed.

### 8.2. Gating probe

This probe contains three absolutely identical channels, each consisting of a single-level comparator (E1, E2), a converter to TTL level (E7) and an integrated correction circuit (IO 1). The function of the input part is the same as that of the input of the data probe, but only one decisive level is used (typical 1,5 V derived from the follower in IO 4). The flip-flop (FF) circuit at the end of the

na výstupu sondy zajíšťuje buzení vedení a slouží i k současněmu získání signálu opačné polarity. Kromě toho je takto zajistěna jistá hystereze a tím i strmě hrany signálu (potřebné hlavně u signálu CLOCK).

Všechny linky v kabelu jsou ze zkrouceného dvoudrátu (twisted), z nichž vždy jeden je na obou stranách uzemněn. Tím jsou vytvořena vedení s charakteristikou impedanci asi  $80 \Omega$  a s poměrně malou vzájemnou impedancí.

### 8.3. Vstupní část

Osm linkových přijímačů je vytvořeno přizpůsobivými odpory R44–R59, diodami na omezení záporných překmitů E14–E22 a invertory IO 32, IO 33. V obou přijímačích kanálu CLOCK je po jednom invertoru typu S, v obou přijímačích dat po dvou invertorech typu S a ve čtyřech přijímačích kanálů START a STOP po jednom klasickém invertoru. Tím je dosaženo vhodného rozložení časového zpoždění kanálů pro zaručení potřebného času doběhu menšího než nula v kanálech DATA, START a STOP.

Monostabilní klopné obvody pro prodloužení impulsní v kanálech DATA za účelem indikace jsou tvoreny IO 29, IO 30, IO 31. Prodloužení je dáné RC členem R61, C7, [R64, C8]. Získané širší impulsy jsou po zmenšení strmosti hran RC členy R62, C19 a R65, C20 vedeny zpět do datové sondy ke svítivkám E1, E2.

Výběr aktivní hrany signálu provádějí tlačítkové přepínače. Je zapojen vždy buď přímý nebo inverzní kanál.

na výstupu řízení buzení vedení a slouží i k současněmu získání signálu opačné polarity. Kromě toho je takto zajistěna jistá hystereze a tím i strmě hrany signálu (potřebné hlavně u signálu CLOCK).

Všechny linky v kabelu jsou ze zkrouceného dvoudrátu (twisted), z nichž vždy jeden je na obou stranách uzemněn. Tím jsou vytvořena vedení s charakteristikou impedanci asi  $80 \Omega$  a s poměrně malou vzájemnou impedancí.

### 8.3. Входная часть

Восемь линейных приемников образовано согласующими сопротивлениями R44–R59, диодами для ограничения отрицательных выбросов E14–E22 и инверторами IO 32, IO 33. В обоих приемниках канала ТАКТ имеется по одному инвертору типа S, в обоих приемниках данных имеется по два инвертора типа S и в четырех приемниках каналов СТАРТ и СТОП имеется по одному классическому инвертору. Таким образом обеспечивается подходящее распределение времени задержек каналов для обеспечения необходимого времени спада в каналах ДАННЫЕ, СТАРТ и СТОП меньшего нуля. Триггеры с одним устойчивым состоянием для увеличения длительности канала ДАННЫЕ с целью индикации образованных микросхемами IO 29, IO 30, IO 31. Удлинение определяется цепочкой RC R61, C7 (R64, C8). Полученные удлиненные импульсы после уменьшения крутизны фронтов цепочками RC R62, C19 / R65, C20 поступают обратно к светодиодам E1, E2 щупа приема данных.

Выбор рабочего фронта сигнала обеспечивается кнопочными переключателями. Всегда включен прямой или инвертированный канал.

probe ensures line driving and simultaneously serves for obtaining a signal of opposite polarity. In addition, thus also a certain hysteresis is ensured and steep edges of the signals secured (necessary mainly for the CLOCK signal).

All the lines in the cable are twisted pair-leads, one of which is earthed at both ends. Thus, lines of approximately  $80 \Omega$  characteristic impedance and relatively low mutual impedance are formed.

### 8.3. Input part

Eight line receivers are formed by matching resistors (R44 to R59), diodes limiting negative overshoots (E14 to E22) and inverters IO 32, IO 33. In each of the two CLOCK channel receivers is one inverter of the S type, in each of the data receivers are two inverters of the S type, and in each of the four receiver channels START and STOP is one classical inverter. Thus, suitable distribution of the time delay of the channels is achieved in order to ensure the required timing out smaller than zero in the channels DATA, START and STOP.

The monostable FF circuits in the DATA channels for extending the pulses for display are formed by the integrated circuits IO 29, IO 30 and IO 31. The extension is given by the RC element R61, C7 (R64, C8). The produced wider pulses, after the slope of their edges has been reduced by the RC elements R62, C19 and R65, C20, are fed back to the LEDs E1 and E2 in the data probe.

The active (triggering) edge of the signal is selected by means of push-button switches. Either the direct channel or the inverse channel is connected at a time.

#### 8.4. Hradlovací obvody

Signály START a STOP jsou synchronizovány s příslušnou hranou signálu CLOCK ve dvojitém klopném obvodu typu D, IO 2. Z jeho výstupů je řízen stavový registr IO 3. Stav klopného obvodu IO 3—IO 5 určuje stav „hradla“, klopný obvod IO 3—IO 9 vytváří přepisovací impuls paměti v okamžiku STOP. Impuls je vhodně zpožděn a zesílen obvody IO 24—2, IO 25—11 a IO 22—6. Nulovací impuls v okamžiku START se získá v obvodu IO 25—8.

„Hradlo“ zde ale žádné není, hradlování je provedeno vhodně časovanými nulovacími a přepisovacími impulsy, ovládajícími generátor cyklického kódu „za chodu“.

Klopný obvod IO 34 blokuje další otevření „hradla“ v případě stisknutého tlačítka MAN.

Nulování tlačítkem RESET probíhá tak, že se nejprve nastaví klopné obvody IO 3 a IO 34 do jednícky. Tímto atypickým stavem se současně vynuluje generátor cyklického kódů a vzniklé nuly přepisují do paměti. Po uvolnění tlačítka se klopné obvody postupem, daným zpětnými vazbami a RC členy, uvedou do definovaného počátečního stavu.

Zpětné vazby stavového registru IO 3 lze rozpojít a nahradit testovacími signály pomocí servisního přepínače P6.

„Hradlovací“ impuls je prodloužen v monostabilním obvodu IO 28, IO 25—8 a indikován svítivkou HRAD-LO na panelu přístroje.

#### 8.5. Generátor cyklického kódů

Signály DATA L a DATA H jsou synchronizovány s příslušnou hranou signálu CLOCK v klopném obvodu typu JK—IO 1. Stav JK obvodu se při obou nulových vstupech nemění. Tim je dosaženo toho,

#### 8.4. Ключевые схемы

Сигналы СТАРТ и СТОП синхронизированы с соответствующим фронтом сигнала ТАКТ с помощью двойного триггера типа D IO 2. Сигналом с выхода последнего управляется регистр состояний IO 3. Состояние этого триггера IO 3—IO 5 определяет состояние «ключа», триггер IO 3—IO 9 осуществляет импульс записи памяти в момент СТОП. Импульс належит образом задержан и усилен помощью схем IO 24—2, IO 25—11 и IO 22—6. Импульс сброса в момент СТАРТ вырабатывается в схеме IO 25—8.

При этом здесь нет никакого ключа, так как управление осуществляется за счет подводящих временных соотношений импульсов сброса и записи, которые управляют генератором циклического кода «на ходу».

Триггер IO 34 блокирует последующее открытие ключа в случае нажатия на кнопку РУЧН.

Сброс кнопкой СБРОС осуществляется таким образом, что сначала устанавливаются триггеры IO 3 и IO 4 в состояние логической единицы. В результате этого нетипичного состояния одновременно сбрасывается генератор пиклического кода и возникшие нули записываются в память. После отпускания кнопки в соответствии с обратными связями и цепочками RC переходят в определенное начальное состояние.

Обратные связи регистра состояний IO 3 можно разомкнуть и заменить испытательными стимулами с помощью переключателя техобслуживания Р6.

«Ключевой» импульс удлинен в триггере с одним устойчивым состоянием IO 28, IO 25—8 и его индикация осуществляется светодиодом КЛЮЧ на панели прибора.

#### 8.5. Генератор циклического кода

Сигналы ДАННЫЕ L и ДАННЫЕ H синхронизируются с соответствующим фронтом сигнала ТАКТ в триггере типа JK—IO 1. Состояние триггера JK при наличии нулей на обоих входах не

#### 8.4. Gating circuits

The signals START and STOP are synchronized with the pertaining edge of the CLOCK signal in a double FF circuit of the D type (IO 2), the outputs of which control the state register IO 3. The state of the FF circuit IO 3—IO 5 determines the state of the „gate“; the FF circuit IO 3—IO 9 produces the interrupt pulse of the store at the instant STOP. This pulse is suitably delayed and amplified by the circuits IO 24—2, IO 25—11 and IO 22—6. The zeroizing pulse at the instant START is obtained from the circuit IO 25—8.

However, here there is no actual „gate“; gating is accomplished by suitably timed zeroizing and transcribing pulses which control the generator of the cyclic code „during operation“.

The FF circuit IO 34 blocks further opening of the „gate“ when the push-button MAN is depressed. Zeroizing with the push-button RESET proceeds as follows: First the FF circuits IO 3 and IO 34 have to be set to one. By this atypical state, the cyclic code generator is zeroized and the produced zeros are transcribed into the store. After releasing the push-button, the FF circuits are set into the defined initial state by a procedure determined by feedbacks and RC elements.

The feedback loops of the state register IO 3 can be interrupted and substituted by test stimuli by means of the service change-over switch P6 [on the PCB].

The „gating“ pulse is extended in the monostable circuit IO 28, IO 25—8 and is indicated on the panel by the LED marked GATE.

#### 8.5. Generator of the cyclic code

The signals DATA L and DATA H are synchronous with the appropriate edge of the CLOCK signal in the FF circuit IO 1 of the JK type. The state of the JK circuit does not alter at either zero input. Thus,

že neurčitý (třetí) stav vstupu DATA je dekódován jako poslední platný stav. Klopny obvod současně pracuje jako paměť, tj. posouvá informaci o jeden hodinový impuls vzad. Tím je umožněno sejmouti i datového bitu současněho s hranou signálu START. Naopak bit současný s hranou signálu STOP již přijat nebude.

Generátor cyklického kódu je tvořen šestnáctibitovým posuvným registrem IO 5, IO 6. Vstupní signál a signály ze sedmého, devátého, dvanáctého a šestnáctého klopného obvodu registru jsou sečteny s modulem 2 v generátoru parity IO 4. Vzniklý „komprezor“ dat je základem převádění bitového řetezce dat na hexadecimální příznač.

Ctyři zpětné vazby je možno rozpojít testovacím přepínačem P6 (umístěném na desce plošných spojů) pro účely servisu.

## 8.6. Obvody zobrazení

Signál oscilátoru 1 kHz — IO 23 je veden do čítače IO 18. Výstupy B a C jsou použity jako dvoubitová adresa právě zobrazovaného znaku.

Jsou vedeny jednak do čtyřnásobného čtyřstupňového multiplexeru IO 11, IO 12, který vybera příslušnou čtyřbitovou paměť ze čtyř IO 7—IO 10, jednak od dekodéru IO 19, který přes výkonové členy E8—E11 připojí napětí +5 V na anody segmentovky tohoto zobrazovaného znaku. Současně dekódér hexadecimálních znaků (naprogramovaný v PROM IO 14) uzemní přes výkonové členy E1—E7 katody příslušných segmentů. Tento děj se opakuje pro každou segmentovku každých 8 ms (trvá

meníce). V rezultátu toho je zajištěno, že neopředované (třetí) stav vstupu DATA je dekódován vlastním (posledním) stavem. Tím je umožněno sejmouti i datového bitu současněho s hranou signálu START. Naopak bit současný s hranou signálu STOP již přijat nebude.

Generátor cyklického kódu je tvořen šestnáctibitovým posuvným registrum IO 5, IO 6. Vstupní signál a signály ze sedmého, devátého, dvanáctého a šestnáctého klopného obvodu registru jsou sečteny s modulem 2 v generátoru parity IO 4. Vzniklý „komprezor“ dat je základem převádění bitového řetezce dat na hexadecimální příznač. Čtyře zpětné vazby jsou rozpojeny pomocí přepínače P6 (umístěném na desce plošných spojů) pro účely servisu.

## 8.6. Čipy zobrazení

Signál autogenerátora 1 kHz — IO 23 postupuje v čítačku IO 18. Výstupy B a C jsou použity jako dvoubitová adresa právě zobrazovaného znaku.

Oby je spojeny s čtyřnásobným čtyřstupňovým multiplexerem IO 11, IO 12, který vybera příslušnou čtyřbitovou paměť ze čtyř IO 7—IO 10, jednak od dekodéru IO 19, který přes výkonové členy E8—E11 připojí napětí +5 V na anody segmentovky tohoto zobrazovaného znaku. Současně dekódér hexadecimálních znaků (naprogramovaný v PROM IO 14) uzemní přes výkonové členy E1—E7 katody příslušných segmentů. Tento děj se opakuje pro každou segmentovku každých 8 ms (trvá

It is achieved that the uncertain (third) state of the DATA input is decoded as the last valid state. The FF circuit operates simultaneously as a store, i.e. it shifts the information back by one clock pulse. Thus, is enabled the sampling also of a data-bit which is synchronous with the edge of the START signal, whereas the bit which is synchronous with the edge of the STOP signal cannot be received.

The generator of the cyclic code is formed by the 16-bit shift register IO 5, IO 6. The input signal and the signals arriving from the seventh, ninth, twelfth and sixteenth FF circuits of the register are added modulo 2 in the parity generator (integrated circuit IO 4). The data „compressor“ thus formed is the basis for connecting the string of bits into a hexadecimal signature.

The four feedback loops can be isolated by means of the change-over switch P6 (on the PCB) for servicing purposes.

## 8.6. Display circuits

The 1 kHz signal produced by the oscillator IO 23 is applied to the counter IO 18. The outputs B and C are employed as a 2-bit address of the character just displayed, and are applied to the four-input quadruple multiplexer IO 11, IO 12 which selects the appropriate 4-bit store from the four circuits IO 7 to IO 10 for the decoder IO 19 which connects (via power elements E8 to E11) a voltage of +5 V to the anodes of the 7-segment indicator of the displayed character. At the same time, the decoder of hexadecimal characters (programmed in the PROM IO 14) connects the cathodes of the pertaining segments to earth (via power elements E1 to E7). This process is repeated for each indicator

2 ms), takže celý displej je multiplexován s kmitočtem 125 Hz.

Na paměti IO 7–IO 10 jsou přivedeny výstupy ze šestnáctibitového generátoru cyklického kódu. Přepisovací impuls přichází ze stavového registru vždy těsně po aktivní hraně signálu STOP.

Výstupy z paměti jsou uvedeny (kromě obvodů zobrazení) i na výstupní konektor na zadním panelu.

### 8.7. Obvody zjišťování nestabilního příznaku

Doba zobrazení každého znaku je čítacem IO 18 rozdělena na čtyři díly. Dekódér IO 24–6, IO 24–8, IO 26–8, IO 26–11 z nich vybere druhý a čtvrtý. Paměť RAM IO 13 je adresována dvojbitovou adresou právě zobrazeného znaku. Po dobu prvních tří dílů doby zobrazení jednoho znaku má na výstupu [v hexadecimálním kódu] znak, zobrazený na tomtéž místě displeje v minulém cyklu zobrazení. V komparátoru IO 20, IO 21–6 je porovnán s pravým zobrazeným znakem. V případě nesouhlasu je v druhém dílu doby zobrazení strobovacím impulsem přes hradlo IO 27–8 vybuzen monostabilní klopový obvod IO 27, IO 21–8, který krátce rozsvítí kontrolku nestabilního příznaku.

Ve čtvrtém dílu doby zobrazení je znak v hexadecimálním kódu přepsán do RAM pro komparaci v příštím cyklu.

Tento děj se neustále opakuje pro každý zobrazený znak [každé 2 ms].

### 8.8. Obvody samokontroly

Signál oscilátoru 1 kHz po průchodu čítacem IO 18 [viz kap. 8.6.] je dále dělen čítací IO 16 a IO 17. Celkem prochází dvacáti dělící dvěma, tj. celkový dělící poměr je 4096. Perioda posledního stup-

zultátu čeho všechny displeje komutují se časem 125 Hz.

Na paměti IO 7–IO 10 postupují signály s výstupy ze šestnáctibitového generátoru cyklického kódu. Impuls zapisu postupuje z registra stavového, který vždy těsně po aktivní hraně signálu STOP.

Výstupy z paměti jsou uvedeny (kromě schémat zobrazení) i na výstupním konektoru na zadním panelu.

### 8.7. Schéma pro určení instabilního podpisu

Čas zobrazení každého znaku je rozdělen na čtyři části. Dekódér IO 24–6, IO 24–8, IO 26–8, IO 26–11 vybere druhou a čtvrtou část. Paměť OZU IO 13 dostane dvojbitový adresu, kterou je označena jediným znakem.

Paměť OZU IO 13 dostane dvojbitový adresu, kterou je označena jediným znakem. Ve čtveřici časů zobrazení jednoho znaku má na výstupu (v šestnáctidílném kódu) znak, zobrazený na tomto místě displeje v minulém cyklu zobrazení. V komparátoru IO 20, IO 21–6 je znak porovnán s pravým zobrazeným znakem. V případě nesouhlasu je v druhém časovém dílu zobrazení strobovacím impulsem přes hradlo IO 27–8 vybuzen monostabilní klopový obvod IO 27, IO 21–8, který krátce rozsvítí kontrolku nestabilního podpisu.

Ve čtvrtém časovém dílu zobrazení je znak v hexadecimálním kódu přepsán do paměti pro komparaci v příštím cyklu.

Tento proces se neustále opakuje pro každý zobrazený znak (každých 2 ms).

### 8.8. Schéma pro samokontrolu

Signál od oscilátoru 1 kHz po průchodu čítacem IO 18 [viz kap. 8.6.] je dále dělen čítací IO 16 a IO 17. Celkem prochází dvacáti dělící dvěma, tj. celkový dělící poměr je 4096. Perioda posledního stup-

zultátu čeho všechny displeje komutují se časem 125 Hz.

Na paměti IO 7–IO 10 postupují signály s výstupy ze šestnáctibitového generátoru cyklického kódu. Impuls zapisu postupuje z registra stavového, který vždy těsně po aktivní hraně signálu STOP.

Výstupy z paměti jsou uvedeny (kromě schémat zobrazení) i na výstupním konektoru na zadním panelu.

### 8.8. Schéma pro určení instabilního podpisu

Čas zobrazení každého znaku je rozdělen na čtyři části. Dekódér IO 24–6, IO 24–8, IO 26–8, IO 26–11 vybere druhou a čtvrtou část. Paměť OZU IO 13 dostane dvojbitový adresu, kterou je označena jediným znakem.

Paměť OZU IO 13 dostane dvojbitový adresu, kterou je označena jediným znakem. Ve čtveřici časů zobrazení jednoho znaku má na výstupu (v šestnáctidílném kódu) znak, zobrazený na tomto místě displeje v minulém cyklu zobrazení. V komparátoru IO 20, IO 21–6 je znak porovnán s pravým zobrazeným znakem. V případě nesouhlasu je v druhém časovém dílu zobrazení strobovacím impulsem přes hradlo IO 27–8 vybuzen monostabilní klopový obvod IO 27, IO 21–8, který krátce rozsvítí kontrolku nestabilního podpisu.

Ve čtvrtém časovém dílu zobrazení je znak v hexadecimálním kódu přepsán do paměti pro komparaci v příštím cyklu.

Tento proces se neustále opakuje pro každý zobrazený znak (každých 2 ms).

### 8.8. Schéma pro samokontrolu

Signál od oscilátoru 1 kHz po průchodu čítacem IO 18 [viz kap. 8.6.] je dále dělen čítací IO 16 a IO 17. Celkem prochází dvacáti dělící dvěma, tj. celkový dělící poměr je 4096. Perioda posledního stup-

ně dělíce je 4 s. Tento interval je rozdělen na čtyři díly dekodérem s hradly IO 25–3, IO 26–6, IO 24–4.

BM 578 ve funkci TEST snímá příznaky ze svorek na svém vlastním panelu. Tyto svorky jsou buzeny z čítače IO 18 a PROM IO 15. Tlačítko TEST pouze zapíná napájecí napětí pro IO 15, IO 16, IO 17. Signály START a STOP jsou vytvářeny v PROM IO 15, signál CLOCK je využeden z čítače IO 18. Signál DATA bud střídá stavu H a L nebo je trvale ve stavu H, podle dekódéru IO 25–3. Tím vzniknou dva rozdílné příznaky. Každý z nich je snímán osmkrát. Další dva příznaky „8888“ a „nesvít“, určené pro test zobrazovacích segmentovek, vzniknou přeadresováním dekodéru znaku IO 14 do nena-programovaného pole vstupem E (stav „nesvít“), příp. odpojením dekodéru řídícím vstupem V (stav 8888).

Paměť PROM IO 15 generuje signály START, STOP a další data uspořádaná tak, aby se prověřily funkce sond, vstupních a hradlovacích obvodů. Generátor cyklického kódu a obvody zobrazení se testují přenosem čtyř známých příznaků, obvod nestabilního příznaku se vyzkouší při střídání dvou různých příznaků.

Protože oscilátor pro řízení dynamického displeje a pro funkci TEST je společný, přemění se celý BM 578 ve funkci TEST na synchronní sekvenční sif tak, jak to vyžaduje technika PA. Stimul pro vybuzení vstupních sond je generován funkci TEST stejně jako při samokontrole. TI v přístroji existující smyčky zpětné vazby se (podle pravidel PA) rozpojí servisním přepínačem P6, přičemž dvě z

st 4096. Períodu signálu posledního kaskáda de-litela je 4 s. Tento interval je rozdělen na čtyři díly dekodérem s hradly IO 25–3, IO 26–6, IO 24–4.

BM 578 v režimu ИСПЫТ. снимает сигнатуры с зажимов на своей собственной панели. Эти зажимы возбуждаются сигналом от счетчика IO 18 и ПЗУ IO 15. Кнопка ИСПЫТ. только включает напряжение питания для IO 15, IO 16, IO 17. Сигналы СТАРТ и СТОПрабатываются в ПЗУ IO 15, сигнал ТАКТ снимается со счетчика IO 18. Сигнал ДАННЫЕ характеризуется чередованием состояний Н или Л или постоянно находится в состоянии Н в зависимости от декодирующего устройства IO 25–3. В результате этого создаются две различные сигнатуры. Каждая из них снимается восемь раз. Следующие две сигнатуры «8888» и «не горят», предназначенные для испытания цифровых индикаторов, образуются в результате перед адресации декодирующей схемы знаков IO 14 по незапрограммированному полю входов E (состояние «не горят») или путем отключения декодирующего устройства от управляющего входа V (состояние «8888»).

Запоминающее устройство ПЗУ IO 15 генерирует сигналы СТАРТ, СТОП и другие данные в таком виде, чтобы проверить работу шупов входных и ключевых схем. Генератор циклического кода и схемы изображения испытываются путем передачи четырех известных сигнатур, схема неустойчивой сигнатурой проверяется при чередовании двух различных сигнатур. Ввиду того, что автогенератор управления динамическим дисплеем и для режима испытания является общим, весь прибор BM 578 в режиме ИСПЫТ. преобразуется в синхронную последовательностную сеть в соответствии с требованиями техники СА. Стимул для возбуждения входных шупов генерируется функцией ИСПЫТ. Так же, как и в режиме автоконтроля. Три петли обратной связи, имеющиеся в приборе (по правилам СА) размыкаются переключателем технического обслуживания Р6, причем две из петель заменяются стимулами от счет-

dividing stage is 4 s. This interval is divided into four parts by the decoder with gates IO 25–3, IO 26–6 and IO 24–4.

In the self-testing mode, the BM 578 signature analyzer samples the signatures from the terminals on its own panel. These terminals are driven by the counter IO 18 and the PROM formed by the integrated circuit IO 15. The push-button TEST only connects the powering voltage to the integrated circuits IO 15, IO 16 and IO 17. The signals START and STOP are produced by the PROM store (IO 15) and the signal CLOCK is drawn from the counter IO 18. The DATA signal either alternates the states H and L, or is in the state H all the time, depending on the decoder IO 25–3. Thus, two different signatures are produced, either of which is sampled 8 times. A further two signature — «8888» and «unit» — intended for testing the indicators of the display, are created by re-addressing the character decoder (IO 14) to the field not programmed, by inlet E (state "unit"), or by disconnecting the decoder by inlet V (state "8888").

The PROM store (IO 15) generates the signals START and STOP and further data arranged so as to prove the functions of the probes and of the input and gating circuits. The generator of the cyclic code and the display circuits are tested by the transfer of four known signatures; the circuit of the unstable signature is proved by alternating two different signatures.

As the oscillator for controlling the dynamic display is common with the one for self-testing, the whole BM 578 instrument in this mode is changed into a synchronous sequential network, as demanded by the SA technique. The stimulus for driving the input probes is generated in the function TEST, in the same manner as in self-testing. The three feedback loops existing in the instrument are isolated (in accordance with the SA rules) by means of the service switch P6, and two of these loops are substituted by stimuli from the counter IO 17. The

nich se nahradí „stimuly“ z čítače IO 17. Signál CLOCK je shodný jako při funkci TEST — z čítače IO 18. START a STOP jsou odlišné a ohraničují delší měřicí interval, ve kterém proběhnou všechny stavy stimulu.

Obvody BM 578 lze brát jako příklad aplikace techniky PA při vývoji nových přístrojů. V tomto případě jde o přístroj bez mikroprocesoru, takže generování stimulu je obvodově složitější.

Чік ІО 17. Сигнал ТАКТ являється таким же, як і в режимі ИСПЫТ., — від счітчика ІО 18. Сигнали СТАРТ і СТОП являються іншими і обмежують більш довготривалий інтервал заспівання, в течію якого встановлюються все стани стимула.

Схеми BM 578 можна принять в качестве примера применения техники СА при разработке новых приборов. В этом случае речь идет о приборе без микропроцессора, в результате чего генерирование стимула является более сложным со схемной точки зрения.

## 9. POKYNY PRO ÚDRŽBU

Přístroj nevyžaduje žádnou mechanickou ani elektrickou údržbu. Doporučuje se provádět samokontrolu funkcí TEST — viz kap. 6.3.2. v intervalech, volených s ohledem na využití přístroje v provozu; a také vždy, je-li pochybnost o správné funkci přístroje.

Postup při vyhledání a odstranění případné závady je uveden v kap. 10.  
K zjištění dlouhodobého bezporuchového provozu se doporučuje používat přístroj pouze v uvedeném teplotním rozsahu a nevystavovat jej extrémním klimatickým a mechanickým podmínkám, které mohou mít vliv na životnost součástí a dílů.

## 10. POKYNY PRO OPRAVY

### POZDR!

Při provádění oprav na odkrytovaném přístroji je nutno dodržet základní bezpečnostní předpisy. Nebezpečné napětí je na síťové přívodce, pojistce, síťovém tlacítku a transformátoru.

## 9. УКАЗАНИЯ ПО УХОДУ

Прибор не нуждается ни в каком механическом или электрическом уходе. Рекомендуется осуществлять автоконтроль путем установки режима ИСПЫТ. — см. гл. 6.3.2. в интервалах, соответствующих условиям эксплуатации прибора, а также тогда, когда появляется сомнение в правильности работы прибора.

Порядок работы при нахождении и устранении возможной неисправности приводится в гл. 10. Для обеспечения продолжительной бесперебойной работы рекомендуется эксплуатировать прибор только в пределах допустимого диапазона температуры, причем его не следует подвергать предельным климатическим и механическим условиям, которые могут оказывать влияние на срок службы деталей и узлов.

## 10. УКАЗАНИЯ ПО РЕМОНТУ

### ВНИМАНИЕ!

При ремонте прибора со снятой крышкой необходимо соблюдать основные правила техники безопасности. Опасное напряжение имеется на сетевом гнезде, предохранителе, сетевой кнопке и на трансформаторе.

CLOCK signal is identical with the one in the function TEST and comes from the counter IO 18. START and STOP are different and limit a longer measurement window, during which all the states of the stimulus are realized.

The circuits of the BM 578 signature analyzer can be considered as an example of the application of SA when new types of instruments are being designed — in this case an instrument without microprocessor, consequently the generating of the stimulus is more involved as far as circuitry is concerned.

## 9. INSTRUCTIONS FOR MAINTENANCE

The BM 578 signature analyzer does not require any special mechanical or electrical maintenance operations. It is recommended to carry out the self-testing function (see item 6.3.2.) at suitably selected intervals, depending on the frequency of application of the instrument, as well as whenever its correct functioning is in doubt.

The procedure for fault finding and the remedies are described in Section 10. of this Manual. In order to ensure long-term faultless operation of the instrument, it is recommended to employ it only within the specified limits of the ambient temperature, and not to expose it to inclement climatic and mechanical conditions which could affect the service life of its components and parts.

## 10. INSTRUCTIONS FOR REPAIRS

### ATTENTION!

When repairs are being carried out on the instrument, the cover of which has been removed, all the basic safety regulations must be adhered to. Dangerous voltage is on the mains connector, mains fuse, mains push-button and power transformer.

Ochranný vodič nesmí být přerušen ani v síťové přívodce, ani mimo přístroj.

Kondenzátory ve zdroji mohou zůstat nabité i po vypnutí přístroje.

Задействованный провод не должен быть прерван ни в сетевом кабеле, ни вне прибора.

Конденсаторы источников могут оставаться заряженными и после выключения прибора.

The protective (third) conductor must not be interrupted either in the mains connection or outside the instrument.

It must not be overlooked that the capacitors in the power supply may retain charges after the instrument has been switched off.

#### 10.1. Potřebné přístroje

	Doporučený typ
Univerzální voltampérmetr	DU 10
Příznakový analyzátor	BM 578
Stabilizovaný zdroj napětí 0 až 5 V	BS 554
Logická sonda	BM 544
Osciloskop	BM 564

#### 10.1. Необходимые приборы

	рекомендуемый тип
Универсальный вольтамперметр	DU 10
Сигнатурный анализатор	BM 578
Стабилизированный источник питания 0–5 В	BS 554
Логический шуп	BM 544
Оциллограф	BM 564

#### 10.1. Instrumentation required

Instrument	Recommended type
Universal voltmeter	DU 10
Signature analyzer	BM 578
Stabilized supply of up to 5 V	BS 554
Logic probe	BM 544
Oscilloscope	BM 564

#### 10.2.

Před hledáním závad je nezbytně nutné seznámit se s principem funkce celého přístroje prostudováním kapitol 4 a 8.  
Schémata zapojení, rozmístění součástek a obrazce plošných spojů jsou v příloze instrukční knížky.  
Rozpis elektrických součástí je v kap. 14. Pro výměnu vadných součástí používejte typy uvedené v tomto rozpisu.

K opravě se rozhodněte až po vyzkoušení přístroje funkcí TEST podle kap. 6.3.2. Teprve když přístroj neprojde samokontroloou, je možné uvažovat o opravě. Při složitějších závadách, nedostatku zkušenosti nebo potřebných měřicích přístrojů je nutné přístroj zaslat do opravného výrobničského podniku — viz kap. 10.7.

#### 10.2.

Перед отысканием неисправности следует ознакомиться с принципом работы всего прибора в результате изучения глав 4 и 8.  
Электрические схемы, чертежи расположения деталей и чертежи печатных схем даны в приложении к инструкции. Спецификация электрических деталей приводится в гл. 14. Для замены нетрудных деталей необходимо использовать только деталь, тип которой указан в настоящем описании.  
К ремонту следует приступить после проверки прибора в режиме ИСПЫТ. в соответствии с п. 6.3.2. Только в том случае, если прибор не работает правильно при автоконтроле, то можно приступить к ремонту. В случае необходимости более сложного ремонта, а также при недостатке опыта или требуемых измерительных приборов следует прибор отправить на завод-изготовитель — см. п. 10.7.

#### 10.2.

Before attempting to locate a defect, it is essential to gain knowledge about the principle of the instrument operation by studying the Sections 4. and 8. of this Manual. Wiring diagrams, drawings of the component layouts and of the printed circuit boards are in the Enclosures. A list of the electrical components is given in Section 14. If a component has to be exchanged, only one of the type listed must be employed.

Before deciding to repair the instrument, it is necessary to submit it to the self-testing procedure described in item 6.3.2. Only if the instrument does not pass the self-testing procedure successfully can the carrying out of a repair be considered. In the case of a more involved defect, or when there is a lack of sufficient experience in repairing sophisticated electronic circuits, or if the required instrumentation is not available, then it is advisable to entrust repair of the instrument to the service organization of the makers (see item 10.7.).

### 10.3. Odkrytování přístroje

Pokyny pro otevření přístroje a sond a pro přístup k jednotlivým dílům jsou uvedeny v kap. 7. Upozorňujeme na bezpečnostní opatření, uvedená na začátku kap. 10.

### 10.4. Propojení a nastavení dvou BM 578 při vyhledávání chyby

TESTOVANÝ BM 578:

Sondy i tlačítka jako při samokontrole [viz kap. 6.3.2.]

START        
STOP        
CLOCK      

TESTUJÍCÍ BM 578:

Vstupy hradlovací sondy na měřicí body na hlavní desce PS testovaného BM 578 podle obr. 7

START        
STOP        
CLOCK      

Datovou sondou snímáme příznaky z uzlu testovaného BM 578.

Připojení hradlovací sondy (levý přední roh desky PS)

### 10.3. Снятие крышек прибора

Указания по открытию прибора и шупов с целью обеспечения доступа к отдельным частям даны в гл. 7. Необходимо обратить внимание на правила техники безопасности указанные в начале гл. 10.

### 10.4. Проключение и установка двух приборов BM 578 при отыскании неисправности

ИСПЫТЫВАЕМЫЙ BM 578:

Шупы и кнопки в состоянии, соответствующем режиму автоконтроля (см. п. 6.3.2.).

СТАРТ        
СТОП        
ТАКТ      

ИСПЫТАТЕЛЬНЫЙ BM 578:

Входы ключевого щупа соединены с измерительными точками на главной плате печатного монтажа испытываемого прибора BM 578 по рис. 7.

СТАРТ        
СТОП        
ТАКТ      

Шупом данных снимаются сигнатуры с узлов испытываемого прибора BM 578.

Подключение ключевого щупа (левый передний угол платы печатного монтажа) — см. рис. 7.

### 10.3. Removing the cover of the instrument

Instructions for opening the instrument and the probes are given in Section 7. Once more attention is drawn to the safety measures mentioned at the beginning of this Section (10).

### 10.4. Interconnection and adjustment of two BM 578 instruments for fault finding

TESTED BM 578 INSTRUMENT:

The probes and push-buttons are set as for self-testing (see item 6.3.2.).

START        
STOP        
CLOCK      

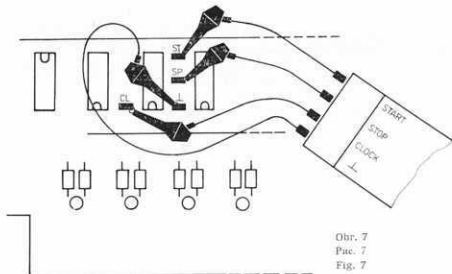
TESTING BM 578 INSTRUMENT:

The inputs of the gating probe are connected to the measuring points on the main printed circuit board of the BM 578 instrument under test according to Fig. 7.

START        
STOP        
CLOCK      

The signatures of the nodes of the instrument under test are sampled by means of the data probe of the testing instrument.

Connection of the gating probe to the left-hand front corner of the main PCB of the tested instrument (Fig. 7.)



Obr. 7  
Fig. 7  
Fig. 7

### 10.5. Vyhledávání závady

Při hledání chyb postupujte podle vývojového diagramu — tab. 3 (v příloze návodu), a podle tab. 2 — Příznaky hlavních měřicích bodů. Při konečném určování vadné součástky je již nutné pracovat podle podrobného schématu a tabulky 4. (Tabulky 2 a 4 jsou seznamy platných příznaků, získaných ze správně fungujícího BM 578 druhým příznakovým analyzátorem BM 578.)

Nalezneme-li chybný příznak, postupujeme datovou sondou proti směru toku dat po jednotlivých špicákách integrovaných obvodů tak dlouho, až narazíme na správný příznak.

Obecně pak platí, že vadná součástka má správný příznak na vstupu a chybný na výstupu.

START—STOP interval je dosti dlouhý (asi 4 s). Aby se měření urychлиlo, tj. aby START následoval ihned za STOP, je použit mnohonásobný START

### 10.5. Отыскание неисправности

При отыскании неисправности поступают по структурной схеме в таблице 3 (в приложении инструкции) и по таблице 2 — сигнатуры главных измерительных точек. При окончательном определении негодной детали уже необходимо пользоваться подробной схемой и таблицей 4. (В таблицах 2 и 4 даны первичные действительные сигнатур, снимаемых с правильно работающего прибора ВМ 578 с помощью второго сигнатурного анализатора ВМ 578). Если найдена ошибочная сигнтура, то с помощью щупа приема данных необходимо поступать против направления потока данных по отдельным штифтам интегральных микросхем до тех пор, пока не обнаружена правильная сигнтура. После этого справедливо общее правило, что негодная деталь имеет правильную сигнтуру на входе и исправильную сигнтуру на выходе.

Интервал СТАРТ—СТОП является достаточно длинным (прибл. 4 с). Для того, чтобы ускорить процесс измерения, т. е. чтобы старт следовал

### 10.5. Trouble-shooting

For locating a defect, it is necessary to proceed according to the flow diagram given in Table 3 (see the Enclosure) and to use Table 2, which lists the signatures of the main measuring points. In the final determination of a defective component, the detailed diagram of the system will have to be used together with Table 4. The Tables 2 and 4 list valid signatures obtained from a correctly functioning BM 578 signature analyzer by the application of a second (testing) BM 578 signature analyzer.

After finding an incorrect signature, the data probe has to be moved in the direction opposite to the data flow from tag to tag of the integrated circuits, until a correct signature is obtained.

In general, it stands that a defective component exhibits a correct signature at its input and an incorrect one at its output.

The START—STOP interval is fairly long (approximately 4 s). In order to accelerate the measurement, i. e. to cause the START to follow the

impuls — platný je však pouze první z nich. V praxi to znamená, že kontrolka GATE bude svítit trvale — bez indikace jednotlivých měřicích intervalů.

Rovněž tak první sejmuty příznak bude vždy chybny — je třeba vyčkat na zachycení celého měřicího intervalu.

#### Příznaky hlavních měřicích bodů

Plati pro propojení a nastavení podle kap. 10.4.

Tab. 2

Měř. bod	Umístění		Poloha servisního přepínače N—S (P6)		
	č.	IO	Sp.	N	S
1	IO 17	11	336F	336F	
2	IO 15	1	5954	5954	
3	IO 15	2	UH6A	UH6A	
4	IO 15	3	633F	633F	
5	IO 15	4	CU44	CU44	
6	IO 1	5	F869	F869	
7	IO 3	6	2FF9	OÜ87	
8	IO 6	13	FOCC	FH4A	

#### 10.6. Náhradní díly (na zvláštní objednávku)

Sítový transformátor	1AN 667 56
Káble k hradlovací sondě	1AF 871 69—72
Kábel k datové sondě	1AF 871 85
Zachytávací svorka	1AF 859 61
Horní výlisek datové sondy	1AB 427 22
Spodní výlisek datové sondy	1AF 262 27
Horní výlisek hradlovací sondy	1AB 427 24

сразу же после сигнала СТОП, используется многократный импульс старта. Однако, при запуске сказывается только первый из серии импульсов. На практике это означает, что контрольный светодиод КЛЮЧ будет гореть непрерывно без индикации отдельных измерительных интервалов. Также первая снимаемая сигнатура будет всегда ошибочной. Необходимо подождать прохождения всего измерительного интервала.

#### Сигнатуры основных измерительных точек

Справедливо для соединения и установки в соответствии с гл. 10.4.

Таблица 2

Номер точки	Местонахождение		Положение переключателя техобслуживания N—S (P6)		
	номер	IO	штифт	N	S
1	IO 17	11	336F	336F	
2	IO 15	1	5954	5954	
3	IO 15	2	UH6A	UH6A	
4	IO 15	3	633F	633F	
5	IO 15	4	CU44	CU44	
6	IO 1	5	F869	F869	
7	IO 3	6	2FF9	OÜ87	
8	IO 6	13	FOCC	FH4A	

#### 10.6. Запасные части (по специальному заказу)

Сетевой трансформатор	1AN 667 56
Кабели для ключевого шупа	1AF 871 69—72
Кабель для приема данных	1AF 871 85
Зажим	1AF 859 61
Верхняя часть шупа данных	1AB 427 22
Нижняя часть корпуса шупа данных	1AF 262 27
Верхняя часть корпуса ключевого шупа	1AB 427 24

STOP immediately, a multiple START pulse is employed, however its first one is valid. In actual practice, this means that the LED marked GATE will be alight all the time without indicating the individual measurement intervals.

The signature sampled as the first one will always be incorrect; it is essential to wait for the interception of the whole measurement window.

#### Signatures of the main measuring points

Valid for the interconnections and settings described in item 10.4.

Table 2.

Measuring point	Location		Setting of the service switch (P6)		
	No.	Integrated circuit (IO)	Tag	N	S
1	IO 17	11		336F	336F
2	IO 15	1		5954	5954
3	IO 15	2		UH6A	UH6A
4	IO 15	3		633F	633F
5	IO 15	4		CU44	CU44
6	IO 1	5		F869	F869
7	IO 3	6		2FF9	OÜ87
8	IO 6	13		FOCC	FH4A

#### 10.6. Spare parts (available on special order)

Mains transformer	1AN 667 56
Cables for the gating probe	1AF 871 63—72
Cable for the data probe	1AF 871 85
Test clip	1AF 859 61
Top moulding of the data probe	1AB 427 22
Bottom moulding of the data probe	1AF 262 27
Top moulding of the gating probe	1AB 427 24

Spodní výlisek hradlovací sondy 1AB 427 25

#### 10.7. Opravářská služba

Přístroj je podroběn přísné kontrole kvality součástí a nastavení obvodů. Vývojovému výrobnímu procesu je věnována velká péče a v řadě případů je používáno speciálních technologických procesů, které mají zajistit udržení vlastností přístroje a dosažení odpovídající přesnosti. Přesto však během provozu vlivem stárnutí součástí, působením klimatických podmínek a event. i jiných vlivů se může vyskytnout závada, která poruší funkci přístroje.

V duchu dobré tradice má k. p. TESLA Brno zájem na tom, aby jeho měřicí přístroje sloužily s maximální přesností zákazníkům. Nemáte-li proto pro opravy vhodné kontrolní zařízení nebo dostatek zkušenosti, doporučujeme Vám obrátit se na výrobní podnik, který Vám přístroj opraví.

Přístroj zašlete na adresu:

TESLA Brno, k. p.,  
Purkyňova 99,  
612 45 Brno

Adresa servisu měřicích přístrojů (pro osobní styk):

TESLA Brno, k. p.,  
servis měřicích přístrojů,  
Mercova 8a, 612 45 Brno  
Tel. 558 18

#### 11. POKYNY PRO DOPRAVU A SKLADOVÁNÍ

##### 11.1. Doprava

Konstrukce obalu je řešena s ohledem na snížení nepříznivých vlivů během dopravy. Přístroje však musí být chráněny proti přímému vlivu počasí a

Нижняя часть корпуса  
ключевого шупа

#### 10.7. Ремонтная служба

Прибор подвержен строгому контролю качества деталей и регулировки схем. Процессу разработки и производства уделяется большое внимание и во многих случаях применяются специальные технологические процессы, которые должны обеспечить сохранение параметров прибора и достижение требуемой точности. Несмотря на это в процессе эксплуатации и старения деталей под воздействием климатических условий и под воздействием других условий может появиться неисправность, которая нарушает правильную работу прибора.

В соответствии с хорошей традицией предприятия концерна «Тесла» Брно заинтересовано в том, чтобы его измерительные приборы служили потребителям с максимальной точностью. Поэтому если у Вас нет подходящей контрольной аппаратуры для проведения ремонта или достаточного опыта, то рекомендуется обратиться на завод-изготовитель, который отремонтирует Ваш прибор.

Более подробные информации предоставляет:

РГО КОВО,  
Прага 7 — ЧССР

#### 11. УКАЗАНИЯ ПО ТРАНСПОРТИРОВКЕ И ХРАНЕНИЮ

##### 11.1. Транспортировка

Конструкция тары выполнена с целью уменьшения неблагоприятных влияний в процессе транспортировки. Однако, приборы должны быть за-

1AB 427 25

Bottom moulding  
of the gating probe

1AB 427 25

#### 10.7. Repair service

The BM 578 signature analyzer has been submitted by the makers to stringent tests for checking the quality of the components and circuit adjustment. Great attention has been devoted in the development and production processes, and in many cases special technology has been applied in order to ensure constancy of the properties of the instrument and to achieve the corresponding high accuracy. However, due to natural ageing of components, the influence of inclement climatic conditions and also other possible adverse influences, after lengthy operation, a defect may occur which could impair the correct functioning of the instrument.

In order to uphold their good tradition, TESLA BRNO, Nat. Corp., are greatly interested in ensuring that their measuring instruments serve the users with maximum accuracy. Therefore, customers who have not sufficient experience in dealing with sophisticated electronic circuits and/or suitable instrumentation, are requested to entrust repairs to the Service Organization of the makers, details about which will be supplied willingly by:

KOVO, Foreign Trade Corporation,  
Z Jankovcova,  
170 88 Praha 7,  
Czechoslovakia

#### 11. INSTRUCTIONS FOR TRANSPORT AND STORAGE

##### 11.1. Transport

The packing for the BM 578 signature analyzer has been designed so as to reduce as far as possible adverse influences which could be encon-

přesobení teplot v rozsahu vyšším než  $-25^{\circ}\text{C}$  až  $+55^{\circ}\text{C}$ . Krátkodobé zvýšení vlhkosti nemá na přístroj vliv.

## 11.2. Skladování

Přístroj lze skladovat v nezabalém stavu v prostředí s teplotou od  $+5^{\circ}\text{C}$  do  $+40^{\circ}\text{C}$  při maximální vlhkosti 80%.

Při dlouhodobém skladování lze přístroj v továrním obalu skladovat v rozmezí teplot  $-25^{\circ}\text{C}$  až  $+55^{\circ}\text{C}$  při relativní vlhkosti do 95%.

V obou případech je nutné přístroje chránit proti povětrnostním vlivům uložením ve vhodných prostorách prostých prachu a výparů z chemikálií.

Na přístroje nesmí být ukládán žádný další materiál.

## 12. ÚDAJE O ZÁRUCĚ

Na správnou funkci přístroje poskytuje k. p. TESLA Brno záruku v délce stanovené hospodářským zákoníkem č. 109/1964 Sb. ve znění č. 37/1971 Sb. (§§ 195, 135). Podrobnější údaje o délce záruční doby jsou uvedeny v záručním listě.

## 13. PŘÍZNAKOVÁ ANALÝZA

### 13.1. Číslicové technika dnes

Současný vývoj číslicových systémů jde směrem ke sběrnicovým strukturám, sestaveným z LSI obvodů (např. mikroprocesorů, ROM, RAM, komplexních interfejsových jednotek).

изолированы от прямого воздействия погоды, а также от воздействия температуры, выходящей за пределы  $-25^{\circ}\text{C}$  и  $+55^{\circ}\text{C}$ . Кратковременное повышение влажности не оказывает влияния на прибор.

## 11.2. Хранение

Прибор можно хранить в неупакованном виде в среде при температуре от  $+5^{\circ}\text{C}$  до  $+40^{\circ}\text{C}$  при максимальной влажности воздуха 80%.

При длительном хранении можно прибор в заводской таре хранить при температуре от  $-25^{\circ}\text{C}$  до  $+55^{\circ}\text{C}$  и при относительной влажности воздуха до 95%.

Однако, в обоих случаях необходимо прибрать защищать от воздействия погоды путем хранения в подходящих помещениях без пыли и химических испарений.

На прибор не следует класть никакой другой материала.

## 12. УСЛОВИЯ ГАРАНТИИ

Предприятие ТЕСЛА Брно гарантирует правильную работу своих изделий в течение гарантийного срока для заказчиков стран-членов СЭВ и им различных, установленного Общими условиями СЭВ 1958 г. (§§ 28–30).

Более подробные данные о продолжительности гарантийного срока указаны в гарантийном свидетельстве.

## 13. СИГНАТУРНЫЙ АНАЛИЗ

### 13.1. Современная цифровая техника

Современное развитие цифровых систем направлено на шинные структуры, образованные из схем БИС (например, микропроцессоров, ПЗУ, ОЗУ, комплексных интерфейсных блоков).

tered during transport. However, the instrument must be protected from the direct influence of inclement weather and of temperatures exceeding the range of  $-25^{\circ}\text{C}$  to  $+55^{\circ}\text{C}$ . Transitory increase of the relative humidity has no detrimental effect on the packed instrument.

## 11.2. Storage

When unpacked, the BM 578 signature analyzer can be stored at temperatures within the range of  $+5^{\circ}\text{C}$  to  $+40^{\circ}\text{C}$  at a maximum relative humidity of 80%.

When packed in its original packing, the BM 578 signature analyzer can be stored for any length of time at temperatures within the range of  $-25^{\circ}\text{C}$  to  $+55^{\circ}\text{C}$  at a relative humidity of up to 95%.

In either case, the instrument must be protected from adverse atmospheric influences by keeping it in a suitable room which is free from dust and chemical fumes.

No other material must be stacked on the stored instrument.

## 12. GUARANTEE

With customers outside Czechoslovakia, the guarantee conditions are agreed upon individually in every case.

The guarantee does not cover defects caused by incorrect application of the instrument.

Details about the guarantee terms are given in the Guarantee Certificate.

## 13. SIGNATURE ANALYSIS

### 13.1. The present state of the digital technique

The present development of digital systems aims towards bus structures assembled from LSI circuits [such as microprocessors, ROM and RAM stores, complex interface devices].

Velká část hardwarové logiky, dříve používané ke komplexnímu zpracování signálů a dat, přechází při fyzické komunikaci a algoritmických vztahů mezi sběrnicovými jednotkami do softwarové manipulace s daty. Jestliže jsou logické signály nahrazeny tokem dat v např. mikroprocesorovém systému, nejsou funkční operační charakteristiky systému nezbytně spjaty s danou hardwarovou strukturou a je daleko obtížnější je charakterizovat definovat. Další komplikace spočívá v tom, že mnohé jednotky napojené na sběrnici, jsou obousměrně (t. j. mají na téže svorce vstup i výstup).

Большая часть логики технического оснащения, ранее используемая для комплексной обработки сигналов и данных, переходит при управлении связью и алгоритмическими соотношениями между блоками, подключенными к шине, к манипуляции данных в соответствии с математическим обеспечением. Если логические сигналы заменены потоком данных, например, в микропроцессорной системе, то нет однозначной связи функциональных операционных характеристик системы с данной структурой технического обеспечения и значительно труднее характеризовать и определять эти характеристики. Следующее затруднение заключается в том, что многие блоки, подключенные к шине, работают в обоих направлениях (т. е. они имеют вход и выход на одном и том же выводе).

В отличие от комбинационной логики и самая простая микропроцессорная система сопротивляется стремлению определить местонахождение неисправности даже, если эти стремления сопровождаются подробной документацией и общирным использованием техники изоляции схем. Поэтому большинство видов ремонта микропроцессорных частей приборов осуществляется путем замены всей платы, вследствие чего многие работники технического обслуживания боятся микропроцессоров. Даже, если опытные работники по ремонту имеют логические анализаторы и другие специальные приборы, то нахождение негодных деталей в микропроцессорном приборе или приборе с шинно-структурой нуждается в подробном знании схем и может занять очень много времени. Основная проблема заключается в том, что существующие до сих пор испытательные приборы дают слишком много или слишком мало информации. Для эффективного нахождения негодной детали в условиях цепи наиболее подходящим является сжатие длинных цепей данных, существующих в системе, работающей при нормальной оперативной скорости в компактную легко понимаемую и характерную форму. Такая форма может давать информацию только о том,

By controlling the communication and algorithmic interaction between bus units, a large proportion of the hardware logic employed hitherto for carrying out complex signal and data processing, now yields to software data manipulation. When logic signals are substituted by streams of data bits, e. g. in a microprocessor system, then the functional operational characteristics of the system are not essentially connected to the given hardware structure and thus are considerably more difficult to characterize and define. A further complication lies in the fact that many units connected to the bus are bidirectional (i. e. they have an input as well as an output on the same terminal).

As different from combination logic circuits, even the simplest microprocessor system resists efforts to locate defects, unless they are based on detailed documentation and supported by extensive application of the circuit isolation technique. Consequently, the repair of microprocessor parts of instruments is carried out in the majority of cases by exchanging the whole affected printed circuit board, and this is also the reason for the wariness of service technicians of dealing with microprocessors. Even when an experienced service technician has at his disposal logic analyzers and specialized instrumentation, the prerequisite for finding a defective component in a microprocessor or bus-structured instrument is a thorough knowledge of all the circuits, and the work can take a very long time. The main difficulty is that the test instruments available hitherto yield either too much or too little information. For effective trouble-shooting, i. e. the speedy finding of a defective component in repair workshop practice, it is best to compress the long data strings existing in the system running at its usual operating speed, into a compact easily interpretable and characteristic term which does not need to indicate

Na rozdíl od kombinační logiky i ten nejjednodušší mikroprocesorový systém odolává snahám o lokalizování závady, i když jsou podpořeny podrobňou dokumentací a rozsáhlým užitím techniky izolace obvodů. Proto je většinou oprav mikroprocesorových částí přístrojů řešena výměnou celé desky, a proto se také mnoho servisních techniků bojí mikroprocesorů. I když jsou zkušení opraváři vyzbrojeni logickými analýzátory a další speciální přístrojovou technikou, vyžaduje nalezení vadných součástek v mikroprocesorovém nebo sběrnicovém přístroji detailní znalost obvodů a může zabrat velmi mnoho času. Hlavní problém je v tom, že dosavadní testovací přístroje poskytovaly buď příliš mnoho nebo příliš málo informace. Pro efektivní nalezení vadné součástky v dílencké praxi je nejvhodnější komprese dlouhých datových řetězců existujících v systému běžícím normální operační rychlosti do kompaktního, snadno interpretovatelného a charakteristického výrazu. Tento výraz ne-

musí říkat něčeho, než že příslušný zkoumaný uzel pracuje nebo nepracuje správně.

### 12.2. Základ příznakové analýzy

Základními složkami příznakové analýzy [PA] jsou „komprese dat“ a „vlastním obvodem generovaný stimul“.

Komprese dat je dosaženo takto: Data ze sledovaného uzlu vstupují do příznakového analyzátoru synchronně s hodinovým signálem testovaného přístroje během celého START—STOP intervalu, třízeného rovněž testovaným přístrojem. V příznakovém analyzátoru je sesnaditibitový posuvný registr, do kterého data vstupují buď přímo, nebo invertovaná, a to podle předchozího datového obsahu registru. Celkem je možných  $2^{16}$ , tj. 65 536 stavů, kterými může posuvný registr během měřicího intervalu projít. Tyto stavy jsou pak dekódovány a zobrazeny na čtyřech hexadecimálních segmentovkách a stávají se „příznakem“. Tento příznak je charakteristický výraz, reprezentující časově závislou logickou aktivitu příslušného uzlu (měřicího bodu) během daného měřicího intervalu. Jakákoli změna v chování tohoto uzlu (např. posunutí se hrany o jeden hodinový cyklus dopředu nebo dozadu) se projeví změnou příznaku, což znamená chybu ve funkci testovaného obvodu. Výhodou použitého algoritmu komprese je to, že i měřicí intervaly přesahující  $2^{16}$  hodinových cyklů dají stále platné, opakovatelné příznaky.

Signál, který vybudit uzel tak, že produkuje příznak, se nazývá „stimul“. U PA je zdrojem signálu sám testovaný přístroj. Tím je dáno, že je možné testovat při plné funkční rychlosti, a to i tak, že vybrané obvodové celky budou testovány nezávisle

na tom, že vysledují uzel správně nebo ne.

### 13.2. Osnovy signaturního analýza

Основными частями сигнатурного анализа (СА) являются «сжатие данных» и «стимул, генерируемый собственной схемой».

Сжатие данных осуществляется следующим образом: данные из исследуемого узла поступают в анализатор сигнатуры синхронно с тактовым сигналом испытываемого прибора в течение всего интервала СТАРТ—СТОП, управляемого также с помощью испытываемого прибора. В анализаторе сигнатуры имеется шестнадцатибитовый сдвигающий регистр, в который данные поступают непосредственно или в инвертированном виде в зависимости от предшествующего содержания регистра. В общей сложности имеется  $2^{16}$  возможных состояний, т. е. 65 536 состояний, которые может занять регистр в течение измерительного интервала. Эти состояния затем декодируются и изображаются с помощью четырех шестнадцатиразрядных цифровых индикаторов и становятся сигнатурой. Эта сигнатура является характерной величиной, которая представляет собой зависящую от времени логическую активность соответствующего узла (измерительной точки) в течение данного измерительного интервала. Какое-либо изменение в поведении этого узла (например, смешение фронта на один период тактового сигнала вперед или назад) проявляется в изменении сигнатуры, что означает ошибку в работе испытываемой схемы. Преимуществом используемого алгоритма сжатия является то обстоятельство, что измерительные интервалы, превосходящие  $2^{16}$  тактов, дают справедливые и воспроизводимые сигнатуры.

Сигнал, который возбуждает узел таким образом, что узел вырабатывает сигнатуру, называется стимулом. В случае СА источником стимула является сам испытываемый прибор. В результате этого обеспечивается возможность проведения испытания на полной рабочей скорости, причем

cete more than whether the tested circuit node operates correctly or not.

### 13.2. The basis of signature analysis

The basic components of signature analysis (SA) are "data compression" and „circuit-generated stimulus“.

Data compression is produced as follows: The data from the tested node enter the signature analyzer synchronously with its clock signal of the instrument under test during the whole START—STOP interval which is also controlled by means of the instrument under test. The signature analyzer houses a 16-bit shift register, into which the data enter either directly or after inversion, depending on the previous data content of the register. Altogether  $2^{16}$ , i. e. 65,536, states are possible, to which the shift register can become set during one measurement interval. Then, these states are decoded and displayed by four hexadecimal 7-segment indicators and become a "signature". This signature is the characteristic term which represents the time-dependent logic activity of the particular node (measuring point) during the specified measurement interval. Any change in the behaviour of this circuit node (e. g. when an edge is shifted forwards or retarded by one clock cycle) is exhibited by a change in the displayed signature, indicating malfunctioning of the tested circuit. An advantage of the employed compression algorithm is that even measurement intervals exceeding  $2^{16}$  clock cycles produce always valid, repeatable signatures.

A signal, which induces a node to produce the signature, is the "stimulus". In signature analysis (SA), the instrument under test itself acts as a source of stimuli. Thus, whilst maintaining full dynamic operational speed, tests are feasible on selected parts of the circuitry independently of

na jiných. Rovněž synchronizace a měřící interval pro příznakový analyzátor musí být odvozeny od testovaného přístroje. V mikroprocesorovém systému není stimul nic jiného než program (obvykle v EPROM), který vyzkouší [vybudí] postupně všechny části systému. Vezmeme-li v úvahu obrovské možnosti mikroprocesoru při manipulaci s daty, nebude vytvoření vhodných posloupnosti stimulů pro vybuzení všech jednotek pFIIŠ obtížné.

Plati, že čím složitější a větší bude testovaný systém, tím větší bude zisk vytěžený z použití PA.

Uzly je třeba vybudit tak, aby prostě měnily svůj stav. Nemění-li uzel svůj stav, poskytuje velmi omezenou diagnostickou informaci — není zcela vyzkoušen. To platí jak pro body na deskách PS, tak pro body uvnitř IO. Naopak, mění-li uzel aktivně své stavy patřičným způsobem ve správných okamžicích, poskytuje mnohem více platné informace. Ve skutečnosti pFIIŠ nezáleží na tom „co“ uzel vybudi k poskytování diagnostické informace.

Úplná pravdivostní tabulka je sice obecně více vyčerpávající a může naletět více chyb — ovšem za cenu podstatně rozsáhlějších prostředků a časových ztrát.

To vše vede k návrhu „volného běhu“. Volnoběh pro účely FA znamená:

Uvedení obvodu do běhu v opakující se smyčce s minimálním počtem součástí k tomu potřebných, ale s maximálním počtem aktivně vybuzených uzlů.

U mikroprocesorů, kontrolérů, ASM aj. lze volnoběh elegantně vytvořit tím, že rozpojíme datovou

vybrané části schémy: испытываются независимо от других. Также синхронизация и измерительный интервал для сигнатурного анализатора должны быть выработаны на основании испытываемого прибора. В микропроцессорной системе стимулом является не программа, а что-нибудь другое (обычно ПЗУ), что проверяет (возбуждает) постепенно все части системы. Если принять во внимание колосальные возможности микропроцессора при манипуляции с данными, то создание подходящих последовательностей стимулов для возбуждения всех блоков не будет слишком затруднительным. Справедливо правило, что чем сложнее и больше испытываемая система, тем больше эффект, вытекающий из использования СА.

Узлы следуют возбуждать таким образом, чтобы они просто меняли свое состояние. Если узел не меняет свое состояние, то он дает очень ограниченную диагностическую информацию и не является полностью проверенным. Это относится как к точкам на платах печатного монтажа, так и к точкам внутри интегральных микросхем. С другой стороны, если узел меняет активно свои состояния надлежащим образом, а также в надлежащие моменты времени, то он дает значительно большее количество нужной информации. В действительности, неважно, как узел возбуждается для получения диагностической информации. Полная таблица состояний является с общей точки зрения более исчерпывающей и может найти большее количество ошибок, однако это окунается ценой существенно более сложных средств и потери времени.

Это все приводит к проекту «свободного хода». Свободный ход для целей СА означает:

— пуск схемы в ход в повторяющейся петле с минимальным количеством деталей, необходимых для этого, но с максимальным количеством активно возбуждаемых узлов.

В случае микропроцессоров, контроллеров, ASM и т. п. можно свободный ход очень удобно создать так, что размыкается шина данных (или

others). Also, the synchronization and the measurement intervals must be derived for the signature analyzer from the tested instrument. In a microprocessor ( $\mu$ P) system, the stimulus is only the program (usually EPROM), which tests successively all the remaining parts of the system. Due to the enormous capabilities of a microprocessor to manipulate data, the production of a suitable sequence of stimuli for "exercising" all the nodes successively, does not seem to present excessive difficulties.

It stands that the more complex the system, the greater is the benefit derived from the application of SA.

The nodes must be "exercised" in such a manner that they change their states constantly. If a node does not do this, it offers only very limited information for diagnosis; it is not tested fully. This applies not only to nodes on a printed circuit board (PCB), but also to such which are inside an integrated circuit. If the node changes its state actively in a proper way and at the correct time, then it offers much more valid information. In actual practice, it does not matter much "what" evoked the node to provide diagnostic information. However, a complete "Truth Table" is generally more exhaustive and will uncover a larger number of failures — of course at the cost of considerably more extensive instrumentation and loss of time. All this leads to the concept of "free running".

The meaning of free running for the purpose of SA is as follows:

1. Inducing the circuit to run in a repetitive loop, with
  2. a minimum number of components required for the purpose, but
  3. with a maximum number of nodes exercising.
- For microprocessors ( $\mu$ Ps), controllers, ASMs, etc., free running can be induced readily by opening

{nebo instrukční} sběrnici a vnutně ji takovou instrukcí nebo řízení, která způsobí plynulý cyklický běh celým adresovým nebo řídícím polem. Obvody, které to zajistují, nazveme „jádro“. Bývá to obvykle základ i srdce celého systému. Nepracuje-li, nefunguje celý systém.

Sledováním příznaků ve volnoběhu lze ověřit jádro, většinu kombinační logiky na adresových a řídicích linkách [hlavně dekodéry a obsah paměti ROM] a funkci datové sběrnice. Ve většině případů však volnoběh sám o sobě nemůže dostatečně vyzkoušet všechny obvody a uzly. Např. RAM, většina sekvencních a LSI obvodů a mikroprocesory nejsou dobré testovatelné ve volnoběhu.

Pro vyzkoušení této třídy obvodových prvků musí být generovány testovací stimuly, které obsahují také mnohonásobných budicích podnětů, kolik jen je ještě únosné. Často bývají tyto stimuly obsaženy v programu samokontroly jako podprogramy. Základním předpokladem a současně výhodou PA je to, že stimuly jsou generovány testovaným obvodem samým. V případě mikroprocesoru to lze jednoduše provést zapájením programu PA stimulů do části ROM. Tento program je typicky mnohem kratší, než vlastní operační program přístroje (typicky 5%) a snadněji sestaviteLNý. Jiné typy systémů, méně schopné generovat stimul, si mohou vyžádat výšší úroveň testovacího firmwaru. A konečně pro mnohé obecné logické systémy nebude PA vhodná, vzhledem k velkému rozsahu přidavného hardwaru, nutného k vytvoření vhodných stimulů a k řízení datových zpětnovazebních smyček.

instrukcii) и в нее вводится такая инструкция или управляющий сигнал, которые способствуют непрерывному циклическому входу всего адресного или управляющего поля. Все схемы, которые обеспечивают такую работу, называются «ядром». Ядро представляет собой обычно основную часть всей системы. Если оно не работает, то вся система не работает.

Путем исследования сигнатур в режиме свободного хода можно проверить ядро, большую часть комбинационной логики на адресных и управляющих шинах (главным образом, декодирующие устройства и содержание запоминающих устройств ПЗУ) и работу шин данных. В большинстве случаев свободный ход сам по себе не является достаточным для полной проверки всех схем и узлов. Например, ОЗУ, большинство последовательных схем и БИС-схем, и микропроцессоры не очень хорошо испытываются в режиме свободного хода. Для проверки этого класса схемных элементов должны генерироваться испытательные стимулы, которые содержат такое количество многократных возбуждающих сигналов, какое является приемлемым. Часть этих стимулов включены в программу автоконтроля в качестве подпрограмм. Основной предпосылкой и одновременно преимуществом СА являются то обстоятельство, что стимулы генерируются самой испытываемой схемой. В случае микропроцессора это можно очень легко выполнить путем ввода программы стимулов СА в часть запоминающего устройства ПЗУ. Эта программа всегда значительно короче собственно операционной программы (обычно 5%) и более просто составляется. Другие типы систем с меньшей способностью генерирования стимула могут требовать более высокого уровня испытательного фирменного математического обеспечения. А наконец, для новых общих логических систем СА не является подходящим из-за большого объема дополнительного технического оснащения, необходимого для создания подходящих стимулов и для управления обратными петлями данных.

the data (or instruction) bus and enforcing such an instruction or control which causes a continuous cyclic run through the whole address or control field. The circuitry which ensures this cycling is called the "kernel"; it is usually the basis or heart of the whole system. If it is out of action, then the whole system is inoperative.

By following the signatures in the free running mode, the kernel can be verified, as well as the majority of the combinatory logic on the address or control lines [especially address decoders and the content of ROM stores] and the operation of the data bus. However, in the majority of cases, free running alone cannot exercise all circuits and nodes sufficiently. For example, RAM stores and most of the sequential and LSI circuits, as well as microprocessors, are not testable properly only by free running.

In order to test this class of circuit components, special test stimuli must be generated which contain as many multiple evoking incentives as are still bearable. These stimuli are often contained as sub-routines in the self-testing program. The basic condition for and also the advantage of SA is that the stimuli are generated by the tested circuitry itself. In the case of a microprocessor, this can be achieved easily by preparing a separate program of SA stimuli and entering it into a part of the ROM store. This program is typically much briefer than the operating program of the instrument [typically only 5%] and also easier to compile. Other types of systems which are less capable of generating stimuli may require a test firmware of higher level. Finally, for many random logic systems, SA may not be practicable, due to the extensive additional hardware which is needed for creating suitable stimuli and for controlling the data feedback loops.

Nejvíce aplikací PA bude pravděpodobně ve sběrových systémech. Sběrnicové struktury nabízejí značné operační výhody, mohou ale znesnadnit analýzu závad. Obvyklý problém je, který IO vysílá na sběrnici špatná data? Tato otázka by nemusela být tak obtížná, ale existují takové závady, které lokalizování chyby téměř zneemožní. Postupy, které umožní s pomocí PA nalézt závadu na sběrnici, budou uvedeny dále.

I když je PA přednostně určena jako servisní a výrobní nástroj k vyhledání závad, může přinést cenné výsledky i při ověřování prototypů a vzorků, jakmile jsou známý správné příznaky. Může odhalit i chyby v časování a přílišná zpozdění některých uzlů sledovaného stabilitu příznaků při změnách hodinového kmitočtu.

### 13.3. Vývoj testovatelných přístrojů

Dobrá testovatelnost přístroje není věci náhody. Testovatelnost musí být dobré navržena. Okamžík, kdy začínáme myslit na testování a servis, nastane již v počátku vývoje. Ještě předtím, než se ustálí obvodové i programové řešení přístroje. Tehdy ještě může být proveden plnohodnotný návrh strategie oprav testů a vymezen prostor pro její implementaci (např. adresový prostor v ROM, místo pro přepínače, měřící body a přídavný hardware).

Testovatelnost přístroje může být zvýšena důsledným dělením na funkční celky. Např. rozdělíme-li obvody na několik vzájemně minimálně závislých modulů, přičemž každý bude na vlastní desce ploš-

Samou největší oblastí použití SA je testování systémů, které mají využívají sběrnicového řízení. Sběrnicejsou také velmi vhodnou možností pro vývoj a testování. Nejdříve je potřebno samou sběrnici vypracovat, aby mohla fungovat bez ohledu na konkrétní použití. Potom je potřebno vypracovat takovou strukturu, že každý modul je vložen do sběrnice a má funkci a reakci na zadané vstupy a výstupy. Tím se pak může dosáhnout že každý modul funguje samostatně a nepotřebuje žádat o povolení k pracování s ostatními moduly. Tím se také může dosáhnout že každý modul může být vložen do jiné sběrnice a fungovat stejně.

Nejdříve je potřebno samou sběrnici vypracovat, aby mohla fungovat bez ohledu na konkrétní použití. Potom je potřebno vypracovat takovou strukturu, že každý modul je vložen do sběrnice a má funkci a reakci na zadané vstupy a výstupy. Tím se pak může dosáhnout že každý modul funguje samostatně a nepotřebuje žádat o povolení k pracování s ostatními moduly. Tím se také může dosáhnout že každý modul může být vložen do jiné sběrnice a fungovat stejně.

### 13.3. Rozработка приборов, допускающих испытания

Высокая способность прибора к испытаниям не является случайной. Она должна быть результатом продуманного проекта. Момент, когда следует задуматься над испытанием и техническим обслуживанием, наступает уже в начале разработки еще до того, когда установлено схемное и программное решение прибора. Еще в этот момент можно осуществить полный проект стратегии ремонта и испытаний и выделить пространство для внедрения этого. (Например, адресное пространство в ПЗУ, место для переключателя, измерительные точки и дополнительное техническое обеспечение).

Способность прибора к испытаниям может быть повышена его делением на функциональные узлы. Например, если схему разбить на несколько модулей, минимально зависящих друг от друга, причем каждый модуль собран на собственной

Probably, SA will find most application possibilities in bus-structured systems. These offer considerable operational advantages, however, they can render fault analysis difficult.

The usual problem is: Which integrated circuit puts false data on the bus. This question should not be too difficult to answer, but there exist certain major defects which make the finding of a bus fault almost impossible. Procedures which enable the discovering of a bus defect with the aid of SA will be given later.

Even though the signature analyzer is primarily a service and production trouble-shooting device, it can be of value also in the checking of prototypes and proof samples, provided the correct signatures are known. It can reveal timing errors and excessive settling times of some of the nodes by following the stability of the signatures when the clock rate of the system is changed.

### 13.3. Designing of testable instruments

Good testability of an instrument is not accidental; it must be designed-in. The time to think about serviceability is already at the beginning of the designing phase, before the hardware and software designs are stabilized; then is the correct time to decide upon a full-valued concept of servicing and repair strategy and to make provisions for its implementation [e. g. by allocating space in the ROM store, providing room for switches, measuring points and service hardware].

The testability of an instrument can be enhanced by systematic partitioning of its functional units. For example, splitting-up the circuitry into several mutually minimally dependent modules, each on its own PCB, renders the instrument easier to

ných spojů, získáme snadněji pochopitelný a opravitelný přístroj než v případě masivu navázajícího sítě propojených obvodů na jedné velké desce PS. Mikroprocesorové systémy obecně umožňují takové dělení. Je-li však na takovéto systémy aplikována PA, ztrácejí velké desky PS mnoho ze své spolehlivosti a opět vystoupí do popředí jejich jiné výhody (např. nízká výrobní cena velkých sérií).

Základní složkou testovatelnosti je „samokontrola“. Obvykle je ve formě zkoušek a měření, prováděných přístrojem samým tak, aby se ověřila funkčnost většího obvodu. Posloupnost samokontroly může být nastartována automaticky po zapnutí přístroje nebo stisknutím příslušně označeného tlačítka na panelu. Výsledek typické samokontroly je indikace typu (dobrý — špatný) určena obsluze přístroje. Samokontrola tedy může poskytnout diagnostickou informaci určité úrovni, je-li vyžádána.

#### HLAVNÍ VLASTNOSTI SAMOKONTROLY JSOU:

1. předem upozorní obsluhu na možné problémy
2. přesvědčí obsluhu, že přístroj, o jehož správné funkci měla pochybnost, je ve skutečnosti v pořádku.

Tato druhá vlastnost uchrání rovněž nezkušené zákazníky od zasilání fungujícího (ale značně složitého) přístroje k nepotřebné opravě.

Je-li přístroj shledán vadným, musí být buď opraven nebo vyřazen. Jelikož většina elektronických výrobků není dosud běžně k dispozici, zní problém najít závadu a lokalizovat ji<sup>1</sup>. Byl-li přístroj využit s ohledem na dobrou testovatelnost, bude vět-

platne pevného montáže, to se dostane k tomu, že se pojistí a ještě mohou být použity pro servisní účely. S rozdílem mezi jednotlivými obvody a sítěmi, které jsou využívány v mikroprocesorových systémech, může být výhoda využití samokontroly výrazně větší. Pojistění a sítě mohou být využity pro servisní účely. S rozdílem mezi jednotlivými obvody a sítěmi, které jsou využívány v mikroprocesorových systémech, může být výhoda využití samokontroly výrazně větší.

Osobním členem testovatelnosti je „autokontrola“. Obvykle je v podobě zkoušek a měření, prováděných přístrojem samým tak, aby se ověřila funkčnost většího obvodu. Posloupnost samokontroly může být nastartována automaticky po zapnutí přístroje nebo stisknutím příslušně označeného tlačítka na panelu. Výsledek typické samokontroly je indikace typu (dobrý — špatný) určena obsluze přístroje. Samokontrola tedy může poskytnout diagnostickou informaci určité úrovni, je-li vyžádána.

Osobními vlastnostmi autokontroly jsou:

1. zařízení upozorňuje obsluhu na možné problémy
2. ujednává obslužnou personál v tom, že přístroj, o jehož správnosti bylo podezříváno, je skutečně v pořádku.

Это второе свойство защищает также многих неопытных потребителей от отправления работающего (но очень сложного) прибора на ремонт, который не требуется.

Если прибор считается неисправным, то его следует отремонтировать или списать. Ввиду того, что большинство изделий электроники пока полностью недоступно, то проблема сводится к необходимости определения неисправности и ее местонахождения. Если прибор разработан с уч-

tem, чтобы его можно было легко ремонтировать, то это гораздо проще, чем когда он является массивом взаимосвязанных функциональных блоков, соединенных на общем ПКБ. Микропроцессорные системы позволяют такую разбивку в общем случае. Однако, если для таких систем использовать СА, то крупные платы печатного монтажа не являются столь непривычными для испытаний и снова появляются на первом плане их преимущества (например, низкая себестоимость больших схем).

A basic component of serviceability is "self-testing" which, in the form of tests and measurements carried out by the instrument itself, verifies the functioning of the circuits. The self-testing sequence can be initiated automatically after switching on the instrument, or by depressing the appropriately marked push-button on the front panel. The result of a typical self-testing is the indication good — bad, which is intended for the operator. Thus, self-testing can provide failure diagnosis of a certain degree, if requested.

The main advantages of self-testing are as follows:

1. Draws the operator's attention beforehand to possible problems.
2. Reassures the operator that the instrument which is suspected of malfunctioning is actually quite in order.

This second feature can save also an inexperienced user from sending a well-functioning (but fairly complex) instrument for a repair which is unnecessary.

If an instrument has been found to be faulty, it must be either repaired or discarded. As most electronic products are still not currently available, the aim is to ascertain the fault, to localize it and remedy it. If the instrument has been designed with good serviceability in mind, then most

Sína závad velmi rychle nalezena a opravena. To je okamžik, kdy se naráz vyplatí vše, co bylo vloženo do dobrého návrhu aplikace PA a dokumentace. Kdo však vloží do přístroje schopnost PA? Nejčastěji se vývojář stará o to, aby hardware byl slučitelný se zásadami PA, a servisní inženýr připravuje servisní dokumentaci. Oba pak spolupracují na vytvoření programů testovacích stimulů a na celkové strategii vyhledávání chyb.

Jelikož PA je nová myšlenka, záleží první výsledky ne tom, jak efektivně vývojář využije její principy při návrhu nového přístroje. Zkušenosti, které při tom získá, usnadní návrh dalšího přístroje a prověri je pochopitelně i na vyšší úrovni testovatelnosti.

#### 13.4. Přiznakevý analyzátor BM 578 z hlediska aplikátora PA

Signály START a STOP vstupující do BM 578 zahajují a ukončují měřicí interval [okno, hradlo]. Signál CLOCK synchronizuje vstupy START, STOP a DATA a fidi opakovací kmitočet. Jejich vzorkování tak, že data na nich jsou snímána a posouvána k dalšímu zpracování v každém hodinovém cyklu. Děje se tak vždy na hraně signálu CLOCK — je možno volit náběžnou nebo sestupnou hranu. Vstupy START a STOP pracují tak, že v klidovém stavu čeká BM 578 na hranu signálu START [synchronizovanou signálem CLOCK], bez ohledu na stav či změnu signálu STOP. Touto hranou započne měřicí interval. Pak čeká BM 578 na hranu signálu STOP [synchronizovanou signálem CLOCK] bez ohledu na stav či změnu signálu START. Takto sejmula

tom obespečení horších výsledků, toho, že většina neispravností bude rychle nalezena a opravena. To je moment, kdy se naráz vyplatí vše, co bylo vloženo do dobrého návrhu aplikace PA a dokumentace. Kdo však vloží do přístroje schopnost PA? Nejčastěji se vývojář stará o to, aby hardware byl slučitelný se zásadami PA, a servisní inženýr připravuje servisní dokumentaci. Oba pak spolupracují na vytvoření programů testovacích stimulů a na celkové strategii vyhledávání chyb.

Jelikož PA je nová myšlenka, záleží první výsledky ne tom, jak efektivně vývojář využije její principy při návrhu nového přístroje. Zkušenosti, které při tom získá, usnadní návrh dalšího přístroje a prověri je pochopitelně i na vyšší úrovni testovatelnosti.

#### 13.4. Сигнатурный анализатор BM 578 с точки зрения применения СА

Сигналы СТАРТ и СТОП, вступающие в BM 578, начинают и оканчивают измерительный интервал (вентиля, клапан). Сигнал ТАКТ синхронизирует входы СТАРТ, СТОП и ДАННЫЕ и управляет частотой повторения их стробирования таким образом, что данные снимаются и перемещаются для последующей обработки в каждом такте. Последнее имеет место всегда при переключении фронта сигнала ТАКТ, причем можно выбрать восходящий и нисходящий фронты. Входы СТАРТ и СТОП работают таким образом, что в состоянии покоя прибор BM 578 ждет появления фронта сигнала СТАРТ, синхронизированного сигналом ТАКТ независимо от состояния или изменения сигнала СТОП. От этого фронта начинается измерительный интервал. Затем BM 578 ждет появления фронта сигнала СТОП (синхронизированного сигналом ТАКТ) независимо от состояния или изменения сигнала

defects can be located and repaired speedily. This is the moment when everything invested in the designing-in of SA and preparing documentation will prove lucrative. However, who is responsible for designing SA capability into a new product? Usually the designer takes care to ensure that the hardware is compatible with SA practice, and the service engineer prepares the service documentation; then, both participate in writing the programs of test stimuli and the overall troubleshooting strategy.

As SA is a new idea, the first results depend on how effectively a designer can utilize it in the designing of a new product. The experience he gains with his first SA application will make it easier to design a second type of instrument and obviously will enhance its testability even further.

#### 13.4. The BM 578 signature analyzer employed as an SA applicator

The START and STOP operation signals entering the BM 578 signature analyzer initiate and terminate a measurement interval (window, gate). The CLOCK signal synchronizes the inputs START, STOP and DATA and controls the repetition frequency of data sampling, so that the data on the inputs are sampled and passed on for further processing during every clock cycle. This takes place at the edge of the CLOCK signal; either the rising edge or the falling edge can be selected for triggering. The START and STOP inputs operate so that in the quiescent state the BM 578 instrument waits for the edge of the START signal (synchronized with the CLOCK signal), regardless to the state of or changes in the STOP signal. The measurement interval commences by this edge. Then, the BM 578 signature analyzer waits for the edge of the STOP signal (synchronized with the CLOCK signal), regardless to the state of or chan-

hrana ukončí měřicí interval a současně zobrazí přijatý příznak na displeji. Jako aktivní hranu signalů START i STOP lze opět volit náběžnou nebo sestupnou hranu (případně i těhoz signálu, při spojení START–STOP paralelně). Detailní ohrazení měřicího intervalu je takové, že DATA sejmoutá současně s aktivní hranou START jsou již do příznaku započítána, kdežto DATA sejmoutá současně s aktivní hranou STOP již ne. Příklad reakce vstupních obvodů BM 578 na typické signály je na obr. 8.

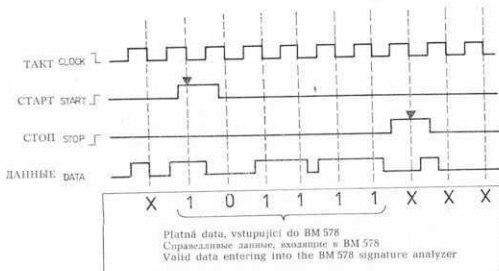
Ukázka funkce vstupních obvodů BM 578

СТАРТ. После принятия этого фронта оканчивается измерительный интервал и одновременно изображается принятая сигнатура на дисплее. В качестве управляющего фронта сигнала СТАРТ и СТОП можно опять выбрать восходящий или нисходящий фронты (например, одного и того же сигнала при параллельном соединении СТАРТ – СТОП). Точное ограничение измерительного интервала является таким, что данные, снятые одновременно с рабочим фронтом СТАРТ, уже включаются в сигнатуру, в то время, как данные, снятые одновременно с появлением рабочего фронта СТОП, уже не включаются в сигнатуру. Пример реакции входных схем BM 578 на типичные сигналы приведен на рис. 8.

Пример работы входных схем BM 578

ges in the START signal. The edge thus sensed terminates the measurement interval and simultaneously presents the received signature on the display. As active (triggering) edge of the START and STOP signals, either the rising edge or the falling edge can be selected (also of the same signal, when START and STOP are connected in parallel). The measurement window is limited in such a manner that the DATA sampled simultaneously with the active edge of START are included in the signature, whereas those sampled simultaneously with the active edge of STOP, are not included. An example of how the input circuits of the BM 578 instrument respond to the typical signals is given in Fig. 8.

Example of the operation of the input circuits of the BM 578 signature analyzer



Obr. 8  
Pic. 8  
Fig. 8

Signály DATA, START a STOP musí být synchronní se signálem CLOCK a stabilní v okamžiku jeho aktivní hranou tak, aby byl dodržen potřebný

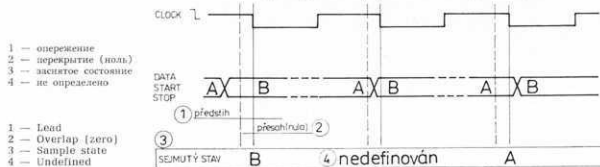
Сигналы ДАННЫЕ, СТАРТ и СТОП должны быть синхронизированы сигналом ТАКТ и устойчивы в момент прохождения его рабочего фрон-

The signals DATA, START and STOP must be synchronous with the active (triggering) edge of the CLOCK signal and must be stable during it;

čas předstihu podle specifikace — viz obr. 9. Zaručovaný přesah dat je nula.

так для того, чтобы обеспечить необходимое время опережения — по спецификации см. рис. 9. Гарантируемое перекрытие данных равно нулю.

the time required for maintaining the specified lead (see Fig. 9) must be ensured. The guaranteed overlap is zero.



Obr. 9  
Рис. 9  
Fig. 9

Potřebný přesah START, STOP, DATA  
Необходимое перекрытие СТАРТ, СТОП, ДАТА  
Required overlap of START, STOP, DATA

Vstupy START, STOP a CLOCK mají jednu rozhodovací úroveň. Napětí nad 1,5 V je považováno za logický stav H, napětí pod 1,5 V za logický stav L.

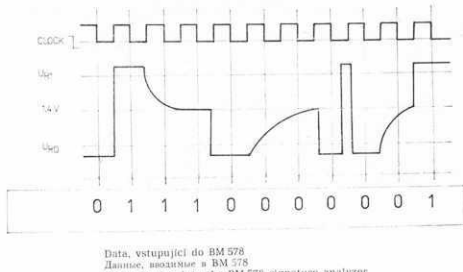
Vstup DATA má dvě rozhodovací úrovně. Mezi aktivními logickými stavů H a L je ještě tzv. neplatný stav (0,8 V – 2 V). Tento stav se snímá vždy, je-li sledovaný uzel ve třetím logickém stavu [odpojený], nebo je-li hrot datové sondy ve vzduchu. To je dánou tím, že vstupní proud sondy je nulový při napětí 1,4 V. Vstupní impedance si lze představit jako odpór  $\approx 50 \text{ k}\Omega$ , zapojený mezi vstup sondy a zdroj napětí 1,4 V, s paralelně připojenou vstupní kapacitou. Jelikož napětí 1,4 V je mezi oběma rozhodovacími úrovněmi, nezpůsobí změnu z aktivního logického stavu na neplatný (nebo na třetí) stav změnu stavu JK klopného obvodu na vstupu BM 578. Vstup zůstane v posledním platném stavu. Obr. 10 ukazuje, jak tento vstupní obvod reaguje na různé signály.

Входы СТАРТ, СТОП и ТАКТ имеют один пороговой уровень. Напряжение, превосходящее 1,5 В считается логическим состоянием H, напряжение ниже 1,5 В считается логическим состоянием L.

Вход ДАННЫЕ имеет два пороговых уровня. Между активными логическими уровнями H и L имеется еще, так называемое, недействительное состояние (0,8 В – 2 В). Это состояние снимается тогда, если исследуемый узел находится в третьем логическом состоянии (отключен) или если наконечник шупа приема данных не подключен. Последнее вызвано тем, что входной ток шупа равен нулю при напряжении 1,4 В. Входное сопротивление можно представить сопротивлением  $\geq 50 \text{ к}\Omega$ , которое подключено между входом шупа и источником напряжения 1,4 В с параллельно подключенной входной емкостью. Вызывая того, что напряжение 1,4 В находится между обеими пороговыми уровнями, изменение активного логического состояния в недействительное (или в третье) состояние не вызывает изменения состояния триггера JK на входе BM 578. Вход остается в последнем действительном состоянии. На рис. 10 показано, каким образом эта входная панель реагирует на различные сигналы.

The inputs START, STOP and CLOCK have one decisive level. The voltage of 1.5 V is considered as logic state H and a lower voltage as logic state L.

The DATA input has two decisive levels. However, between the active logic states H (high) and L (low) is also a non-valid state (0.8 to 2 V). This state is sampled always when the tested node is in its third logic state (disconnected), or when the tip of the data probe is in midair. The reason for this is that the input current of the probe is zero at a voltage of 1.4 V. The input impedance can be considered as a resistance  $\geq 50 \text{ k}\Omega$  connected between the probe input and the 1.4 V voltage supply with the input capacitance connected in parallel. As the voltage of 1.4 V lies between the two decisive levels, a change from an active logic level to a floating (non-valid or third) state does not cause a change in the state of the JK flip-flop circuit at the input of the BM 578 signature analyzer. The input remains in the last valid state. Fig. 10 indicates how this input circuit reacts to various signals.

Obr. 10  
Рис. 10  
Fig. 10

Data, vstupující do BM 578  
Данные, вводимые в BM 578  
Data entering into the BM 578 signature analyzer

Hlavní výhoda, získaná tímto algoritmem, je možnost získat stabilní a opakovatelné příznaky z třístavových uzlů. (Bude-li však uzel připojen přes odpor na napájecí napětí, může rozptýlová kapacita uzel zpozdit přechod do stavu H, a tím způsobit nesouhlasící příznak.)

Vstupní algoritmus nevyžaduje obecně, aby první bit datového řetězce byla „tvrdá jednička“ nebo „nula“. Jestliže však první datový bit do BM 578 (současný s hrancou START) má neplatnou logickou úroveň (např. třetí stav), bude mu přiřazen logický stav posledního bitu s platnou logickou úrovní, sejmětě aktívni hrancou CLOCK ještě před signálem START. Stisknutím tlačítka RESET na datové sondě BM 578 lze asynchronně nastavit poslední platný logický stav na „nulu“.

Основное преимущество, обеспечиваемое этим алгоритмом, — это возможность получать стабильные и повторяющиеся сигнатуры из трехуровневых узлов. (Если узел подключен через сопротивление к напряжению питания, то ѹемкость рассеяния узла может вызвать задержку перехода состояния H и в результате этого вызвать несуществующую сигнатуру.)

Входной алгоритм обычно не требует, чтобы первый бит цепи данных был равен «жесткой единице» или «нулю». Однако, если первый бит данных, входящий в BM 578 (одновременно с фронтом СТАРТ) имеет неправильный логический уровень (например, третье состояние), то ему будет присуждено логическое состояние последнего бита с правильным логическим уровнем, которое было снято активным фронтом ТАКТ еще до появления сигнала СТАРТ. При нажатии на кнопку СБРОС на щупе данных BM 578 можно асинхронно установить последнее действительное логическое состояние, равное «нулю».

The main benefit derived with this algorithm is the possibility of obtaining stable and repeatable signatures from three-state nodes. (If the node should be connected to the powering voltage via a resistance, then the stray capacitance of the node would delay transition into the state H and cause inconsistent signatures.)

The input algorithm generally does not require that the first bit of the data string should be a "hard 1" or "hard 0". However, if the first data bit entering the BM 578 instrument [synchronously with the edge of START] has a non-valid logic level (e. g. the third state), then to it will be allotted the logic state of the last bit which had a valid level and was sampled by the active CLOCK edge before the signal START. By depressing the push-button RESET on the data probe of the BM 578 instrument, the last valid state can be set asynchronously to "zero".

### 13.5. Generování signálů START, STOP, CLOCK

Základní vlastnosti každého měřicího přístroje počítače typu jako BM 578 je, že má zanedbatelný vliv na funkci obvodu, do kterého je připojen. I když vstupy BM 578 mají relativně vysoký vstupní odpor a malou kapacitu, mohou být obvody s velmi malou zatěžovací schopností nepravidelně ovlivněny přidavnou zátěží vstupů BM 578. Může-li taková situace nastat, je dobrým zvykem oddělit řídící signály do BM 578 invertorem pro zajistění předpokládané funkce.

Pro připojení mohou být použity standardní měřicí body, lepší jsou však špičky Ø 0,6–0,7 mm, které umožní přímé nasunutí vodičů hradlovací sondy bez použití zachytávací svorky.

Signály jdoucí do BM 578 musí být přiměřeně čisté na hraniční hodin. Protože rychlosť vstupů BM 578 je stejná nebo větší než rychlosť čehokoli v testovacích obvodech, mohou krátké špičky nebo překmity v okamžiku hrany hodin (testovaném obvodem ignorované) způsobit chyby v odečtu příznaku. Je vhodné přesvědčit se o čistotě signálů, které hodlám použít jako hradlovací. Důkladné zemníní spoje by mely být samozřejmostí – jejich opřomení může rovněž způsobit nesnáze.

Měřicí interval ohrazený signály START a STOP musí být pro všechny testované uzly jednoznačný a synchronní, jinak dojde k vicezávačnosti příznaku. Počet hraničních hodinových signálů uvnitř měřicího intervalu musí být při každém dalším spuštění testu stejný.

### 13.5. Генерирование сигналов СТАРТ, СТОП, ТАКТ

Основным свойством каждого измерительного прибора, аналогичного прибору ВМ 578, является то, что он оказывает пренебрежимо малые воздействия на работу схемы, к которой прибор подключен. Несмотря на то, что входы ВМ 578 обладают относительно высоким входным сопротивлением и малой емкостью все же цепи, требующие очень малую нагрузку, могут быть недопустимо нагружены дополнительной нагрузкой входов ВМ 578. Если такое положение имеет место, то целесообразно отдельно управляющие сигналы, идущие в ВМ 578 с помощью инвертора для обеспечения предполагаемой функции. Для подключения можно использовать стандартные измерительные точки, однако, лучше всего использовать штифты диаметром от 0,6–0,7 мм, которые дают возможность прямого подсоединения проводов ключевого щупа без использования зажима.

Сигналы, идущие в ВМ 578, должны обладать соответственно малым шумом при прохождении фронта тактовых импульсов. Ввиду того, что скорость входов ВМ 578 равна или больше скорости испытываемых схем, короткие выбросы или пики, появляющиеся в момент прохождения фронта тактового импульса, которые игнорируются испытываемым прибором, могут вызвать ошибки при отсчете сигнатуры. Целесообразно убедиться в чистоте сигналов, которые должны быть использованы в качестве ключевых. Тщательные заземляющие соединения — само собой разумеется. В противном случае могут возникнуть затруднения.

Измерительный интервал, ограниченный сигналами СТАРТ и СТОП, должен быть для всех испытываемых узлов однозначным и синхронным, в противном случае имеет место многозначность сигнатуры. Количество фронтов тактового сигнала внутри измерительного интервала должно быть при каждом последующем запуске испытания одинаковым.

### 13.5. Generating of the signals START, STOP, CLOCK

A basic property of all the measuring instruments of similar type as the BM 578 signature analyzer is that they have a negligible influence on the operating circuit to which they are connected. Even though the inputs of the signature analyzer represent a relatively high input resistance and low capacitance, circuits which have only very low drive capabilities, may be affected by any additional loading due to the inputs of the BM 578 instrument. If this situation is likely to occur, it is advisable to separate the control signals going to the BM 578 instrument by means of an inverter gate, so as to ensure predictable operation.

For connection, the standard test points are applicable. However, tags of Ø 0,6 to 0,7 mm are better, as they enable the test leads of the gating probe to be connected directly without the test clips.

The signals entering the BM 578 signature analyzer must be adequately clean at the clock edge. As the input speed characteristics of the BM 578 instrument are the same as, or higher than, the speed of anything in the test circuits, short peaks or overshoots at the instant of the clock edge (which may be ignored by the tested circuit) can result in an error in the reading of a signature. It is advisable to ensure that the signals to be employed for gating are clean. Substantial earth leads are an obvious prerequisite; the neglecting of this rule can also cause many difficulties.

The measurement window framed (i. e. determined) by the signals START and STOP must be unambiguous and synchronous for all the tested nodes, otherwise an ambiguous signature would be created. The number of clocking edges in the measurement window must be the same at each further test.

Svorky hradlovac sondy, tj. CLOCK, START a STOP zůstávají obvykle na stálých místech během mnoha (nebo všech) snímání příznaků datovou sondou. Tim se velká část příznakové analýzy obvodu zjednoduší na pouhé přesouvání datové sondy z uzlu na uzel. Zemní počtu testů, v nichž je třeba měnit připojení START, STOP a CLOCK na minimum, může vést ke zjednodušení postupu vyhledání chyb. Záleží hlavně na obvodovém řešení přístroje, do jaké míry to půjde uskutečnit.

Nejčastějším místem připojení vstupu CLOCK BM 578 je ta fáze hodinového systému testovaného přístroje, při které jsou stabilní adresové i datové linky.

Typickými zdroji signálů START a STOP jsou adresové linky, adresové dekódery, ovládací vstupy integrovaných obvodů (chip enable), linky povolení přerušení, dále programové flízené „vlajky“, datové registry, I/O porty atd. Je však třeba mít na paměti, že čím větší část obvodu bude použita na generování START a STOP, tím větší bude pravděpodobnost, že závada bude právě v této části obvodu. V tom případě není možné závadu lokalizovat, protože budou samozřejmě chybné všechny příznaky. Je vždy lepší, když se na generování START a STOP podílí jen malá část obvodu přístroje. Je také nutné zajistit, aby funkce této části přístroje byla ověřena nejdříve.

Jsou-li jako START a STOP použity signály „chip enable“, které v sobě mají zakodovaný hodinový signál, je třeba dát pozor, zda hrana CLOCK BM 578 je s ním ve fázi. Není-li tomu tak [jak se často stává], může nastat případ, že měřicí interval bude trvat pouze jeden hodinový cyklus (což je sice

Základními klíčovými šuplami, t. e. TAKT, START a STOP, zůstávají obvykle na stálých místech během mnoha (nebo všech) snímání příznaků datovou sondou. Tim se velká část příznakové analýzy obvodu zjednoduší na pouhé přesouvání datové sondy z uzlu na uzel. Zemní počtu testů, v nichž je třeba měnit připojení START, STOP a CLOCK na minimum, může vést ke zjednodušení postupu vyhledání chyb. Záleží hlavně na obvodovém řešení přístroje, do jaké míry to půjde uskutečnit.

Samým častým místem podkládání vstupa TAKT BM 578 je vždy ta fáza takto v systému testovaného přístroje, při které jsou stabilní adresové i datové linky. Típicky jsou zdroji signálů STAP a STOP, když jsou využívány adresové linky, adresové dekódery, ovládací vstupy integrovaných obvodů (chip enable), linky povolení přerušení, dále programové flízené „vlajky“, datové registry, I/O porty atd. Je však třeba mít na paměti, že čím větší část obvodu bude použita na generování START a STOP, tím větší bude pravděpodobnost, že závada bude právě v této části obvodu. V tom případě není možné závadu lokalizovat, protože budou samozřejmě chybnej všechny příznaky. Je vždy lepší, když se na generování START a STOP podílí jen malá část obvodu přístroje. Je také nutné zajistit, aby funkce této části přístroje byla ověřena nejdříve.

Jsou-li jako START a STOP použity signály „chip enable“, které v sobě mají zakodovaný hodinový signál, je třeba dát pozor, zda hrana CLOCK BM 578 je s ním ve fázi. Není-li tomu tak [jak se často stává], může nastat případ, že měřicí interval bude trvat pouze jeden hodinový cyklus (což je sice

The terminals of the gating probe, i. e. CLOCK, START and STOP, usually remain connected to the same points during several (or even all) signature samplings with the data probe. Thus, much of the SA of the circuitry is simplified to only repositioning the data probe from node to node. The reduction to minimum of the number of tests for which the connections START, STOP and CLOCK must be altered, can result in simplification of the process of fault-finding. Much depends on the circuit design of the instrument under test, how far this simplification is feasible.

Most often the point for connecting the CLOCK input of the BM 578 signature analyzer is that phase of the clock system of the instrument under test, at which the address and data lines are stable.

Typical START and STOP signal sources are: address lines, address decoders, chip enable inputs of integrated circuits, interrupt acknowledge lines and program-controlled flags, data latches and output I/O ports, etc. However, it must be borne in mind that the larger the part of the circuitry employed for generating the START and STOP signals, the greater is the probability that the sought defect is in this [employed] part of the instrument under test. In such a case, the defect will resist locating, as obviously all the signatures will be false. It is always best when only a small part of the circuitry takes part in the generating of the START and STOP signals. Also it is necessary to verify the correct operation of this part of the instrument beforehand.

When "chip enable" signals are used which have clock data encoded on them for START and STOP signals, it is essential to be very careful, as when the input CLOCK edge of the BM 578 instrument is not in phase with them [as is often the case], it can happen that the measurement window is only one clock cycle long (which is an acceptable state for the BM 578 signature analyzer, but

možný stav analýzatoru BM 578, avšak nepříliš použitelný pro testování). Je-li však ve fázi, je možno příslušný „chip enable“ jako START či STOP použít.

Pro vytvoření určitého měřicího intervalu je někdy nutný přídavný hardware. I když je většinou možné vyhnout se tomu pečlivým rozvržením adresových polí, bývá někdy přidání dekóderů, čítačů či jiných obvodů praktické pro definování specifických START—STOP intervalů. Jedna z nových technik generování signálů START a STOP je dekódování softwarového zápisu na adresu ROM.

Jestliže jsou do systému zabudovány pferušení, obnovovací cykly paměti, či jiné asynchronní jevy, které nemohou být s testovací funkcí vyloučeny, bývá v tomto systému často i hardware generující speciální „hodiny platných dat“ (právě tak vytváří většina mikroprocesorů signál „adresy platné“, který může být použit k hradlování hodinového signálu).

BM 578 pak vzorkuje data pouze tehdy, jsou-li stabilní a platná. Rovněž může být použito vypínání signálu CLOCK v těch časových intervalech, kdy je příjem dat nežádoucí. Často bývá tento signál v systému k dispozici (clock qualifier).

Datové řetězce snímané datovou sondou uvnitř měřicího intervalu musí být přesně opakovatelné, aby se zajistilo snímání souhlasných příznaků v každém START—STOP intervalu. Obecně je nejlepší získávat signály START a STOP z co největší blízkosti mikroprocesoru nebo fidiče pro omezení možností ovlivnění vstupů START a STOP BM 578

analýzatora BM 578, ale ne sliškem účebně (pro testování). Odíkno, že signály souplňují po fáze, to může být využito pro definování signálu «chip enable» v kvalifikaci signálu START či STOP.

Pro vytvoření určitého měřicího intervalu je někdy nutný přídavný hardware. I když je většinou možné vyhnout se tomu pečlivým rozvržením adresových polí, bývá někdy přidání dekóderů, čítačů či jiných obvodů praktické pro definování specifických START—STOP intervalů. Jedna z nových technik generování signálů START a STOP je dekódování softwarového zápisu na adresu ROM.

Ještě v systému jsou programovány průjevy, cykly obnovy paměti, či jiné asynchronní jevy, které nemohou být s testovací funkcí vyloučeny. Nесмотря на то, что в большинстве случаев можно избежать такой необходимости путем тщательного распределения адресных полей, иногда добавление декодирующих устройств счетчиков или других схем является практичным для определения специфических интервалов СТАРТ, СТОП. Одна из новых техник генерирования сигналов СТАРТ и СТОП заключается в декодировании программной записи на адресе ПЗУ.

Ještě v systému jsou programovány průjevy, cykly obnovy paměti, či jiné asynchronní jevy, které nemohou být s testovací funkcí vyloučeny. Несмотря на то, что в большинстве случаев можно избежать такой необходимости путем тщательного распределения адресных полей, иногда добавление декодирующих устройств счетчиков или других схем является практичным для определения специфических интервалов СТАРТ, СТОП. Одна из новых техник генерирования сигналов СТАРТ и СТОП заключается в декодировании программной записи на адресе ПЗУ.

is not very useful for test purposes). However, a "chip enable" with clock data encoded on it at correct phase relations can be useful as a source of START and STOP.

In order to generate a particular measurement window, sometimes additional hardware is required. Although this can be mostly avoided by careful field mapping, the addition of decoders, ring counters, or other circuits, is sometimes practical for defining specific START—STOP windows. A new technique for generating START and STOP signals is the decoding of a software "write" to a ROM address.

If interrupts, store refresh cycles, or other asynchronous occurrences are integral to the circuitry being tested and cannot be eliminated from the test mode, often hardware is included in such a system and will generate a special "valid data clock" signal [just as a "valid address" signal is provided by the majority of microprocessors and can be used for gating the clock signal]. Then, the BM 578 signature analyzer would sample data only when they are valid and stable. It is possible also to gate-off the CLOCK signal during such time intervals when data input is not desired. Often, these required gated signals are already available (clock qualifier) in the system. The data strings sampled by the data probe during the measurement window must be repeatable exactly, in order to ensure the sampling of consistent signatures during each START—STOP window. In general, it is best to gain the START and STOP signals as close as possible to the microprocessor or controller, in order to reduce the possibility of influencing the START and STOP inputs of the BM 578 instrument by hardware faults. An ideal source is e. g. an unused high-

chybami v hardwaru. Ideálním zdrojem jsou např. nepoužité vyšší řady adresních linek mikroprocesoru. Je možné i spojít START a STOP paralelně a tím zjednodušit připojení BM 578 do testovaného přístroje.

I když i jediný START—STOP interval může poskytnout platný příznak, vyhledávání chyb je rychlejší s cyklickým opakováním signálu. Jednorázové snímání příznaku najde uplatnění při sledování skutečně jednorázových dějů [např. procedura zapnutí přístroje, některá pferušení, aj.].

### 13.6. Inicializace jednotlivých testů

Prostředky (hardwarové či softwarové) pro generování různých soustav testovacích signálů zkoušejících jednotlivé části systému musíme postupně uvádět v činnost. Možnosti startování samokontroly, testovacích funkcí PA, či volnoběhu jsou omezeny pouze vynalézavostí vývojáře. Pro samokontroly a testy PA je nutné nastartovat program v té části ROM, která není v běžném provozu systému používána.

Následuje několik vhodných metod:

— Výměna stávající ROM za jinou, obsahující testovací program. V tomto případě je nutno nejdříve stávající ROM [v obýmci] ověřit ve volnoběhu a teprve potom zaměnit za jinou. Startovací adresa testovacího programu musí být totičná se startovací adresou normálního programu. Hlavní nevýhodou této metody je to, že pro testování přístroje je nutno mít k dispozici příslušnou testovací ROM a také to, že při manipulaci s citlivými MOS pamětími může dojít k jejich zničení.

BM 578. Ideálným источником является, например, неиспользуемые более высокие разряды линий адресов микропроцессора. Можно также соединить СТАРТ и СТОП параллельно, в результате чего упрощается подключение BM 578 к испытываемому прибору. Несмотря на то, что и один интервал СТАРТ—СТОП может дать правильную сигнатуру, процесс отыскания неисправностей проходит быстрее при циклическом повторении стимула. Однократное снятие сигнатуры находит применение при исследовании действительно однократных явлений (например, процессы включения прибора, некоторые прерывания и т. д.).

### 13.6. Инициализация отдельных испытаний

Средства (технические или программные) для генерирования различных систем испытательных стимулов, проверяющих отдельные части системы, должны вводится в ход постепенно. Возможности запуска автоконтроля, испытательных функций СА или свободного хода ограничены только изобретательностью разработчика. Для автоконтроля и испытаний СА необходимо запускать программу в той части ПЗУ, которая при обычной работе системы не используется. Ниже приводятся несколько подходящих методов:

— Замена существующего устройства ПЗУ другим, содержащим испытательную программу. В этом случае необходимо сначала существующее устройство ПЗУ (в панели) проверить в режиме свободного хода и только после этого заменить другим. Адрес старта испытательной программы должен совпадать с адресом старта нормальной программы. Основным недостатком этого метода является то обстоятельство, что для испытания прибора необходимо иметь в распоряжении соответствующее испытательное устройство ПЗУ, а также то, что при манипуляции с чувствительными микросхемами МОП может иметь место их повреждение.

-order address line of the microprocessor. Also it is possible to interconnect the START and STOP lines in parallel and thus to simplify connection of the instrument under test to the BM 578 signature analyzer.

Even though already a single START—STOP window can provide a valid signature, trouble-shooting is speedier when cyclic repetition of the stimulus is used. One-shot signature sampling finds application when actual one-shot occurrences are being followed [e. g. the process of switching-on an instrument, certain interrupts, etc.]

### 13.6. Initiating individual tests

The means [hardware or software] generating various strings of test stimuli for verifying the individual parts of the system must be set in operation successively. The possibilities of self-testing, function testing by SA, and free running, are limited only by the designer's inventiveness. In the self-testing or SA test mode it is necessary to start the program in that part of the ROM store which is not used in normal operation of the system.

Some methods suitable for the purpose are as follows:

— Exchange of the existing ROM store by another one containing the test program. In this case, the existing ROM store (plugged into the socket) must be verified as good in the free-running test and only then replaced by another one. The starting address of the test program must be identical with the starting address of the normal program. The main disadvantages of this method are that, in order to deal with the instrument under test, it is necessary to have a test ROM store, and that during manipulation with sensitive MOS stores [insertion and removal] they can easily incur damage.

- Použití tzv. servisního spínače (propojky, svorky) v přístroji nebo v testovacím přípravku.

Tento spínač může provést:

- a) přeadresování určité části ROM obsahující testovací program
  - b) aktivování přerušení, jehož obslužný program obsahuje příslušný test
  - c) změnu stavu vstupního portu, který je v dotazovací smyčce mikroprocesoru
  - d) zablokování RAM, do které program v každé smyčce zkouší zapsat nuly. Ze zablokované paměti dostane zpět (vlivem odporu na +5 V) jedničky.
- 
- Sdílení tlačítek vybavujících normálně jiné funkce. Např. adresovací tlačítka modulu IEC interfejsu mohou být použita pro výběr různých testovacích programových smyček, jsou-li přistupná přes software.
- 
- Připojení testovací ROM k datové sběrnici více-násobnou propojkou. Např. vyuvedeme datovou sběrnici na přímý konektor na stranu součástek desky PS a výstupy testovací ROM na tentýž konektor na stranu spojů. Připojení testovací ROM pak lze provést nasunutím konektoru s propojenými horními a spodními špičkami. Vývod může současně sloužit jako měřicí body datové sběrnice.

- Program samokontroly je možné startovat automaticky při každém zapnutí přístroje nebo tlačítkem [či nepoužitou kombinací tlačítek] na panelu.

— Использование, так называемого, выключателя технического обслуживания (перемычки, зажимы) в приборе или в испытательном приспособлении. Этот выключатель может осуществлять:

- а) изменение адреса определенной части ПЗУ, содержащей испытательную программу
- б) активацию прерывания, программа обслуживания которого содержит соответствующее испытание
- в) изменение состояния входа, который находится в петле запроса микропроцессора
- г) блокировку ОЗУ, в котором программа при каждой петле проверяет запись нулей. Из заблокированного запоминающего устройства получает обратно (под влиянием сопротивлений, подключенных к напряжению +5 В) единицы.

— Использование кнопок, которые нормально управляют другими функциями. Например, кнопки адресации модуля МЭК интерфейса могут быть использованы для выбора различных испытательных программных петель, если они доступны через математическое обеспечение.

— Подключение испытательного ПЗУ кшине данных с помощью многократного соединения. Например, вывести шину данных к прямому коннектору со стороны деталей платы печатного монтажа и выходы испытательного ПЗУ подвести к тому же коннектору со стороны соединений. Подключение испытательного ПЗУ можно затем осуществить путем подключения коннектора с соединенными верхними и нижними штифтами. Выход может одновременно служить в качестве измерительных точек шины данных.

— Программа автотеста может запускаться автоматически при каждом включении прибора или с помощью кнопки на панели (или с помощью неиспользуемой комбинации кнопок).

— Use of a so-called service switch (jumpers, terminals) in the instrument or in the test jig. This switch can be used for carrying out the following:

- a) Redressing a certain part of the ROM store which contains the test program.
- b) Activation of an interrupt, the service program of which contains the appropriate test.
- c) Changing the state of an input port which is in the interrogate loop of the microprocessor.
- d) Disabling a RAM store into which the program at each loop attempts to store "zeros", and from which disabled store "ones" are read back [due to the resistors to +5 V].

— Sharing of push-buttons used normally for evoking other functions in the instrument. For example, the addressing push-buttons of an IEC interface module can be employed for selecting various test program loops if they are accessible via software.

— Connection of a test ROM store to the data bus by means of a multiple jumper. For example, the data bus is brought out to an edge connector on the side of components of the PCB and the test ROM store outputs to the same connector at the side of connections. Then connection of the test ROM store to the data bus can be carried out by sliding on a connector with short-circuited top and bottom tags. The mentioned outlets can serve conveniently as measuring points for examining the data bus.

— The self-testing program can be started automatically at each switching on of the instrument, or it can be initiated by means of a push-button [or an unused combination of push-buttons] on the panel.

- Dovoluje-li to prostor, může být deska PS návržena tak, že ji lze vymout a zasunout zpět do téhož konektoru opačnou stranou nebo (při použití přímého konektoru) toutéž stranou, ale obráceně. Jiné zapojení určitých špiček konektoru pak odstartuje testovací program.
- Pro výběr jednotlivých testů mohou být použita tlačítka na předním panelu, zajišťující jinak normální funkci přístroje. Znamená to však, že jistá část hardwaru musí zůstat stále ve funkci.
- Pokud je možné, může být použitý prostor mezi deskou PS a zadním panelem, aby bylo možné desku PS vymontovat a znova vložit do stejného konektoru, ale s opačnou polohou. Tento způsob využívání konektoru může však způsobit, že program testovacího počítače se nezavolá, když je deska PS vložena do konektoru s opačnou polohou.
- Pokud je prostor mezi deskou PS a zadním panelem nedostatečný, může být použitý prostor mezi deskou PS a zadním panelem, aby bylo možné desku PS vymontovat a znova vložit do stejného konektoru, ale s opačnou polohou. Tento způsob využívání konektoru může však způsobit, že program testovacího počítače se nezavolá, když je deska PS vložena do konektoru s opačnou polohou.

### 13.7. Volný běh

Volného běhu lze dosáhnout několika způsoby. Normální aktivita datové sběrnice mikroprocesorového systému musí být zbavena možnosti vstupovat do mikroprocesoru a nahrazena instrukcí umožňující volnoběh (tzv. prázdné instrukce, např. NOP; MOV A, A aj.). Nejvhodnější metodou je mechanické rozpojení sběrnice spínači, mnohonásobnou propojkou nebo vyjmoutí sběrnicových budíčů z objímek. Metody typu zablokování sběrnicových budíčů přináší možnost, že případná závada spolupracujících obvodů znemožní volnoběh. Taková závada však může být obvykle lokalizována datovou sondou BM 578 použitou ve funkci logické sondy. (Před rozhodnutím o použití určitého spínače či propojky je nutné znát jeho spolehlivost.)

Nejčastější metodou „vnucení“ prázdné instrukce do odpojeného (plovoucího) vstupu mikroprocesoru jsou odpory na +5 V a současně pro vytvoření kódu požadované instrukce bud'

### 13.7. Svobodný chod

Svobodný chod může být zajištěn různými způsoby. V mikroprocesorovém systému musí být řízení datového systému vypnuto a nahrazeno instrukcí, která umožňuje volnoběh. Například, použití instrukcí — NOP, MOVA, A a t. p. Nejzákladnějším způsobem je mechanické rozpojení sběrnice spínači, mnohonásobnou propojkou nebo vyjmoutí sběrnicových budíčů z objímek. Metody typu zablokování sběrnicových budíčů mohou způsobit, že případná závada spolupracujících obvodů znemožní volnoběh. Taková závada však může být obvykle lokalizována datovou sondou BM 578 použitou ve funkci logické sondy. (Před rozhodnutím o použití určitého spínače či propojky je nutné znát jeho spolehlivost.)

Samým častým způsobem vložení prázdné instrukce do odpojeného (plovoucího) vstupu mikroprocesoru jsou odpory na +5 V a současně pro vytvoření kódu požadované instrukce bud'

If space permits, a certain PCB can be designed so that it can be withdrawn from and re-inserted into the same connector socket either by the opposite edge, or by the same edge, but turned to the other side (if an edge-connector is used), thus causing the service program to run due to the altered connections of the connector socket.

For selecting the individual test modes, the push-buttons on the front panel, which serve for normal instrument operation, can be used also. However, in this case, it is assumed that a certain part of the hardware must remain operative all the time.

### 13.7. Free running

This mode of operation can be accomplished in several ways. In a microprocessor system, the normal data bus activity must be cut off from entering the microprocessor and replaced by an instruction enabling it to run freely (so-called empty instructions, e. g. NOP, MOV A, A, etc.). The most dependable method of opening the bus is mechanical, by using switches, a multiple jumper, or by removing bus driving components from their sockets. Methods consisting of blocking the bus drivers, can mean the possibility that a defect in the co-operating circuits will prevent free running. However usually such a defect can be located by using the logic function of the data probe of the BM 578 signature analyzer. (Before deciding to use certain switches or jumpers, it is essential to verify their dependability.)

The most frequently applied method of "forcing" empty instructions into the isolated (floating) input of a microprocessor is the use of pull-up resistors to +5 V. Simultaneously, the code of the required instruction can be created as follows:

- uzemnit příslušné linky přes jeden spínač (propojku) a několik diod nebo
- přepojit některé odpory z +5 V na zem.

Některé mikroprocesory samy interpretují vstup z plovoucí sběrnice jako vhodnou prázdnou instrukci.

U malých systémů se zanedbatelnou kapacitou sběrnice může být vhodné ponechat odpory na +5 V trvale. Získá se tím jednoznačně definování stavu plovoucí sběrnice, případně i zrychlení náhěnných hran signálu. Podrobnejší viz dálé.

K volnému běhu procesorů, u nichž je datová sběrnice buďto ukryta v čipu (např. F-8) nebo sdílena s adresovou sběrnicí (např. 8048, SCMP), je nutno použít jiné prostředky. Např. může část ROM na čipu obsahovat programovou smyčku volnoběhu (případně i samokontrolu i dalších testů PA). Je-li však na čipu umístěna i celá uživatelská ROM, ztrácí volnoběh reálný význam. Je vhodnější nahradit jej, přímo testy PA. Závada jádra se stejně projeví tím, že testovací programy nepoběží. Výběr testu může být proveden použitím vstupních nebo pfeřušovacích linek do mikropočítače na čipu.

Je třeba varovat před používáním nedefinovaných kódů instrukcí pro volnoběh. Provádění takovýchto instrukcí není zaručeno a může se u téhož procesoru různých výrobců lišit. Navíc může výrobce v budoucnu použít právě tento dosud nedefinovaný kód pro novou uživatelskou či diagnostickou instrukci.

Volnoběh je snadno proveditelný u mikroprocesorových systémů. To platí obecně i pro takové typy systémů, které používají čítač pro řízení aktivity. Není-li zde čítač (např. některé ASM), bývá vhodné navrhnut přípravek s čítačem, který nahradí

- zazemlení odpovídající linie přes jeden vypínač, skříňku nebo několik diod
- překlopnutí některých sопротивлений от +5 В к земле.

Некоторые микропроцессоры сами переводят вход от плавающей шины в подходящую пустую инструкцию. В случае малых систем с пренебрежимо емкостью сборной шин может оказаться целесообразным подключением постоянно сопротивлений к +5 В. В результате этого получается однозначное определение состояния плавающей шины, а также ускорение передних фронтов сигнала. Более подробно см. ниже.

Для свободного хода процессоров, шина данных которых скрыта в микросхеме (например, F-8) или совмещена с шиной адресов (например, 8048, SCMP), необходимо использовать другие способы. Например, часть ПЗУ микросхемы может содержать программную петлю свободного хода (или автотеста) и других испытаний СА). Однако, если в микросхеме установлено и целое потребительское ПЗУ, то свободный ход теряет практическое значение. Целесообразно, заменить его непосредственно испытаниями СА. Неизправность ядра также проявляется в том, что испытательные программы не будут работать. Испытания можно выбрать путем использования входных линий или линий прерываний в микро-ЭВМ на чипе.

Необходимо избегать использования неопределенных кодов инструкции для свободного хода. Выполнение таких инструкций не гарантируется и может быть различным у того же процессора различных изготовителей. Кроме того, изготовитель может в будущем использовать именно этот пока неопределенный код для новой потребительской и диагностической инструкции.

Свободный ход легко осуществляется в микропроцессорных системах. Это справедливо в общем виде и для таких типов систем, которые используют счетчик для управления работой. При отсутствии счетчика (например, некоторые ASM)

- By earthing the appropriate lines via a switch, jumper and several diodes, or
- By changing over some of the resistors from +5 V to earth.

Some microprocessors themselves interpret an input from the floating bus as an empty instruction. In small systems of negligible bus capacitance, it can be advantageous to leave the pull-up resistors permanently at +5 V. Thus, an unambiguously defined state of the floating bus is obtained, or also acceleration of the signal leading edges. More details will be given further.

In order to accomplish free running of a microprocessor, the data bus of which is either buried in a chip (e. g. F-8), or shared with the address bus (e. g. 8048, SCMP), other means must be used. For example, part of the ROM store on the chip can contain the program loop of free running (and/or self-testing and other SA programs). However, if also the whole user's ROM store is housed on the chip, free running may lose its real benefit; it is better to replace it by direct SA tests. A defect in the kernel manifests itself anyway by the fact that the test programs do not run. Test selection can be accomplished by the use of input or interrupt lines to the microprocessor on the chip.

An undefined code of instruction for free running must not be used. Its operation is not guaranteed and can differ in processors of various makes. Also, it is possible that in the future the makers will employ exactly this hitherto undefined code for a new user's or diagnostic instruction.

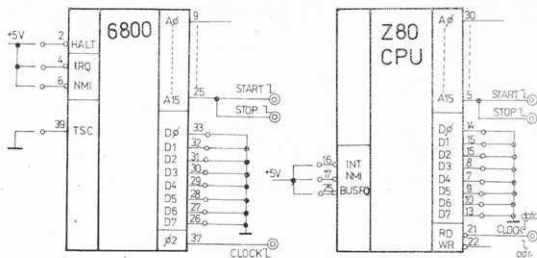
It is easy to design free running into a microprocessor system. This applies also in general to such types of systems which employ counters for directing the system activity. If a counter is not used (as in some algorithmic state machines),

Na IQ 8080 uzemnit šp. 13 HLD  
14 INT

START      ⇩  
STOP      ⇩  
              pripojit na šp. A15

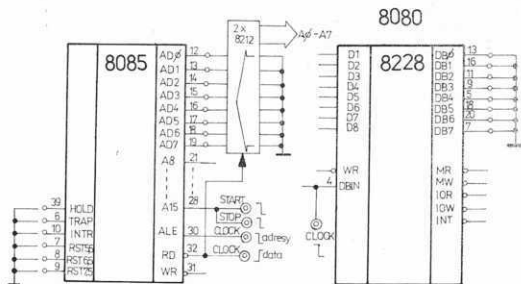
Для IQ 8080 заземлить штифты 13 HLD  
14 INT

СТАРТ      ⇩  
СТОП      ⇩  
              подключить к шт. A15



On IQ 8080 earth the tags 13 HLD  
14 INT

START      ⇩  
STOP      ⇩  
              connect on tag A15



Obr. 11 — [Nejsou zakresleny všechny vývody IO]

Рис. 11 — (Не указаны все выводы IO)

Fig. 11 — {All the outlets of the integrated circuits are not indicated.]

nebo rozšíří standardní obvody a vytvoří simulovaný stimul volnoběhu [viz kapitola 13.19].

K přepnutí některých známých procesorů na volný běh je možno použít námětu na obr. 11. Příznaky v tabulce 5 platí pro adresové linky všech procesorů s šestnáctibitovou adresovou sběrnici.

Tab. 5

A0	UUUU	A8	HC89
A1	5555	A9	2H70
A2	CCCC	A10	HPP0
A3	7F7F	A11	1293
A4	5H21	A12	HAP7
A5	0AFA	A13	3C96
A6	UPFH	A14	3827
A7	52F8	A15	755U

### 13.8. Procesory

Základním předpokladem SA je správná funkce alespoň základního jádra testovaného systému, tj. procesoru a jeho obslužných obvodů (generátora hodinového signálu, řídící logiky sběrnic aj.). Je tedy nutné při použití SA k hledání chyby nejdříve ověřit funkci tohoto jádra.

Již odpovídající příznaky všech adresových výstupů procesoru při volnoběhu dávají [podle statisticky závad procesorových čipů] značnou pravděpodobnost správné funkce. Tím je vlastně ověřena schopnost procesoru adresovat kterékoli místo z celého adresového prostoru.

целесообразно создать приспособление со счетчиком, которое заменяет или расширяет стандартные схемы и создает имитацию стимула свободного хода (см. п. 13.19).

Для переключения некоторых известных процессоров в режим свободного хода можно использовать информацию, данные на рис. 11. Сигнатуры в таблице 5 действительны для линий адресов всех процессоров с шестнадцатибитовой адресной шиной.

Таблица 5

A0	UUUU	A8	HC89
A1	5555	A9	2H70
A2	CCCC	A10	HPP0
A3	7F7F	A11	1293
A4	5H21	A12	HAP7
A5	0AFA	A13	3C96
A6	UPFH	A14	3827
A7	52F8	A15	755U

### 13.8. Процессоры

Основным условием СА является правильная работа хотя основного ядра испытываемой системы, т. е. процессора и его обслуживающих схем (генератора тактового сигнала, управляющей логики шин и т. д.). Следовательно, при использовании СА для отыскания неисправности необходимо сначала проверить работу этого ядра.

Уже соответствующие сигнатуры всех адресных выходов процессора при свободном ходе дают (по статистике неисправностей процессорных чипов) значительную вероятность правильной работы. На этом собственно проверена способность процессора к адресации определенного места из всего пространства адресов.

sometimes it is suitable to design a jig with counter which replaces or extends the standard circuitry and produces a simulated free running stimulus (see details about ASM in item 13.19).

For switching over some of the known processors to the free running mode, the suggestions shown in Fig. 11 can be used. The signatures in Table 5 apply to the address lines of all the processors which have 16-bit address buses.

Table 5.

A0	UUUU	A8	HC89
A1	5555	A9	2H70
A2	CCCC	A10	HPP0
A3	7F7F	A11	1293
A4	5H21	A12	HAP7
A5	0AFA	A13	3C96
A6	UPFH	A14	3827
A7	52F8	A15	755U

### 13.8. Processors

A basic prerequisite for SA is the correct functioning of at least the kernel of the tested system, i.e. of the processor and its service circuits (clock generator, control logic of the buses, etc.). Therefore, in trouble-shooting using SA, first of all the correct operation of the kernel must be verified.

Already the appropriate signatures of all the address outputs of the processor during free running indicate (according to the failure statistics of processor chips) that its operation is most probably correct. Thus, the capability of the processor of addressing any location in the address field is verified.

Další funkce procesoru již nelze ověřovat ve volném běhu. Do programu samokontroly a také do programu generování stimulů pro PA se obvykle zařazuje podprogram zkoušející jednotlivé registry procesoru. Algoritmus je stejný jako při zkoušení paměti RAM (viz kapitola 13.13. Paměti RAM). Zkouší se většinou schopnost registrů uchovat jedničku či nulu v každém bitu a neexistenci vazeb mezi jednotlivými registry. Stimulom je v tomto případě postupný zápis každého bajtu z testovací posloupnosti do všech registrů a jeho opětovné přečtení. V případě samokontroly se zapasné a přečtené bajty porovnávají a výsledek předává k vyhodnocení. V případě generování stimulu pro PA stačí každý přečtený bajt okamžitě předat na sběrnici, např. vysíláním na fiktivní (neexistující) adresu. Porovnání již provede servisní technik s pomocí BM 578.

V dokonalých testech je možno (pokud je to únosné z hlediska délky programu) i vyzkoušet celý instrukční soubor procesoru. Vytvoření takového testu však již vyžaduje značnou zkušenosť a podrobrou znalost vnitřní struktury a funkce procesoru.

Většinou se u menších systémů z ekonomických důvodů předpokládá (s poměrně značnou jistotou), že procesor schopný volného běhu a s fungujícími registry je v pořádku.

### 13.9. Sběrnicové struktury

Mikroprocesory [ $\mu$ P] a ASM jsou pružné a výkonné díky sběrnicové struktuře. Z hlediska hardwaru je sběrnicová organizace jednoduchá a jasná, avšak jakmile je systém v chodu, stane se tok dat na sběrnici složitou záležitostí. Zkušení vývojáři dovedou

posledující funkci procesoru už ne mohou provézt v režimu svobodního běhu. Do programu samokontroly, a také do programu generování stimulů pro SA obvykle vводится подпрограмма, проверяющая отдельные регистры процессора. Алгоритм является таким же, как и при испытании запоминающего устройства ОЗУ (см. п. 13.13. «Запоминающие устройства ОЗУ»). В большинстве случаев проверяется способность регистров сохранять единицу или ноль в каждом бите и несуществование связей между отдельными регистрами. Стимулом в этом случае является постепенная запись каждого байта из испытательной последовательности во все регистры и его повторное считывание. В случае автоконтроля записанные и прочитанные байты сравниваются, а результат передается для обработки. В случае создания стимула для SA достаточно каждый снятый байт немедленно передать на шину, например, путем передачи на фiktivnyj (несуществующий) адрес. Сравнение уже осуществляется работником технического обслуживания с помощью BM 578.

В совершившихся испытаниях можно (если это приемлемо с точки зрения длины программы) проверить весь набор инструкций процессора. Создание такого испытания нуждается уже в значительном опыте, а также в подробном знании внутренней структуры и работы процессора.

В большинстве случаев в меньших системах предполагается по экономическим соображениям (при относительно большой степени уверенности), что процессор, который способен работать в режиме свободного бěhu s работающими регистрами, является работоспособным.

### 13.9. Структуры шин

Микропроцессоры (МК) и ASM являются гибкими и высокопроизводительными благодаря структуре шин. С точки зрения технического оснащения организация в виде шин является простой и ясной, однако, как только система ра-

Other functions of the processor cannot be proved in the free running mode. It is usual to insert into the self-testing program and also into the program of stimuli generating for SA a sub-routine for testing the individual registers of the processor. The algorithm is the same as when RAM stores are tested (see item 13.13.). In the majority of cases, the test verifies the capability of retaining a "one" or a "zero" in each bit, as well as the freedom from interactions between the individual registers. In this case, the stimulus is the successive entry of each byte from the test sequence into all the registers and their reading. In the case of self-testing, the entered and read bytes are mutually compared and the results passed on for evaluation. For generating stimuli for SA, it is sufficient to pass each read byte immediately to the bus, e. g. by sending it to a fictitious (non-existent) address. The mentioned comparison has to be carried out by a service engineer with the aid of the BM 578 signature analyzer.

During a thorough test, it is possible also to verify the whole instruction set of the processor (if this is acceptable with regard to the length of the program). However, the preparation of such a test necessitates much experience and detailed knowledge of the internal structure and operation of the processor.

In the majority of cases, in smaller systems, for economical reasons it is supposed (with a great deal of certainty) that the processor is capable of free running and that it is in order together with the operating registers.

### 13.9. Bus structures

Microprocessor ( $\mu$ Ps) and algorithmic state machines (ASM) are versatile and efficient due to their bus structure. As far as hardware is concerned, the bus organization appears to be straightforward and simple, but when the system is runn-

## 2. Použít A k testování B (jiný obvod)

3. Testování A a B společně
4. Použít A a B k testování C
5. Testování A, B a C společně
6. atd.

Jestliže potom krok 4. ukáže, že C je v pořádku při otevřené zpětné vazbě, avšak krok 5. ukáže chybu, známou k interfejsovou chybou mezi dvěma testovanými obvody A, B a C.

V některých případech je lepší vyloučit kroky 2. a 4., protože jejich provádění by známělo zvýšenou potřebu rozpojovacích prvků (konektory, propojky, přepínače). Např. předpokládáme, že B a C jsou ROM — paměti připojené na datovou sběrnici. Krok 2. a 4. vyžaduje odpojení sběrnice nejen mezi A a B, ale i mezi B a C.

Je důležité mít prostředky k rozpojení sběrnice nebo k jejímu uvedení do třetího stavu (stav vysoké impedance). To je nutné k izolaci chyby a k umožnění volnoběhu systému. Prostředky k rozpojení sběrnice jsou např. softwarevě či hardwarevě řízené vstupy CS (výběr čipu), daleko propojky, zkratovací zástrčky, vytahování prvků obvodu z patic. Casto právě obvody sběrnice mohou být umístěny v paticích.

Ačkoliv PA umožňuje jednoduché testování a opravy velkoplošných desek PS, její výhody vynikajou i u dražších vícedeskových sběrnicových struktur.

Týká se to zejména sloučených sběrnic. Možnost dělení sběrnice v systémech se zásuvnými jednotkami usnadňuje nalezení chyby. Volně běžící funkční jádro může být rozširováno přidáváním desek dokud se neobjeví chyba (chybný příznak sběrnice, zhroucení celého systému). Můžeme mezi známou vadnou desku a zbytek systému vložit spe-

## 2. Использовать А для испытания В (другая схема)

3. Осуществить испытание А и В вместе
4. Использовать А и В для испытания С
5. Испытывать А, В и С одновременно
6. И т. д.

Если потом на четвертом шагу оказывается, что С исправно при разомкнутой обратной связи, но на пятом шагу появляется неисправность, то это означает интерфейсную ошибку между ранее испытываемыми схемами А, В и С. В некоторых случаях лучше исключить шаги 2 и 4, так как их производство означало бы необходимость повышенного количества разъединяющих элементов (разъемы, перемычки, переключатели). Например, предполагается, что В и С — это запоминающие устройства ПЗУ, которые подключены к шине данных. Шаги 2 и 4 требуют отключения шин не только от А и В, но также отключения В от С. Необходимо иметь средства для размыкания шины или для ее перевода в третью состояние (состояние характеризуется высоким сопротивлением). Это необходимо для изоляции неисправности и для обеспечения возможности свободного хода системы. Средства размыкания шины — это, например, схемные- или программно-управляемые входы CS (выбор чипа), далее перемычки, короткозамыкающие вилки, выдвижение элементов схемы из панелей. Часто именно схемы шин могут быть установлены в панелях.

Несмотря на то, что СА дает возможность простого испытания и ремонта крупногабаритных плат печатного монтажа, преимущества этого метода особенно выделяются в случае более дорогих структур шин с несколькими платами. Последние касаются также совмещенных шин. Возможность разделения шин в системах с выдвижными блоками облегчает процесс нахождения ошибки. Свободно работающее функциональное ядро может расширяться путем добавления плат до появления неисправности (обычный признак шины, срыв работы всей системы). Между известной платой

## 2. Use of A to test B (another circuit)

3. Testing of A and B together
4. Use of A and B to test C
5. Testing of A, B and C together
6. Etc.

If step 4. reveals that C is running properly with open feedback loop, but step 5. exhibits a fault, this indicates a probable interfacing fault between the previously tested circuits A and B and the circuit C. In some cases it may be better to eliminate steps 2. and 4., as they require a larger number of disconnecting elements [connectors, jumpers, switches]. For example, supposing B and C are ROM stores connected to the data bus, then steps 2. and 4. would assume that the bus can be opened not only between A and B, but also between B and C.

It is essential to have means for opening the bus or for setting it into the third (floating) state (of high impedance). This is imperative for isolating faults and for enabling free running of the system. Means for disconnecting the bus are e. g. software- or hardware-controlled chip select (CS) inputs, jumper wires, shorting plugs and withdrawal of devices from their sockets. Often sockets can be designed on PCBs for the bus components.

Even though SA makes possible the testing and repair also of large PCBs, its advantages are pronounced also with the more expensive multi-board bus structures. This concerns mainly the conjugated buses. The possibility of partitioning buses in systems with plug-in units facilitates fault finding. The free running kernel can be enlarged by the addition of PCBs until the malfunctioning one is found (false signature of the bus, breakdown of the whole system). A special PCB with switches in each data and address line can be inserted between the known faulty PCB and the

cílní desku s vypínači na každé datové a adresové lince. Postupným vypínáním jednotlivých vypínačů za současného sledování jednotlivých příznaků odhalíme chybnou linku. Se všemi vypnutými vypínači na datové sběrnici [ale na adresové sběrnici se všemi zapnutými] lokalizujeme příznakovým analyzátorem závadu bez vlivu chybých dat z výstupu vadné desky na zbytek systému. BM 578 přijímá data jako nuly a jedničky. Proto musí být už lehce definovatelné, opakovatelné a stabilní logické stavy H, L nebo mezi H a L. K tomu mohou být použity odpory definující napěťové úrovne linek (pull-up), přídavný budič sběrnice [budič uvádějící sběrnici do definovaného logického stavu, když na ni není připojen žádný jiný soudič] nebo vstupní odpór sondy BM 578. Toto opatření je nutné z toho důvodu, že při volném běhu mikroprocesor nerozlišíuje přidělené a volné adresové prostory. Na rozdíl od chodu uživatelského programu, kdy je na sběrnici vždy připojen jeden z budičů, existují při volném běhu úseky se zcela odpojenou sběrnici. V těchto úsecích je tedy třeba opakovatelně definovat logický stav sběrnice.

Ve většině  $\mu$ P sběrnic jsou použity pracovní odpory v rozsahu 5–20 kilohmů. Hodnota odporu musí být dostatečně nízká, aby se překryly svody a dostatečně rychle nabíjely kapacity sběrnice, a tím se dosáhlo potřebného předstihu dat pro BM 578. Musí však být i dostatečně vysoká, aby i nejslabší budič sběrnice ji mohl ovládat zároveň s normálním zatížením sběrnice. Tedy pracovní odpory nejsou vždy vhodné, zvláště při kombinaci vysoké

a ostatním částem systému můžete použít speciální kartu s vypínači v řetězci každé linie dat a adres. Pomocí postupného vypínání jednotlivých vypínačů při současném sledování za pozorování jednotlivými signaturami objevujete chybnou linku. Při všech vypnutech vypínačů na řetězci řady dat a adres pomocí analýzátora signatur objevujete chybu neplatnosti bez vlivu chybých dat z výstupu vadné desky na zbytek systému.

V případě BM 578 přijímají se datové hodiny v kvalitě nulí a jedniček. Protože v uzlu musí být určeny určitě vytvořitelné a ustojivé logické stavů H a L nebo mezi H a L. K tomu mohou být použity odpory definující napěťové úrovne linek (pull-up), přídavný budič sběrnice [budič, který uvádí sběrnici do definovaného logického stavu, když na ni není připojen žádný jiný soudič] nebo vstupní odpór sondy BM 578. Toto opatření je nutné z toho důvodu, že při volném běhu mikroprocesor nerozlišíuje přidělené a volné adresové prostory. Na rozdíl od chodu uživatelského programu, kdy je na sběrnici vždy připojen jeden z budičů, existují při volném běhu úseky se zcela odpojenou sběrnici. V těchto úsecích je tedy třeba opakovatelně definovat logický stav sběrnice.

Ve většině  $\mu$ P sběrnic jsou použity pracovní odpory v rozsahu 5–20 kilohmů. Hodnota odporu musí být dostatečně nízká, aby se překryly svody a dostatečně rychle nabíjely kapacity sběrnice, a tím se dosáhlo potřebného předstihu dat pro BM 578. Musí však být i dostatečně vysoká, aby i nejslabší budič sběrnice ji mohl ovládat zároveň s normálním zatížením sběrnice. Tedy pracovní odpory nejsou vždy vhodné, zvláště při kombinaci vysoké

rest of the system. A specific defective bus line can be identified by closing one switch at a time and observing the displayed signatures. With all the data bus switches open [but all the address switches closed], the failure can be located with the aid of the BM 578 signature analyzer without feeding back wrong data from the output of the defective PCB to the rest of the system.

The BM 578 signature analyzer accepts data as "zeros" and "ones". Consequently, a node must always be in a defined repeatable and stable logic state H or L, or between H and L. In order to ensure this, resistors defining the voltage levels of the lines (pull-up resistors), default bus drivers (drivers that pull the bus to a defined logic state when another driver is not connected), or the resistance of the probe of the BM 578 instrument, can be used. This measure is necessary, as in the free running mode a  $\mu$ P does not distinguish between allotted and free address spaces. As different from during the running of the user's program, when to the bus is always connected one of the drivers, in free running sections exist which are completely separated from the bus. Consequently, in these sections it is necessary to define repeatedly the logic state of the bus.

In most  $\mu$ P system buses, pull-up resistors of 5 to 20 k $\Omega$  are employed. The values of the resistors must be sufficiently low to overdrive bus leakage and to charge the capacitance of the bus fast enough to comply with the required data lead for the BM 578 signature analyzer. However, the values of the resistors must be high enough so that even the weakest bus drivers can handle them simultaneously with the normal bus load. Therefore, resistor pull-ups are not always suitable, especially due to the combination of high speed

rychlosti a velké kapacity rozsáhlé sběrnice. Např. sběrnicová linka s pracovním odporem 10K a kapacitou 100 pF má RC konstantu 1  $\mu$ s. Přílišný čas nastavení je jedním z nejčastějších důvodů nestabilního příznaku.

Na sběrnici může být přidán buďček, který vybudi sběrnici (na H nebo L), není-li nadresován žádný jiný buďček. K jeho řízení lze použít dekodér řídících signálů sběrnice. Normálně musí být brán zřetel na mód volnoběhu, kdy je generováno mnoho adres navíc. Obtížnější je však uvažovat sice definované, ale neobsazené adresové pole. (Např. volná místa připravená pro zasunutí ROM, přidavné jednotky vstup—výstup aj.).

Další možnosti je hradlování hodin. Jsou místa, kdy musí být sběrnice ve stavu vysoké impedance nebo jsou na ní náhodná data. (Stává se při operacích DMA či nastavování asynchronních vstupů.) Zablokování hodinového vstupu BM 578 bude zabraňovat vstupu nežádoucích dat během této peridy. Někdy lze vyloučit vstup nežádoucích dat i nastavením START STOP intervalu, aniž bychom ztratili žádanou informaci. Obě možnosti obvykle vyžadují přidavné programem řízené výstupy nebo dekodéry v přístroji, či v přidavném testovacím přípravku a mohou vyžadovat mnohonásobné nastavení START/STOP signálu pro stejný uzel.

Jestliže signálem „zápis“ bude hradlován hodinový vstup BM 578, data budou vstupovat do BM 578, Jen když z  $\mu$ P (nebo z jiného zařízení, které právě

vleňení) jevily nejsou všechny podloženémi, osobněno pri kombinaci vysoké rychlosti a vysokého výkonu. Například, linka s pracovním odporem 10 k $\Omega$  a kapacitou 100 pF má RC konstantu 1  $\mu$ s. Přílišný čas nastavení je jedním z nejčastějších důvodů nestabilního příznaku.

Na šинu může být výzvadatel, který vzbudí šínu (do stavu H nebo L) pri určitém, že adresu neodpovídá žádoucí. Dle jeho řízení lze použít dekodér řídících signálů sběrnice. Normálně musí být brán zřetel na mód volnoběhu, kdy je generováno mnoho adres navíc. Obtížnější je však uvažovat sice definované, ale neobsazené adresové pole. (Např. volná místa připravená pro zasunutí ROM, přidavné jednotky vstup—výstup aj.).

Slledující možností je využití klopnového řízení. Existují mesta, kdy šína může být vysoké impedance nebo může mít náhodná data. (Stává se při operacích DMA či nastavování asynchronních vstupů.) Zablokování hodinového vstupu BM 578 bude zabraňovat vstupu nežádoucích dat během této peridy. Někdy lze vyloučit vstup nežádoucích dat i nastavením START STOP intervalu, aniž bychom ztratili žádanou informaci. Obě možnosti obvykle vyžadují přidavné programem řízené výstupy nebo dekodéry v přístroji, či v přidavném testovacím přípravku a mohou vyžadovat mnohonásobné nastavení START/STOP signálu pro stejný uzel.

Ještě signálem „zápis“ bude hradlován hodinový vstup BM 578, data budou vstupovat do BM 578, Jen když z  $\mu$ P (nebo z jiného zařízení, které právě

and the large bus capacitance of multiboard bus structures. For example, a bus line with 10K pull-up resistor and 100 pF capacitance has an RC time constant of 1  $\mu$ s. Excessive bus settling time is one of the most frequent causes of unstable signature reading.

A default bus driver can be added to drive the bus (to H or L) if another driver is not addressed. For its control, a bus decoder of control signals can be employed. Usually, allowance must be made for the free running mode, when many address states are generated additionally. However, it is more difficult to account for the unoccupied, but defined, address field (e.g. free locations, prepared for ROM store plug-in, additional 1/0 units, etc.).

Another possibility is offered by clock gating. There are instances where a bus must be floating (state of high impedance), or must have on it random data (as might occur in DMA operations, or in an asynchronous input setup). Inhibiting the clock input to the BM 578 instrument prevents the ingress of unwanted data during this period. Sometimes the START—STOP window can be set so as to exclude the unwanted data, without losing the required information. These two latter techniques usually necessitate additional program-controlled outputs or decoders built into the tested instrument, or into an extra test jig, and also may demand multiple START—STOP signal adjustment for the same node.

If the clock input to the BM 578 signature analyzer will be gated by the "write" enable signal, data will enter it only when valid data will emerge from the  $\mu$ P (or from another device which is just

(fidi sběrnici) budou vystupovat platná data. Vyloučuje to možnost snímání nestabilních dat ze sběrnice ve stavu vysoké impedance.

Dva důsledky užití tohoto postupu jsou:

1. hodiny hradlované signálem „zápis“ nemohou být použity během volného běhu, jelikož v něm nikdy nenastane „zápis“,
2. data přítomná na sběrnici během „čtecího“ cyklu nebudou vstupovat do BM 578. Pro test těchto dat může  $\mu P$  provést jejich „echo“. prostřednictvím následujícího cyklu „zápis“. Echa nepotřebuje být zapsána na existující sběrnicové zařízení [tj. může být použita nedefinovaná adresa].

Kde není možné izolovat jednotlivé složky sběrnice, tam lze použít jiné techniky hledání chyb. Např. jestliže dvě linky sběrnice v aktivním stavu produkují stejný příznak, je velká pravděpodobnost jejich zkratu. Charakteristický příznak stavu H (záleží na délce měřicího intervalu) nebo stavu L (0000) charakterizuje neaktivní linku buď uzemněnou nebo připojenou na  $V_{cc}$ .

### 13.10. Paměti ROM

Základní princip pro testování paměti ROM je použití všechny možné kombinace vstupu a zároveň kontrolovat všechny výstupy. Je několik možností, jak spojit tuto techniku s volnoběhem. Např. při provádění programu „samokontrola“ mohou být obsahy paměti ROM čteny jako data do  $\mu P$ , kde je prováděn algoritmus komprese dat, který nechává charakteristický zbytek v akumulátoru, či jiném registru. Správnost zbytku se zjišťuje porovnáním

ní momentu, který řídí sběrnici (t. j. moment, kdy řídí sběrnici) s momentem, kdy řídí sběrnici (t. j. moment, kdy řídí sběrnici). Tento moment řídí sběrnici (t. j. moment, kdy řídí sběrnici).

Dva důsledky užití tohoto postupu jsou:

1. Takto vytvořené impulzy, blokované signálem „zapis“, nejsou schopny využít všechny možnosti využití v období volného běhu, jelikož v tomto období žádoucího signálu neexistuje žádoucího signálu.
2. Datan, které jsou využívány na šířce v období čtení, nejsou schopny využít všechny možnosti využití v období volného běhu, jelikož v tomto období žádoucího signálu neexistuje žádoucího signálu.

V těchto případech, když nelze izolovat jednotlivé části šířky, lze použít jinou techniku. Např. pokud jsou obě linky šířky v aktivním stavu, produkují stejnou signaturu. Tento stav je nejpravděpodobnější, že obě linky jsou krátce propojeny. Charakteristickým znakem stavu H je stav 0000, zatímco stav L je stav 0000 (závisí na délce měřicího intervalu). Závisí na délce měřicího intervalu (závisí na délce měřicího intervalu) a závisí na délce měřicího intervalu (závisí na délce měřicího intervalu).

### 13.10. Zapomínajícие устройства ПЗУ

Основной принцип испытания ПЗУ состоит в использовании всех возможных комбинаций входов и одновременно в контроле всех выходов. Имеется несколько возможностей соединения этой техники с режимом свободного хода. Например, при осуществлении программы „автоконтроль“ содержание запоминающих устройств ПЗУ может считаться данными, передаваемыми в микропроцессор, где осуществляется алгоритм сжатия данных, который оставляет характеристический остаток на накопителе или в другом регистре. Правильность остатка определяется путем сравнения

controlling the bus). This eliminates the possibility of sampling unstable data from a bus which is in the high-impedance state (floating).

Two consequences of using this method are as follows:

1. The clock gated by the "write" signal is not applicable during free running, as actual "writes" never occur in this mode.
2. Data present on the bus during a "read" cycle will not enter the BM 578 signature analyzer. In order to test these data, the  $\mu P$  can "echo" [i. e. retransmit] them by means of a subsequent "write" cycle. The echo need not be written into an existing bus device [i. e. an undefined address can be employed].

When it is impossible to isolate bus components from each other, then other techniques can be used to find a fault. For example, if two lines of the bus, which are in the active state, produce the same signature, then it is most probable that they are short-circuited. A characteristic signature (0000) of the state H (depending on the length of the measurement window) or the state L, signifies an inactive line due to being either earthed or connected to  $V_{cc}$ .

### 13.10. ROM stores

The basic principle for testing ROM stores is to apply all possible combinations of input codes and simultaneously to check all the outputs. There are several ways of carrying out this procedure in addition to free running. For example, during the carrying out of a "self-testing" program, the content of the ROM store can be read as data into the  $\mu P$ , where the data compressing algorithm which leaves a characteristic residue in an accumulator or register is carried out. The correctness of this residue is ascertained by comparing it with a reference residue which is valid for the

se vzorovým zbytkem, platným pro jednotlivé paměti ROM. [Cyklická redundance a kontrolní součty jsou dva příklady z mnoha algoritmu.]

Program testovací ROM může být částí rozsáhlého testu, či samostatný program. Může přispět k rozhodnutí o celém přístroji DOBRÝ—SPATNÝ, či produkovat vlastní informaci o chybě, jako např. „chyba ROM“, nebo přesněji „ROM 3 je vadná“. Chyba může byt indikována stávajícími panely LED diod, přídavným indikátorem nebo LED diodami na desce s plošnými spoji. Někdy se zpráva o chybě kóduje, např. ERROR 03. Nejlepší je, vyhradit si část hardwaru předem. V tom případě použijeme vždy negovaný indikátor chyby. Neufungující indikátor bude potom vždy ukazovat závadu. Je vhodné mít možnost vyjímat nebo odpojovat jednotlivé paměti ROM. Když ale nemůžeme vyhovět tomuto požadavku, lze i jinak izolovat jednu paměť ROM od druhé a jiných částí sběrnice. Ve volnoběhu musíme dbát na to, abychom nenaadresovali více obvodů na sběrnici současně (včetně paměti ROM).

V módě volnoběhu můžeme použít „izolace chyby adresovým oknem“. Při použití této techniky připojíme vstupy START a STOP BM 578 k odpovídajícímu výstupu adresového dekódéra, příslušejícímu k vybrané paměti ROM. Nyní kontrolujeme datovým vstupem BM 578 datovou sběrnici, zde jsou správné příznaky jednotlivých linek. Data vstupují do BM 578 pouze během adresového pole příslušné vybrané paměti ROM. Pohybem START—STOP okna můžeme ověřovat jednotlivé paměti, či jejich skupiny. Viz obr. 12.

с образцовым остатком, справедливым для отдельных накопительных устройств ПЗУ (циклическая избыточность и контрольные суммы — это два примера многих алгоритмов).

individual ROM stores. (Cyclic redundancy and check totals are two examples of many algorithms suitable for this purpose.)

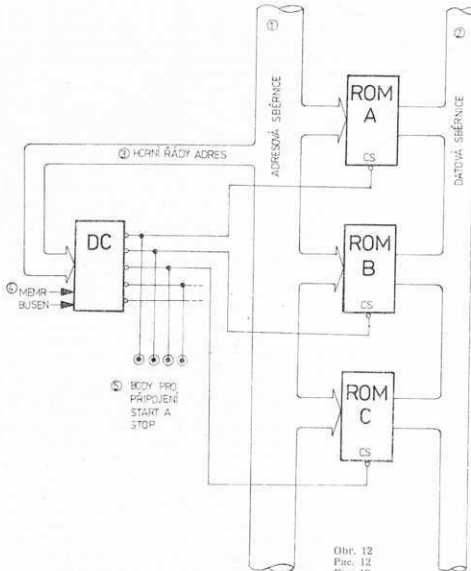
Программа испытания ПЗУ может быть частью более широкого испытания или может быть самостоятельной программой. Она может способствовать решению вопроса качества всего прибора ХОРОШИЙ — ПЛОХОЙ или генерировать собственную информацию об ошибке, как например, «неисправность ПЗУ» или точнее «ПЗУ З неисправно». Ошибка может индицироваться панелями светодиодов, дополнительным индикатором или светодиодами на плате печатного монтажа. Иногда сообщение о неисправности кодируется, например, ERROR 03. Лучше всего, выделить заранее часть технического оснащения. В этом случае всегда используется инвертированный индикатор неисправности. Неработающий индикатор потом всегда сигнализирует неисправность. Целесообразно иметь возможность вынимания и отключения отдельных запоминающих устройств ПЗУ. Если это требование не удовлетворяется, то можно и по-другому изолировать одно устройство ПЗУ от другого и других частей шины. В режиме свободного хода следует следить за тем, чтобы не осуществить адресацию большего количества схем на шине одновременно (включая устройства ПЗУ).

В режиме свободного хода можно использовать «изоляцию неисправности адресным окном». При использовании этой техники входы СТАРТ и СТОП BM 578 подключаются к соответствующему выходу адресного декодирующего устройства, принадлежащего выбранному устройству ПЗУ. Теперь, посредством входа данных BM 578 контролируется шина данных, т. е. проверяется, что правильны сигнатуры отдельных линий. Данные вводятся в BM 578 только во время поля адреса соответствующего выбранного запоминающего устройства ПЗУ. Перемещая окона СТАРТ — СТОП можно проверять отдельные запоминающие устройства или их группы. См. рис. 12.

In the free running mode, the method called "address window fault isolation" can be used. This method involves the connection of the START and STOP inputs of the BM 578 signature analyzer to corresponding outputs of the address decoder associated with the selected ROM store. Then, each line of the data bus can be checked for signature correctness with the data probe of the BM 578 instrument. Data enter into the BM 578 signature analyzer only during a field of addresses associated with the selected ROM store. By moving the START—STOP address window, the individual stores, or groups of them, can be verified (see Fig. 12).

- 1 — adresová sběrnice
- 2 — datová sběrnice
- 3 — horní řady adres
- 4 — MEMR BUSEN
- 5 — body pro připojení START a STOP.

- 1 — адресная шина
- 2 — шина данных
- 3 — верхние разряды адресов
- 4 — MEMR BUSEN
- 5 — точки для подключения СТАРТ и СТОП.



Obr. 12  
Pic. 12  
Fig. 12

- 1 — Address bus
- 2 — Data bus
- 3 — High-order addresses
- 4 — MEMR BUSEN
- 5 — Points for connecting START and STOP.

Bez možnosti vyjmout všech ostatních obvodů připojených na sběrnici existuje vždy možnost, že špatný příznak je způsoben jiným prvkem na sběrnici. V tom případě je nutné použít např. proudovou logickou sondu k odhalení obvodu s vadným výstupem (vstupem).

Mnohem výkonnější metoda kontroly pro izolaci vadné paměti ROM je speciální testovací program řízený  $\mu$ P. Během testování smyčky PA mohou být použity na každé paměti kontrolní součty, či cyklická redundance. Generováním testovacího programu, který spolupracuje přímo s testovaným hardwarem (v tomto případě ROM), může program sám poskytnout informaci o chybě. V případě, že se např. program vrátí smyčkou na začátek po nalezení chyby, je počet cyklů hodin měřítkem, jak daleko proběhl bez chyby. Připojením vstupu START—STOP na liniku měniči svého stavu s každým průchodem smyčkou, dostaneme měříci interval s různou délkou. Např. pro chybu, které jsou na začátku testovací smyčky, je na vstupu menší počet hodinových impulzů během krátkého měřicího okna než pro chybu, které se objeví později ve smyčce. Jestliže je datový vstup BM 578 připojen pevně na log. 1 (t. e.  $V_{cc}$ ), je do jeho registru posuván plynulý proud „jedniček“ každým průběhem smyčky. Všechny možné příznaky pro různé délky smyček je vhodné zahrnout do katalogu závad.

Toto je velmi výkonný způsob, jak nalézt chybu ve velké skupině obvodů při použití jediného vstupu do BM 578. Indikuje samozřejmě pouze první chybný obvod. Další jsou detekovány až po od-

Bez možnosti vyjmout všech ostatních schémat, podkládaných k žíně, vždy existuje možnost, že nesprávná signatura může vzniknout z neispravného jiného schématu na žíně. V tomto případě je třeba použít např. logickou sondu k odhalení schématu s nesprávným výstupem (vstupem).

Prozatím bylo využitoj metodou kontroly s cílem izolace neispravného zapomínaného zařízení ROM je speciální testovací program řízený mikroprocesorem. Po výkonu testovacího programu, který spolupracuje přímo s testovaným hardwarem (v tomto případě ROM), může program sám poskytnout informaci o chybě. V případě, že se např. program vrátí smyčkou na začátek po nalezení chyby, je počet cyklů hodin měřítkem, jak daleko proběhl bez chyby. Připojením vstupu START—STOP na liniku měniči svého stavu s každým průchodem smyčkou, dostaneme měříci interval s různou délkou. Např. pro chybu, které jsou na začátku testovací smyčky, je na vstupu menší počet hodinových impulzů během krátkého měřicího okna než pro chybu, které se objeví později ve smyčce. Jestliže je datový vstup BM 578 připojen pevně na log. 1 (t. e.  $V_{cc}$ ), je do jeho registru posuván plynulý proud „jedniček“ každým průběhem smyčky. Všechny možné příznaky pro různé délky smyček je vhodné zahrnout do katalogu závad.

Without the ability of removing all the remaining circuits connected to the bus, there is a possibility that a false signature could result from one of the other bus components. In this case, it is necessary to use e. g. a logic current probe for discovering the circuit with incorrect output (input).

A much more efficient way of verifying ROM stores in order to isolate the defective one, is the use of a special test program controlled by a  $\mu$ P. During an SA test loop, a cyclic redundancy, or other test can be employed for each store. By generating a test program which co-operates directly with the hardware under test (in this case with a ROM store), the program itself can provide information about the fault. If the test program loops back to its beginning after a fault has been encountered, then the number of clock cycles is the measure of how far the test has progressed without failure. By connecting the START and STOP inputs to a line which changes its state every time the test loop completes a cycle, a measurement window of various lengths will be created. Thus, for a failure occurring early in the test loop, a smaller number of clock pulses will enter during a shorter measurement window than for failures which take place later in the loop. If the data probe of the BM 578 signature analyzer is connected permanently to log. 1 (i. e.  $V_{cc}$ ), a continuous stream of "ones" is shifted into its register at each passing of the loop. It is advisable to list in a Catalogue of Failures all the various signatures obtained for all possible loop lengths.

This is a very efficient way of facilitating fault finding in a large group of circuits (components) with only one input to the BM 578 signal analyzer employed. Obviously, it indicates only the first defective circuit found. Further failures (if any) can be detected only after remedying the one just

stranění první chyby. Počítá se samozřejmě s tím, že určitá část hardwaru je již v pořádku. Je žádoucí vytvářet menší smyčky, které testují jednotlivé ROM nebo skupiny ROM. Jiné varianty této techniky mohou být způsobem, jak získat více či méně diagnostických informací o systému. (Tj. identifikovat špatný modul nebo desku, vadnou paměť ROM, výstupní špičku paměti ROM, apod.).

### 13.11. Zpětnovazební smyčky

Jak již bylo dříve naznačeno, nejlepší cesta k testování obvodů se signálnovými i datovými zpětnými vazbami je rozpojení jejich smyček. Jestliže nelze zpětné vazby otevřít, stojíme před problémem, ve kterém místě obvodu je závada, neboť chybá data obíhají smyčkami dokola a nelze určit, kde vlastně vznikají. V μP systémech je velkou společnou smyčkou zpětné vazby datová sběrnice – nemůže ale jediná. Zpětnovazební větvě v periferických obvodech nás nutí zajistit již při vývoji možnost rozpojení i těchto smyček v obvodech, jako např. vnější ALU, programovatelné čítače, konvertovery atd.

### 13.12. Dekóduvací obvody

Tyto obvody jsou obvykle složeny z přímé kombinační logiky. Používají hradla, čipy dekódérů, paměti ROM nebo PLA obvody. Mnoho z nich může být ověřeno pomocí PA ve volnoběhu. Jestliže výstupy dekódérů jsou hradlovány řídicimi signály „data platná“ nebo „adresy platné“ (např. READY nebo MEMR, MEMW u 18080), je nutné zajistit, aby vstupy BM 578 DATA a CLOCK spínaly požadavky

lávoty pošle utrpeními první neispravnosti. Při tomto také predpokládá se, že určitá část technického osnažení je už dobré. Cílom je vytvořit delší krátké pętle, které slouží pro zkoušení oddělných ROM nebo skupin ROM. Druhé varianty této techniky mohou sloužit k lepšemu pochopení více či méně diagnostických informací o systému (t. j. identifikovat špatný modul nebo desku, vadnou paměť ROM, výstupní špičku paměti ROM, atd.).

### 13.11. Petly obrazového spoje

Když bylo uvedeno výše, nejlepší cesta k zkoušení sítí s signálnovými a datovými zpětnými vazbami je rozpojení jejich smyček. Jestliže nelze pętlu obrazového spoje rozepnout, stojíme před problémem, ve kterém je výzva v obvodu, neboť chybá data obíhají smyčkami dokola a nelze určit, kde vlastně vznikají. V μP systémech je velkou společnou smyčkou zpětné vazby datová sběrnice – nemůže ale jediná. Zpětnovazební větvě v periferických obvodech nás nutí zajistit již při vývoji možnost rozpojení i těchto smyček v obvodech, jako např. vnější ALU, programovatelné čítače, konvertovery atd.

### 13.12. Schéma dekódování

Tyto schéma obvykle mají pouze jednu funkci. Mají pouze využívají výstupy dekódérů, paměti ROM nebo PLA obvody. Mnoho z nich může být ověřeno pomocí PA ve volnoběhu. Jestliže výstupy dekódérů jsou hradlovány řídicimi signály „data platná“ nebo „adresy platné“ (např. READY nebo MEMR, MEMW u 18080), je nutné zajistit, aby vstupy BM 578 DATA a CLOCK spínaly požadavky

found. Also it is assumed that a certain part of the hardware is in good condition to begin with. It is desirable to select smaller loops which can test individual ROM stores, or groups of them. Other variants of this technique can be used to provide more or less diagnostic information about the system (i. e. to identify a defective PCB or module, a defective ROM store, or a wrong output tag of a ROM store, etc.).

### 13.11. Feedback loops

As has been mentioned already, the best way to test circuits having either signal or data feedback, is to open their loops. If this is not practicable, then the problem is: where is the defect in the circuit, as the faulty data circulate around the loop and it is never known which element is faulty and creates them. In μP systems, the data buses are the most common feedback loop paths, but they are not the only ones. Feedback paths in the peripheral circuitry call for taking care of the possibility of opening also these loops, i. e. dedicated ALUs, programmable counters, data converters, etc., already in the development phase of a new type of instrument.

### 13.12. Decoding circuits

These circuits are formed usually by straightforward combination logic. They employ gates, ROM stores, or PLA circuits. Many can be verified with the aid of SA in the free running mode. If the outputs of the decoders are gated by control signals "data valid" or "addresses valid" (e. g. READY or MEMR, MEMW of 18080), it is necessary to ensure that the DATA and CLOCK inputs to the BM 578 signature analyzer meet the

Obr. 13 — Jeden možný vývojový diagram testu ROM

- 1 — START
- 2 — Test ROM?
- 3 — STOP PA
- 4 — START PA
- 5 — Začátek ROM
- 6 — ještě ROM?
- 7 — Nuluování kontrolního součtu
- 8 — Příčtení bájtu ROM
- 9 — Zvětšení adresy o jedničku
- 10 — Hranice IK úseku ROM překročena
- 11 — Kontrolní součet správný ?

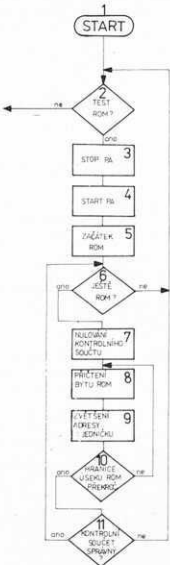


Рис. 13 — Одна из возможных структурных схем для испытания ПЗУ

- 1 — start
  - 2 — испытание ПЗУ?
  - 3 — stop CA
  - 4 — start CA
  - 5 — начало ПЗУ
  - 6 — еще ПЗУ?
  - 7 — сброс контрольной суммы
  - 8 — прибавление байта ПЗУ
  - 9 — увеличение адреса на единицу
  - 10 — граница участка ИК устройства ПЗУ превыснута
  - 11 — контрольная сумма правильная?
- ano = да  
ne = нет

Fig. 13 — One of the feasible ROM test flow diagrams

- 1 — START
  - 2 — Test ROM ?
  - 3 — STOP SA
  - 4 — START SA
  - 5 — Beginning of ROM
  - 6 — Still ROM ?
  - 7 — Zeroizing the check total
  - 8 — Byte addition to ROM
  - 9 — Address increase by one
  - 10 — Limit of 1K ROM section exceeded
  - 11 — Check total correct ?
- ano = Yes  
ne = No

správného časování (DATA musí být na sondě v předstihu před aktivní hranou CLOCK).

Jestliže jsou všechna nebo jen některá dekódování provedena uvnitř IO (jako např. u µP řady 6800), lze správné dekódování ověřit obtížněji. Při servisních opravách i ve výrobě se však nejedná o to, co je uvnitř součástky chybné, častěji se pouze identifikuje celá vadná součástka. Když chybou vnitřní dekódování, většinou negeneruje chyby pouze ve svém adresovém poli, ale stejně tak ruší i jiná adresová pole. Tato skutečnost může při hledání chyb působit obtíže. Opět platí, že možnost odpojení jednotlivých IO (vymutím z objímky) nebo zablokování na nevyužitěm fázicím vstupu, vedeném na měřicí bod, zrychluje a zjednoduší nalezení závady.

НЫЕ и ТАКТ удовлетворяли условиям правильной синхронизации (ДАННЫЕ должны в шунте опережать активные фронты ТАКТ).

Если все виды декодирования или только некоторые из них осуществлены внутри IO (как например, в микропроцессорах серии 6800), то правильный процесс декодирования проверяется сложнее. При ремонте рамках техобслуживания и на производстве речь идет не о том, что неисправность внутри элемента, но чаще всего определяется весь неисправный элемент. В том случае, когда неправильно работает система внутреннего декодирования, обычно ошибки генерируются не только в своем адресном поле, но имеются также помехи и в других адресных полях. Это обстоятельство может также при отыскании неисправностей вызывать затруднения. Опять спрашивается принцип, что возможность отключения отдельных IO (выниманием из панели) или блокировки неиспользуемого управляющего входа, подключенного к измерительной точке, ускоряет и упрощает нахождение неисправности.

requirements of correct timing [the DATA must be on the probe with a certain lead before the CLOCK triggering edge].

If all the decoding, or only some of it, is accomplished inside an integrated circuit (as it is in µPs of the 6800 line), then it is more difficult to verify correct decoding. However, in service practice or in production, it is not important what is defective inside a component, more often the defective part only has to be identified. If internal decoding fails, usually it generates failures not only in its own address field, but also disturbs other address fields. This fact can cause difficulties in trouble-shooting. Thus, it stands again: The facility of disconnecting the individual integrated circuits (by pulling them out from their sockets), or blocking at the unused control input brought out to a measuring point, hastens and simplifies fault finding.

### 13.13. Paměti RAM

Statické paměti RAM obecně dobře vyhovují zásadám testování pomocí PA. Nemohou být testovány v módu volných běhů, jelikož do nich musí být nejdříve zapsána data a teprve potom mohou být čteny. Je však mnoho softwarových algoritmů, které je mohou testovat a lokalizovat chyby. V dnešních pamětech RAM s velkou hustotou je mnoho možnosti ke vzniku chyby. K vytvoření účinného souboru testů jsou výhodné podrobné znalosti vnitřní struktury jednotlivých částí paměti RAM. Některé postupy testu jsou např. řádek po řádku, sloupec po sloupci atd. V úvahu připadají takové testy, které zaberovaly málo místa v paměti ROM, jsou jed-

### 13.13. Накопители ОЗУ

Статические запоминающие устройства ОЗУ в общем виде очень пригодны при испытаниях с помощью СА. Они не могут испытываться в режиме свободного хода, так как в них следует сначала ввести данные, а только после этого их можно считывать. Однако, существует много алгоритмов математического обеспечения, которые могут служить для их испытания и определения неисправностей. В современных запоминающих устройствах ОЗУ с большой плотностью имеется много возможностей возникновения ошибки. Для создания эффективного набора испытаний целесообразно подробно знать внутреннюю структуру отдельных частей запоминающего устройства ОЗУ. Некоторые способы испытания заключаются в построчном испытании, поколонном испытании и т. д. Принимаются во внимание также испытания, которые занимают мало места в запоминающем устройстве ПЗУ, являются простыми и быстрыми.

### 13.13. RAM stores

Static RAM stores are generally suitable for the SA test technique; however, they cannot be tested in the free running mode, as first the data must be stored in them and only then can they be read. Nevertheless, there are many software algorithms which can test these stores and locate faults. In modern high-density RAM stores there are many potential failures. For forming an efficient set of tests, a detailed knowledge of the internal structure of the individual parts of the RAM store is necessary. Some test procedures investigate row-to-row, column-to-column, etc. failures. Such test patterns have to be considered which take up only little space in a ROM store, are simple and

noduché a rychlé. Důležité vlastnosti RAM, které by měl dobrý test ověřit, jsou:

1. Schopnost zapsat a číst z každé buňky nulu i jedničku
2. Neexistence vzájemné interakce dvou paměťových buněk
3. Přesná funkce vstupů, výstupů a řídících linek
4. Schopnost jednoznačného adresování každého slova.

Některé obvyklé postupy používané k testování těchto vlastností jsou:

- Šachovnicový test
- putující nuly či jedničky
- zapamatování adres (plynule rostoucích čísel)
- ukládání obsahu paměti ROM do paměti RAM.

Test paměti RAM může být částí inicializační procedury nebo samokontroly a může být také použit v testovacím programu PA. Příznakový analýzator může být použit přímo k identifikaci vadné paměti RAM, testujeme-li programem ve smyčkách (viz kapitola ROM). Programová smyčka může být vytvořena pro jednotlivé RAM, skupiny RAM i pro celý systém, přesně tak jako v případě testování ROM. Výhoda samostatného testování paměti RAM je, že je známo, co se testuje a je tedy jasné, že nalezneme-li správný příznak, je chyba jednoznačně v RAM.

Při testování dynamických pamětí RAM lze použít rovněž některé vzorové programy použitelné pro statické paměti RAM. Jediná přidavná komplikace pochází z existence „refresh“ obvodů. I když jsou paměti RAM testovány přímo v systému a v plné rychlosti, nevzbuzují většinou težkosti s nestabilitou. Nestabilní příznak se však může objevit, když

Основные свойства ОЗУ, которые должны проверяться хорошим испытательным методом, являются:

1. Способность записать и испытать ноль и единицу в каждой ячейке.
2. Отсутствие взаимосвязи двух запоминающих ячеек.
3. Точная работа входов, выходов и управляющих линий.
4. Способность однозначной адресации каждого слова.

Некоторые обычные способы, используемые для испытания этих свойств, следующие:

- шахматное испытание
- перемещающиеся нули или единицы
- запоминание адресов (плавно возрастающих чисел)
- ввод содержания запоминающего устройства ПЗУ в запоминающее устройство ОЗУ.

Испытание запоминающего устройства ОЗУ может быть частью инициализационной процедуры или автоконтроля и может быть также использовано в рамках испытательной программы СА. Сигнатурный анализатор может быть использован непосредственно для определения неисправного устройства ОЗУ, когда испытание осуществляется программой по петлям (см. гл. ПЗУ). Программная петля может быть создана для отдельных ОЗУ, групп ОЗУ и для всей системы точно также, как и в случае испытания ПЗУ. Преимущество самостоятельного испытания запоминающего устройства ОЗУ заключается в том, что известно, что испытывается и, следовательно, ясно, что если найдена неправильная сигнатура, то неисправность однозначно находится в ОЗУ.

При испытании динамических запоминающих устройств ОЗУ можно использовать также некоторые образцовые программы, которые могут быть использованы для статических запоминающих устройств ОЗУ. Единственное дополнительное осложнение вытекает из существования схем восстановления (refresh). Даже в том случае, когда запоминающие устройства ОЗУ испытываются

speedy. Essential properties of a RAM store which an efficient test set should verify are as follows:

1. Ability to write and read a "zero" and a "one" in every cell.
2. Absence of interactions between two store cells.
3. Correct operation of inputs, outputs and control lines.
4. Ability to address each word separately.

Some of the usual procedures employed for testing the above properties are as follows:

- Chessboard test.
- "Zero" or "one".
- Storing an address (gradually increasing numbers).
- Storing the content of a ROM store in a RAM store.

The RAM store test can be a part of an initializing procedure or of a self-testing program and can be used also in an SA test program. The signature analyzer can be employed directly for identifying defective RAM stores when the test program proceeds in loops (see item 13.10). The program loop can be formed for the individual RAM stores, or groups of RAM stores, as well as for the whole system, exactly as in the case for the ROM test loop. The advantage of testing only a RAM store is the fact that it is known what is being tested; when a wrong signature is displayed, the fault is definitely in the tested RAM store.

When testing dynamic RAM stores, also certain standard test programs used for static RAM stores are applicable. The only additional complication comes from the "refresh" circuitry. Even though the RAM stores are tested directly in the system and at full speed, usually instability is not a problem. However, an unstable signature may be displayed when the "refresh" circuitry gains control

„refresh“ obvody přebírají řízení adres a dat parametry RAM náhodně a nezávisle na  $\mu$ P. I když je „refresh“ obvod synchronní s centrálními hodinami, není většinou jednoznačně synchronní s prováděným testovacím programem. Je mnoho způsobů, jak vyřešit tento problém. Jeden z nich je generovat „hodiny platných dat“. Data jsou v tomto případě snímána příznakovým analyzátoru pouze tehdy, jsou-li na sběrnici platná data z RAM, neboť signál CLOCK do analyzátoru je vždy během „refresh“ cyklů vypnut. Signál, který vypíná hodiny (tzv. clock qualifier) je vždy v systému k dispozici, neboť je nutný k řízení ostatních obvodů na sběrnici.

Náhodné signály z „refresh“ obvodu mohou být potlačeny jeho úplným zablokováním. Obsah parametrů může být i potom zachován, bude-li čas, za který testovací program projde přes všechny adresy RAM, krátký než maximální povolená perioda obnovení dat. Data budou obnovována samotným testovacím programem. Ve skutečnosti však dobrý test RAM do tak krátkého času stlačit prakticky nelze. A navíc, komplexní test dynamické RAM by měl mít pro ověření stability dat vloženy čekací smyčky delší, než je perioda obnovování dat.

Techniky testování „refresh“ obvodů jsou závislé na jejich sestavě. Bez problémů je testování těchto obvodů v případě jejich řízení a synchronizování  $\mu$ P (např. Z80). Jsou-li asynchronní, mohou být

neoposredně v rámci systému na polné skrovnosti, to obvykle není ztížené s neustojivostí. Neustojivostní signatura může vzniknout v tomto případě, když schéma obnovování (refresh) pořídí kontrolu nad adresami a daty zapomínajícího zařízení OZU náhodně a nezávisle na mikroprocesoru. I když v tomto případě je schéma obnovování (refresh) synchronní s centrálním taktem signálem, obvykle toto ještě neznamená synchronní s existující testovací programem. Existuje mnoho možností řešení této problematiky. Jedna z nich spočívá v generaci „valid data clock“ signálu. V tomto případě, data jsou měřena BM 578 signaturou analyzátoru pouze tehdy, když platná data z RAM jsou přítomna, neboť signál CLOCK do analyzátoru je vždy vypnut během „refresh“ cyklů. Signál, který vypíná hodiny (tzv. clock qualifier) je vždy v systému k dispozici, neboť je nutný k řízení ostatních obvodů na sběrnici.

Náhodné signály z schémat obnovování „refresh“ mohou být podavaleny celou polní blokárou. Obsah zapomínajícího zařízení může i po tomto obnovování uchovávat, pokud je v této době testovací program, který prochází všechny adresy OZU, kratší než maximálně povolená obnova dat. Datané budou obnovovány samotným testovacím programem. V skutečnosti však nelze vlastně vystopovat všechny adresy OZU v tak krátkém čase, aby bylo možné vložit čekací smyčky delší, než je perioda obnovování dat. V důsledku toho může být výkon testovacího programu výrazně omezen.

Sposoby testování schémat obnovování „refresh“ závisí od jejich obsahu. Bez problémů je možné testovat tyto schématy v tomto případě, když je řízena a synchronizována mikroprocesorem (např. Z80). Pokud jsou asynchronní, mohou být

neoposredně v rámci systému na polné skrovnosti, to obvykle není ztížené s neustojivostí. Neustojivostní signatura může vzniknout v tomto případě, když schéma obnovování (refresh) pořídí kontrolu nad adresami a daty zapomínajícího zařízení OZU náhodně a nezávisle na mikroprocesoru. I když v tomto případě je schéma obnovování (refresh) synchronní s centrálním taktem signálem, obvykle toto ještě neznamená synchronní s existující testovací programem. Existuje mnoho možností řešení této problematiky. Jedna z nich spočívá v generaci „valid data clock“ signálu. V tomto případě, data jsou měřena BM 578 signaturou analyzátoru pouze tehdy, když platná data z RAM jsou přítomna, neboť signál CLOCK do analyzátoru je vždy vypnut během „refresh“ cyklů. Signál, který vypíná hodiny (tzv. clock qualifier) je vždy v systému k dispozici, neboť je nutný k řízení ostatních obvodů na sběrnici.

Spurious signals arriving from the „refresh“ circuitry can be suppressed by its complete disabling. The content of the store can be preserved even then, provided the time period, during which the test program scans through all RAM addresses, is shorter than the maximum allowed data „refresh“ period. The data will be refreshed by the test program itself. In actual practice, a good RAM test program cannot be squashed into such a brief time period. Moreover, a complex test program of a dynamic RAM store should include for the verification of data stability wait loops which exceed the maximum data „refresh“ time.

The test technique of the „refresh“ circuitry depends on its design. If it is driven by a  $\mu$ P and synchronized with it (as in Z80), then there are no problems with the testing of the „refresh“ circuitry. If the „refresh“ circuitry is asynchronous,

testovány jako nezávislý systém ve volném běhu. Připojením vývodu CLOCK BM 578 k hodinám „refresh“ obvodu a vývodů START—STOP k nejvýznamnějšímu bitu „refresh“ adres, můžeme ověřit průznamky celého obvodu. Obvykle je nutné zastavit při testování „refresh“ obvod mikroprocesor (RESET a HALT), aby svou schopnosti prerušit refresh či „vykrádat“ cykly neovlivňoval test.

синхронны, то могут испытываться в качестве не- зависимой системы в режиме свободного хода. В результате подключения вывода ТАКТ BM 578 к тактовому входу схемы восстановления «refresh» и выводов СТАРТ—СТОП к старшему биту адресов восстановления «refresh» можно проверить сигнатуры всей схемы. Обычно необходимо остановить микропроцессор (СБРОС и СТОП) при испытании схем восстановления «refresh» для того, чтобы микропроцессор с помощью своей способности прерывать восстановление «refresh» или вынимать циклы не оказывал воздействие на процесс испытания.

then it can be tested as an autonomous system in free running. By connecting the CLOCK output of the BM 578 instrument to the clock of the "refresh" circuitry, and the START and STOP lines to the most significant bit of the "refresh" address, the signatures of the whole circuitry can be verified. Usually, it will be necessary to stop the microprocessor [RESET and HALT] during testing of the "refresh" circuitry, in order to prevent it from influencing the test by its interrupt and cycle stealing capability over the "refresh" circuitry.

### 13.14. Vstupy a výstupy

Na tyto obvody se lze divat jako na paměťová místa s navazující logikou. Do testovacího programu se vloží části, které zapsáním či přečtením každého člena testovací posloupnosti stimuluji postupně všechny výstupy a vstupy [vstupy je nutné propojit s některým předem ověřeným výstupem a čist z nich data až po zápisu do tohoto výstupu]. Typickou testovací posloupností dat pro osmibitový výstup může být např. putující jednička (hexadecimálně 00 01 02 04 08 10 20 40 80 FF). Příklad algoritmu vytváření stimulu je na obr. 14. Navazující logiku je nutné vyzkoušet dalšími stimuly, vytvořenými podle struktury a složitosti navazujících obvodů. Vždy se snažíme o to, aby se nejvíce počet uzlů (i uvnitř IO) měnil definované svůj stav.

### 13.14. Входы и выходы

Эти схемы можно рассматривать в качестве запоминающих мест с сопряженной логикой. В испытательную программу вводятся части, которые в результате записи или считывания каждого элемента испытательной последовательности возбуждают постепенно все выходы и входы (входы необходимо соединить с определенным ранее проверенным выходом и читать снимаемые с них данные вплоть до записи на данный выход). Типичной испытательной последовательностью данных для восьмибитового выхода может быть, например, перемещающаяся единица (в шестнадцатеричном виде 00 01 02 04 08 10 20 40 80 FF). Пример алгоритма создания стимула дан на рис. 14. Сопряженную логику следует проверить дополнительными стимулами, созданными в зависимости от структуры и сложности сопряженных схем. Всегда следует стремиться к тому, чтобы как можно большее количество узлов (и внутри IO) изменяли определенным образом свое состояние.

Při zkoušení vstupů je nutno mít v paměti, že vlastně dochází k jistému druhu zpětné vazby — data se po průchodu dvojicí vstup–vstup opět objeví na sběrnici. To může při současném zkoušení více vstupů v jedné smyčce znemožnit loká-

### 13.14. Inputs and outputs

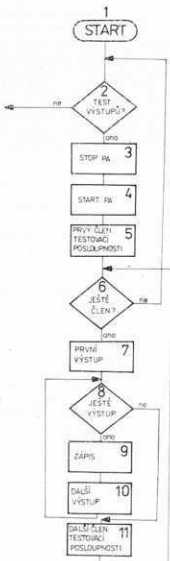
These circuits can be considered as store locations with related logic. Into the test program are inserted parts which, by writing or reading each element of the test sequence, stimulate successively all the outputs and inputs (it is necessary to interconnect the inputs with one of the outputs which has been verified previously and to read the input data only after writing them into this output). A typical data test sequence for an eight-bit output can be a "walking one" (in hexadecimal form: 00 01 02 04 08 10 20 40 80 FF). An example of an algorithm for stimulus creation is in Fig. 14. The related logic has to be tested by means of other stimuli created in accordance with the structure and involvedness of the related circuits. The endeavour is to cause a maximum number of nodes (also inside integrated circuits) to change their states in a defined manner.

When testing inputs, it is necessary to bear in mind that actually a certain type of feedback is created, as after passing through an output/input pair, the data appear again on the bus. When several inputs to one node are tested simultaneously, this can prevent fault location. Consequently,

1 — START  
 2 — test výstupů ?  
 3 — STOP PA  
 4 — START PA  
 5 — první člen testovací posloupnosti  
 6 — ještě člen ?  
 7 — první výstup  
 8 — ještě výstup ?  
 9 — zápis  
 10 — další výstup  
 11 — další člen testovací posloupnosti

1 — старт  
 2 — испытание выходов ?  
 3 — стоп СА  
 4 — старт СА  
 5 — первый элемент последовательности испытаний  
 6 — еще элемент ?  
 7 — первый выход  
 8 — еще выход ?  
 9 — запись  
 10 — последующий выход  
 11 — последующий элемент последовательности испытаний  
 ано = да  
 не = нет

1 — START  
 2 — Test of outputs ?  
 3 — STOP SA  
 4 — START SA  
 5 — First element of the test sequence  
 6 — Still element ?  
 7 — First output  
 8 — Still output ?  
 9 — Write  
 10 — Further output  
 11 — Further element of the test sequence  
 ано = Yes  
 не = No



Obr. 14  
Pic. 14  
Fig. 14

lizaci závady. Testujeme proto vždy každý vstup zvlášť, nebo svěříme celý test [porovnávání vyslaných a sejmůtých dat postupně u všech vstupů] procesoru, s odskokem na začátek celé smyčky při nalezení chyby. Příznakový analyzátor pak zjistíme pouze délku smyčky a z charakteristických příznaků můžeme v dokumentaci sestavit přímo chybovník vstupů. Tato metoda je podrobně popsána v kapitole 13.10. Paměti ROM a na obr. 13.

### 13.15. Asynchronní obvody

Existují obecně čtyři cesty, jak se vypořádat s testováním asynchronních obvodů:

1. Vyhneďte se používání asynchronních obvodů
2. Během PA obvody synchronizujeme
3. Testujeme je autonomním testem
4. Netestujeme je.

#### 13.15.1. Přerušení

Pro získání opakovatelných platných příznaků u obvodů přerušení musí existovat přesné časové relace mezi vstupem CLOCK, START/STOP intervalu a datovým vstupem. Protože přerušení jsou obecně řízena asynchronními obvody, musíme často učinit speciální opatření pro umožnění PA. Signál přerušení může přijít v kterémkoliv bodu programu a přesný okamžik jeho příchodu není obvykle řízen  $\mu$ P.

Je mnoho typů obvodů, které mohou vyslat signál pro přerušení: klávesnice, displej, obvody „refresh“ paměti RAM, DMA, komunikace, obvody servořízení a obvody sběru dat. Vícenásobná přerušení jsou často řazena podle priority či vektorově.

испытания большого количества входов в одной петле. Поэтому испытывается каждый вход отдельно или все испытание (сравнение передаваемых и снимаемых данных постепенно на всех входах) осуществляется микропроцессором с переходом в начало всей петли при обнаружении неисправности. С помощью сигнатурного анализатора определяется только длина петли и на основании характерных сигнатур можно в документации непосредственно составить перечень неисправностей входов. Этот метод подробно описан в п. 13.10. [и поддержан Fig. 13] где описаны в п. 13.10. «Запоминающие устройства ПЗУ» и на рис. 13.

### 13.15. Асинхронные схемы

В общем виде существуют четыре пути испытания асинхронных схем:

1. Избежать использования асинхронных схем
2. Во время SA обеспечить синхронизацию схем
3. Испытание осуществляется с помощью автономного способа испытания
4. Испытания не производятся.

#### 13.15.1. Обрывание

Для получения воспроизводимых правильных сигнатур в схеме прерывания должно существовать точное временное соответствие между сигналами входа ТАКТ, СТАРТ—СТОП, интервала и входа данных. Так как прерывание осуществляется в общем случае с помощью асинхронных схем, то часто необходимо принять специальные меры для возможного использования SA. Сигнал прерывания может появиться в любом месте программы и точное время его появления обычно не определяется микропроцессором.

Существуют много схем, которые могут передавать сигнал прерывания: клавиатура, дисплей, схемы восстановления «refresh», запоминающего устройства ОЗУ, запоминающее устройство с прямым доступом ЗУПД, линия связи, схемы управления и схемы сбора данных. Многократные

each input must be tested separately, or the whole test [comparing of the sent and sampled data on all the inputs successively] can be entrusted to a processor with loop-back to the beginning of the whole loop when a defect is found. With the aid of the BM 578 signature analyzer, only the length of the loop has to be determined and, from the specific signatures for the documentation, a catalogue of input failures can be compiled directly. This technique is described in detail in item 13.10. [and supported by Fig. 13] where the tests of ROM stores are described.

### 13.15. Asynchronous circuits

Generally, there exist four basic ways of dealing with the testing of asynchronous circuits:

1. Complete avoidance of using asynchronous circuits.
2. Synchronizing them during the application of SA.
3. Testing them by an autonomous test.
4. Not testing them at all.

#### 13.15.1. Interrupts

In order to obtain repeatable valid signatures from an interrupt circuit, exact time relations must exist between the CLOCK input, the START—STOP window and the DATA input. Interrupts are usually controlled by asynchronous circuits, therefore, often special provision must be made for employing SA. The interrupt signal can occur at any program point and usually the precise time of its occurrence is not  $\mu$ P-controlled.

Many different types of circuits can send an interrupt signal, i. e. keyboard, "refresh" circuits, RAM stores, DMAs, communications, servo-control and data acquisition circuits. Multiple interrupts are often controlled according to priority or vectored networks.

Nejlepší je chápát přerušení jako uzavřenou zpětnovazební smyčku, která musí být pro aplikaci PA ctevěna. Nejhodnějším místem k tomu je pětice vstup do  $\mu$ P. Rozpojením pětice linyk v tomto místě získáme možnost ovládat pětice.

I když nyní dojde k vyslání požadavků pětice,  $\mu$ P jej nepřijme. Při běhu PA testovacího programu potom trvalý požadavek na pětice (vypínacem či propojkou u  $\mu$ P), způsobí v přesně definovaném místě (u instrukce EI) skok do testovacího podprogramu pětice, odlišného od normálního obslužného programu. Tento podprogram vytvoří a vyšle takovou posloupnost dat (tj. stimulu), která vyzkouší, tj. vybudi obvody, související s generováním příslušného požadavku pětice.

Jeden způsob, jak to provést, je nahradit adresový prostor paměti ROM [v níž je obsluha pětice] jinou paměti ROM s testovacím programem PA. Viz obr. 15 a, b.

Jiná možnost je zahrnout do obslužného programu pětice rozdělovací blok (PA-NORM.) — viz obr. 15c.

Některé asynchronní obvody, obsluhující pětice, mohou být buď synchronizovány nebo ignorovány. Zpětnovazební smyčky lze otevřít a testovat samostatně. Pro hodinový vstup BM 578 lze obvykle použít hodiny systému. Signály START/STOP mohou být vzati z vodiče polovzrení pětice nebo softwarově generovány na nevyužitých adresových vodičích či na zařízení fizienně datovou sběrnici (např. výstupní port aj.). V případě mnohonásobných pětice vybudujeme systém testu postupně

preruvenia často sortiruji po prioritetu ili vektorovim образом. Lучше всего представлять прерывание в качестве замкнутой петли обратной связи, которая должна быть разомкнута для изменения СА. Наиболее подходящим местом является вход прерывания в микропроцессоре. Путем размыкания прерывающей линии в этом месте получается возможность управления прерыванием. Если в этом случае имеет место передача сигнала для прерывания, то микропроцессор его не прерывает. При протекании испытательной программы СА постоянное требование прерывания (выключателем или перемычкой у микропроцессора) способствует в точке определенном месте (у инструкции EI) скачку в испытательную подпрограмму прерывания, отличающуюся от нормальной обслуговывающей программы. Эта подпрограмма вырабатывает и передает такую последовательность данных (т. е. стимул), который проверяет, т. с. возбуждает цепи, связанные с генерированием соответствующего требования прерывания.

Один способ, как осуществить сказанное, заключается в замене пространства адресов запоминающего устройства ПЗУ (в котором имеется обслугивание прерывания) другим устройством ПЗУ с испытательной программой СА — см. рис. 15a, б.

В качестве другой возможности можно включить пороговый блок (PA-NORM.) в программу обслугивания прерывания — см. рис. 15b.

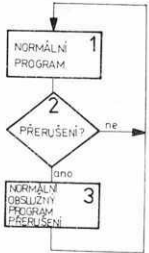
Некоторые асинхронные схемы, обслуживающие прерывание, могут синхронизоваться или игнорироваться. Цепи обратной связи можно разомкнуть и осуществлять самостоятельные испытания. Для тактового входа BM 578 можно обычно использовать тактовые импульсы системы. Сигналы СТАРТ—СТОП могут быть сняты с проводника подтверждения прерывания или генерироваться по программе на неиспользованных адресных проводниках или на устройствах, управляющих шинами данных (например, выход и др.). В случае многократных прерываний создается система испытаний, которая постепенно расширяет

It is best to consider an interrupt as a closed feedback loop, which must be opened in order to render the application of SA feasible. A suitable point where the loop can be opened is the  $\mu$ P interrupt input. By opening the interrupt line at this point, the capability of interrupt control is gained. Even if an interrupt request is sent, the  $\mu$ P does not accept it. With the SA test program running, a constant interrupt request (by means of a switch or jumper at the  $\mu$ P), causes at the exactly defined point (at an EI instruction) a jump into the test interrupt subroutine which differs from the normal service program. This subroutine produces and sends such a data sequence [i. e. stimulus] which tests, i. e. exercises, the circuits involved in the generating of the pertaining interrupt request.

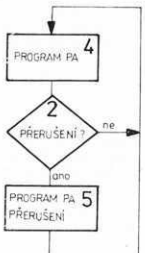
One way of carrying out this is to replace the ROM address space, where normally a services interrupt would be caused, by an SA test program (see Figs. 15a, 15b).

Another way is to include in the service interrupt program a decision block (SA-NORM), see Fig. 15c.

Certain asynchronous circuits, service interrupts, can be either synchronized or ignored. The feedback loops can be opened and tested separately. For the CLOCK input of the BM 578 signature analyzer, usually the system clock is applicable. The START and STOP signals can be drawn from an interrupt acknowledge line or software generated via an unused address line, or data bus-controlled device (e. g. output port, etc.). In the case of multiple interrupts, the test system can be built up from a gradually increasing number of permit-



Obr. 15a Pac. 15a Fig. 15a



Obr. 15b Pac. 15b Fig. 15b



Obr. 15c Pac. 15b Fig. 15c

Normální uspořádání ROM a obsluhy přerušení  
Normalное выполнение ПЗУ и обслуживания прерыванием  
Normal system ROM and service interrupt

Uspořádání ROM a obsluhy přerušení při PA  
Выполнение ПЗУ и обслуживания прерывания при СА  
ROM and SA service interrupt

Normální nebo PA ROM s výběrem přerušení  
Нормальная или СА ПЗУ с выбором прерывания  
Normal or SA ROM with interrupt selection

ano — за — yes  
ne — нет — no

- 1 — normální program
- 2 — přerušení ?
- 3 — normální obslužný program přerušení
- 4 — program PA
- 5 — program PA přerušení
- 6 — normální program nebo program PA
- 7 — PA ?

- 1 — нормальная программа
- 2 — прерывание ?
- 3 — нормальная программа обслуживания прерывания
- 4 — программа СА
- 5 — программа СА прерывания
- 6 — нормальная программа или программа СА
- 7 — СА ?

- 1 — Normal program
- 2 — Interrupt ?
- 3 — Normal service interrupt program
- 4 — SA program
- 5 — SA interrupt program
- 6 — Normal program or SA program
- 7 — SA ?

rozšiřujících počet povolených přerušení. Nejdříve všechna přerušení zakážeme kromě jediného, které ověříme s pomocí PA. Potom povolime a ověříme další atd.

Zkoušení zpětnovazebních smyček i bez jejich rozpojení může být také prováděno pomocí testovacího programu PA; pouze je třeba přemostit všechna asynchronní zpoždění. Takto identifikujeme chyby funkce, ale lokalizovat přesně oblast závady je velice obtížné, jelikož jsou zapojeny zpětné vazby. Jednou z takových možností je také povolení přerušení ještě před START/STOP intervalem a poté již jen ověření výsledků přerušení.

### 13.15.2. Monostabilní multivibrátory

Monostabilní multivibrátory představují, zvláště potřebujeme-li značně velká zpoždění, výrazně jednodušší řešení časovacího obvodu než čistě číslicová verze. Monostabilní obvody v zařízeních kompatibilních s PA musí být schopny produkovat synchronní předem známé opakovatelné impulsy, aby vznikaly jednoznačné a souhlasné příznaky. Nábožná hrana monostabilního multivibrátoru může obvykle být spouštěna  $\mu P$ , což bohužel už nepřilé pro sestupnou hranu. V případě, že impuls je delší než několik hodinových cyklů, vznikají potíže s dodržením časových vztahů mezi jednorázovým déjem a hodinami systému. Opatření k odstranění tohoto problému je buď monostabilní obvod přemostit nebo jeho impuls zúžit. Může toho být dosaženo změnou hodnoty časovací kapacity monostabilního obvodu. Je vhodné zkrátit (pro účely PA) délku impulsu pouze tak, aby byl ještě delší než

kolemžtovo dopustitelných prerryzání. Snažila se prerryzání zapřeňovat kromě jediného, které je ověřováno pomocí SA. Zatem povolíme a ověříme další atd.

Испытание петель обратной связи и без их размыкания может также осуществляться с помощью испытательной программы СА. В этом случае только необходимо все асинхронные задержки. В результате этого определяются неисправности функции, однако точно определить область неисправности весьма затруднительно, так как включены обратные связи. Одной из таких возможностей является также разрешение прерывания еще до интервала СТАРТ—СТОП, после чего уже только проверяются результаты прерывания.

### 13.15.2. Мультивибраторы с одним устойчивым состоянием

Мультивибраторы с одним устойчивым состоянием представляют собой (особенно в тех случаях, когда необходима большая задержка) значительно более простое решение схемы времени, чем чисто цифровые варианты. Схемы с одним устойчивым состоянием в устройствах, совместимых с СА, должны быть способны создавать синхронные ранее известные повторяющиеся импульсы для того, чтобы создать более простые сигнатуры и сигнатуры соответствия. Передний фронт сигнала мультивибратора с одним устойчивым состоянием может, как правило, запускаться микропроцессором, что, к сожалению, не относится к нисходящему фронту. В том случае, когда длительность импульса превосходит несколько циклов тактового сигнала, появляются затруднения, связанные с соблюдением временных соотношений между однократным явлением и тактовыми импульсами системы. Решением, устраниющим эту проблему, является шунтирование схемы с одним устойчивым состоянием или создание более узкого импульса. Последнее может быть достигнуто путем изменения постоянной времени (емкости) схемы мультивибратора. Целесообразно укоротить (для целей СА) длительность импульса

ted interrupts. First, all the interrupts are disabled with the exception of one which is verified with the aid of SA. Then, the others are enabled and verified successively.

Also testing of the feedback loops, without opening them beforehand, can be accomplished by using an SA test program. It is only necessary to bridge over all the asynchronous delays. In this manner, functional failures can be identified, but exact fault locating is very difficult, as the feedback paths are operative. Another possibility is to enable an interrupt before the START—STOP window and only then to test the consequences of the interrupt.

### 13.15.2. Monostable multivibrators

Monostable multivibrators, especially when considerable time delays are required, provide more practical solutions of the timing circuits than purely digital alternatives. Monostable circuits in devices compatible with SA must be capable of producing synchronous, predictable, repeatable pulses, in order to create unambiguous consistent signatures. The rising edge of a monostable multivibrator usually can be  $\mu P$ -triggered; unfortunately, this does not apply to the falling edge. If the duration of the pulse exceeds several clock cycles, it becomes difficult to maintain time relations between the one-shot phenomenon and the system clock. The way to deal with this problem is either to bypass the monostable circuit, or to reduce the width of its pulse. The latter can be achieved by altering the value of the timing capaci-

jeden hodinový cyklus. Pak může být správná funkce monostabilního obvodu prokázána příznakovou analýzou. Správnou funkci jednorázově spouštěného obvodu lze také ověřit schopností datové sondy BM 578 záchytit, prodlioužit a indikovat krátké impulsy. Je-li výstup monostabilního obvodu potřebný pro funkci další navazující logiky, je možné jeho výstupní impuls simulovat synchronně uvnitř testovacího programu PA s použitím výstupu linky  $\mu P$ , umístěného mimo právě testovanou část systému. Výstup monostabilního obvodu se po dobu testu nahradí jmenovanou linkou. Jinou možností je použít nulovacího vstupu monostabilního obvodu pro předčasné synchronní ukončení impulsu.

только так, чтобы он был длиннее одного тактового импульса. После этого правильная работа схемы с одним устойчивым состоянием может быть проверена с помощью сигнатурного анализа. Правильную работу однократно запускаемой схемы можно также проверить с помощью шупа данных BM 578, т. е. фиксировать, удлинять и индицировать короткие импульсы. Если выход схемы с одним устойчивым состоянием необходим для работы последующей сопряженной логики, то можно имитировать его выходной импульс синхронно внутри испытательной программы СА при использовании выходной линии микропроцессора, установленной вне как раз испытываемой части системы. Выход схемы с одним устойчивым состоянием в течение испытания заменяется вышеупомянутой линией. Другой возможностью является использование входа сброса схемы с одним устойчивым состоянием для преждевременного синхронного окончания импульса.

citor of the monostable circuit. For SA purposes it is advisable to reduce the duration of the pulse only so far that it still exceeds that of one clock cycle. This enables verifying of the correct functioning of a monostable circuit by the SA technique. The correct operation of a one-shot triggered circuit can be verified by the capability of the data probe of the BM 578 instrument to intercept, extend and indicate short pulses. If the output of a monostable circuit is needed for the operation of a further, linked-up logic it is possible to simulate its output pulse synchronously in the SA test program by using the output line of a  $\mu P$  situated outside the part of the system just being tested. Then, the output of the monostable circuit is substituted by the  $\mu P$  line for the duration of the test. Another technique is to use the zeroizing input of the monostable circuit for premature synchronous termination of the pulse.

### 13.15.3. Displeje

Obvody displejů jsou velice různorodé podle různých aplikací. Některé jsou pině závislé na  $\mu P$  a predstavují významnou skupinu, jiné mohou být úplně samostatné.

Displeje mají jedinečnou výhodu v tom, že můžeme provádět vizuální ověřování jejich vlastní funkce. Některé chyby můžeme určit přímo (vadný segment). Pro rychlou kontrolu je vhodné doplnit inicializační program celého přístroje, probíhající vždy po zapnutí sítě, o zapnutí všech segmentů na určitou dobu. Tím se umožní rychlé vizuální ověření všech segmentů. Podrobnější test je vhodné zařadit do programu samokontroly. Vhodná forma testu je např. posouvání posloupnosti všech znaků přes displej zprava doleva rychlosť vzhodnou pro přečtení. Tímto způsobem vyzkoušíme správn-

### 13.15.3. Displays

Схемы дисплеев являются весьма разнообразными в зависимости от назначения. Некоторые полностью зависят от микропроцессора и представляют собой значительную группу, другие могут быть совершенно самостоятельными.

Дисплеи имеют одно исключительное преимущество в том, что можно осуществлять визуальную проверку их собственной функции. Некоторые ошибки можно определить непосредственно (неработающий сегмент). Для быстрого контроля целесообразно дополнить программу инициализации всего прибора, протекающую всегда после включения сети, путем включения всех сегментов на определенное время. В результате этого дается возможность быстрой визуальной проверки всех сегментов. Более подробные испытания целесообразно включить в программу автоконтроля. Подходящая форма испытания — это, например, перемещение последовательности всех знаков через дисплей справа налево со скоростью, подходящей для чтения. Таким образом, прове-

### 13.15.3. Displays

The circuits of displays vary widely, depending on the applications; some are completely dependent on the  $\mu P$  and form a significant group, whereas others can be absolutely self-sufficient.

The great advantage of displays lies in the presentation of visual verification of their own operation. Some failures (a defective segment) can be determined directly. For speedy checking it is advantageous to supplement the initializing program of the whole instrument, which always runs after the mains power has been switched on, by lighting up of all the indicator segments for a brief period of time. Thus, fast visual checking of all the segments can be made. A more thorough test can be included in the self-testing program, a suitable form is e.g. shifting of the sequence of all the characters from right to left across the display at a speed suitable for comfortable reading. Thus, the correctness of the hardware of a display can

[nepředvídatelně] zasáhnout. Jinak by mohlo dojít ke generování nesouhlasících či nestabilních příznaků.

#### 13.15.4. Klávesnice

Klávesnice, spínače a obvody tlačítek mají výhodu v možnosti generování vlastního stimulu přímým ručním zásahem. Správnost operace sepnutí můžeme často sledovat přímo na odezvě objektů, které ovládáme příslušným spínačem. Jindy např. fungující displej může být použit pro echo (zopakování) stisků tlačítek.

Při používání statické klávesnice je hledání chyb v jejích obvodech jednoduché, je to v podstatě hledání a sledování chyb logickou sondou zabudovanou v datové sondě BM 578 v logické síti. V případě multiplexované klávesnice je třeba testovat jiným způsobem.

Multiplexované klávesnice obvykle používají buď integrované klávesové kodéry nebo mikroprocesory s interním rozkladovým obvodem. Obecně se integrované kodéry nehodí pro testování pomocí PA, jelikož časovací a fázoví signály jsou nepřístupné a nelze provést synchronizaci. Každá aplikace musí být tedy posuzována individuálně.

Na druhé straně v případě použití  $\mu P$  v rozkladových obvodech klávesnice lze aplikovat testy s využitím PA. Testovací smyčka PA pro rozkladové obvody generuje výstupní signály do maticy kláves, ze které odebíráme příznaky. Stisknutím jednotlivých kláves užavřeme obvod a na linkách jdoucích do  $\mu P$  je generován příslušný příznak. Viz obr. 16.

ture, které mohou asynchronně (nezajednaně) vložit se do práce schémat displeje. V opačném případě může mít místo generování nesouhlasících či nestabilních příznaků.

#### 13.15.4. Klávesnice

Klávesnice, spínače a obvody tlačítek mají výhodu v možnosti generování vlastního stimulu přímým ručním zásahem. Správnost operace sepnutí můžeme často sledovat přímo na odezvě objektů, které ovládáme příslušným spínačem. Jindy např. fungující displej může být použit pro echo (zopakování) stisků tlačítek.

Při používání statické klávesnice je hledání chyb v jejích obvodech jednoduché, je to v podstatě hledání a sledování chyb logickou sondou zabudovanou v datové sondě BM 578 v logické síti. V případě multiplexované klávesnice je třeba testovat jiným způsobem.

Multiplexované klávesnice obvykle používají buď integrované klávesové kodéry nebo mikroprocesory s interním rozkladovým obvodem. Obecně se integrované kodéry nehodí pro testování pomocí PA, jelikož časovací a fázoví signály jsou nepřístupné a nelze provést synchronizaci. Každá aplikace musí být tedy posuzována individuálně.

S druhé strany, v případě použití  $\mu P$  v rozkladových obvodech klávesnice lze aplikovat testy s využitím PA. Testovací smyčka PA pro rozkladové obvody generuje výstupní signály do maticy kláves, ze které odebíráme příznaky. Stisknutím jednotlivých kláves užavřeme obvod a na linkách jdoucích do  $\mu P$  je generován příslušný příznak. Viz obr. 16.

[unexpectedly] asynchronously with the operation of the display circuitry. Otherwise, inconsistent or unstable signatures could be generated.

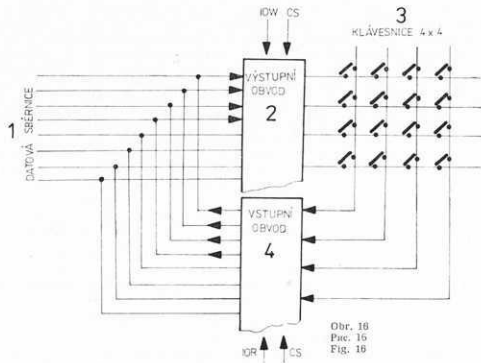
#### 13.15.4. Klávesnice

Keyboards, switches and push-button circuits have the advantage of being able to generate their own stimulus via manual intervention. Often the correctness of the switching operation can be observed directly by the response of the objects which are being controlled by means of the appropriate switch. If there is an operating display, it can be used to echo (repeat) the push-button switch closing.

When a static keyboard is used, trouble-shooting in its circuits is quite simple merely by following failures with the aid of the logic probe built into the data probe of the BM 578 signature analyzer. In the case of a multiplexed keyboard, the test must be carried out in another manner.

Multiplexed (scanned) keyboards usually employ either a keyboard encoder integrated circuit, or a microprocessor-controlled scanning circuit. Generally, integrated encoders cannot be tested by the SA technique, as the timing and control signals are not accessible and thus synchronization cannot be established. Therefore, each application must be evaluated individually.

On the other hand, when a  $\mu P$  is used to scan a keyboard, then the tests with SA employed can be applied. The SA test loop for the scanning circuits can generate output signals for the keyboard matrix, from which signatures can be obtained. By depressing the individual keys, the circuit is closed and causes generation of the appropriate signature on the lines leading to the  $\mu P$  (see Fig. 16).



1 — datová sběrnice  
2 — výstupní obvod  
3 — klávesnice  $4 \times 4$   
4 — vstupní obvod

1 — шина данных  
2 — выходная схема  
3 — клавиатура  $4 \times 4$   
4 — входная схема

Obr. 16  
Pic. 16  
Fig. 16  
1 — Data bus  
2 — Output circuit  
3 — Keyboard  $4 \times 4$   
4 — Input circuit

Generuje-li klávesnice v okamžiku stisknutí klávesy požadavek přerušení, je nutné při návrhu testu postupovat podle kapitoly 13.15.1. PŘERUŠENÍ. Samozřejmě, že přerušení můžeme jednoduše vyloučit tím, že nestiskneme klávesu. Ovšem při testování musí být klávesy postupně stisknuty, a proto byvá vhodné mít možnost rozpoznat nebo jinak řídit linku přerušení z klávesnice do  $\mu$ P.

Если клавиатура в момент нажатия клавиши генерирует требование на прерывание, то необходимо при проектировании испытания поступать в соответствии с п. 13.15.1. «Прерывание». Само собой разумеется, что прерывание можно просто исключить путем ненажатия на соответствующий клавиши. Однако, при испытании клавиши должны постепенно нажиматься и поэтому целесообразно иметь возможность размыкания или другого управления линией прерывания от клавиатуры в микропроцессор.

If, at the instant of depressing, the key generates an interrupt, then the test has to be prepared according to item 13.15.1. — "Interrupts". Obviously, the interrupt can be inhibited easily simply by not depressing the key. However, as the keys must be depressed during checking of the keyboard, it is useful to be able to disconnect, or to control in some other way, the interrupt line leading to the  $\mu$ P.

Je možná i efektivnější a rychlejší metoda testování klávesnice: klávesnic můžeme povážovat za zařízení, jehož funkci je možno simuloval výstupy z  $\mu$ P. Budeme-li mít možnost přes propojky nebo přes část konektoru přivést paralelně k tlačítkům klávesnice signály z některého  $\mu$ P řízeného výstupu, můžeme sem přivést stimul, vytvořený testovacím programem a vyzkoušet (ověřit) příznaky převážnou část obvodů klávesnice bez zdílovávání mačkání tlačítek. Touto metodou se ovšem nevyzkouší samotné mechanické kontakty kláves, které je nutné vyzkoušet např. logickou sondou.

Существует и более эффективный и быстрый метод испытания клавиатуры. Клавиатуру можно считать устройством, работу которого можно имитировать выходами микропроцессора. Если будет возможность подачи параллельно клавишам клавиатуры сигналов от определенного выхода, управляемого микропроцессором, с помощью перемычек или с помощью части коннектора, то можно в эти точки подать стимул, образованный испытательной программой и проверить сигнатуры, подавляющей части цепей клавиатуры без продолжительного нажатия кнопок. Однако, при использовании этого метода не будут проверены самы механические контакты клавиши, которые необходимо проверить с помощью, например, логического шупа.

There is also another, more efficient and speedier, method for keyboard checking. A keyboard can be considered as a device, the function of which can be simulated by the outputs of the  $\mu$ P. Provided signals taken from one of the  $\mu$ P-controlled outputs can be applied in parallel with the push-buttons of the keyboard via jumpers or a free part of a connector, then a stimulus formed by a test program can be employed to verify the majority of the keyboard circuits (by means of signatures) without tedious push-button depressing. It is clear that by this method it is impossible to verify the mechanical contacts of the keyboard; these must be tested e. g. with a logic probe.

### 13.16. Analogové obvody

Analogové obvody nejsou v podstatě vhodné pro kontrolu pomocí PA. PA však může být někdy použita pro nepřímé testování analogových lineárních obvodů. Např. některé analogové obvody mohou být buzeny tak, aby se chovaly „číslicově“ (DA převodník programovaný pouze na napěťové úrovně logické nuly a jedničky apod.). Jindy můžeme přivést analogový signál z řízeného zdroje (např. impulsní generátor nebo napájecí zdroj) do vstupu typu AD převodník, připojeného svým výstupem do číslicového systému. Správnost může být ověřena sejmutím příznaků z číslicové části zařízení. Naopak dříve přezkoušený číslicový obvod může být použit pro přezkoušení analogového obvodu. Výsledný analogový signál může být měřen běžnými přístroji (osiloskop, DMM, čítač) nebo v některých případech lze uvažit smyčku přivedením signálu zpět na vyzkoušený analogový výstup číslicového systému. Při práci s analogovými obvody je nutné věnovat pozornost dodržení časových požadavků BM 578. Např. při sledování ana-

### 13.16. Аналоговые схемы

Аналоговые схемы, по существу, не подходят для контроля с помощью СА. Однако, СА может быть иногда использован для косвенного испытания аналоговых линейных схем. Например, некоторые аналоговые схемы могут возбуждаться так, чтобы они вели себя «цифровым образом» (цифро-аналоговый преобразователь запрограммирован только для уровней напряжения логического нуля и единицы и д. т.). В ином случае можно подать аналоговый сигнал от управляемого источника (например, импульсный генератор или источник питания) на вход типа аналого-цифрового преобразователя, выход которого подключен к цифровой системе. Правильность может быть проверена путем снятия сигнатур с цифровой части аппаратуры. Наоборот, ранее проверенная цифровая схема может быть использована для проверки аналоговой схемы. Результирующий аналоговый сигнал может измеряться обычными приборами (осциллографом, ДММ, счетчиком) и в некоторых случаях можно замкнуть петлю путем подачи сигнала на проверенный аналоговый выход цифровой системы. При работе с аналоговыми схемами необходимо уделять внимание соблюдению времен-

### 13.16. Analog circuits

Analog circuits are not testable generally with the aid of SA. However, sometimes the SA technique is applicable for testing linear analog circuits indirectly. For example, some of these circuits can be driven so as to act as "digital" ones (D/A converters programmed only for the voltage levels of logic zero and logic one). In another case, an analog signal can be taken from a controlled supply (e. g. a pulse generator or a power supply) and applied to the input of an A/D converter connected by its output to a digital system. The correctness of operation can be verified by sampling signatures from the digital part of the device. Conversely, a previously verified digital circuit can serve for testing an analog one. The resulting analog signal responses can be measured with conventional instruments (CRT oscilloscope, digital voltmeter, or counter), or in certain cases the loop can be closed by bringing back the signal to the tested analog output of the digital system. When dealing with analog circuits, the timing requirements of SA (of the BM 578 instrument) must be ensured. For example, when

logových uzlů bývá nutné snížit kmitočet hodinových impulsnů pro BM 578, aby měl pomalejší analogový obvod dost času na odezvu.

### 13.17. Multiprocesorové systémy

V těchto zařízeních je obvykle jeden  $\mu P$  řídící a komunikauje s ostatními. Tento primární řídící  $\mu P$  je obvykle jediný, který potřebuje ROM s testovacím programem pro PA a který musí být schopen pracovat ve volnoběhu. Po ověření správné funkce tohoto  $\mu P$  se pomocí něj zkouší ostatní  $\mu P$  a jejich periferní obvody.

Jestliže však neexistuje efektivní cesta z primárního  $\mu P$  k sekundárnímu, znamená to, že neexistuje mnoho přímých interakcí mezi oběma  $\mu P$ . V tomto případě je vhodné přerušit všechny cesty spojení mezi oběma  $\mu P$  (může být provedeno softwarem) a testovat sekundární  $\mu P$  a jeho periferní obvody samostatně. Je zvláště důležité zajistit, aby právě testovaný  $\mu P$  byl jediný, který má přístup na společný hardware (např. paměť RAM) během START/STOP intervalu. Tím odstraníme případné nahodilé závislosti příznaků na obvodech mimo testovanou oblast a dosáhneme izolace testované části systému. Usnadní se tak lokalizace případně nalezené chyby.

### 13.18. Čítače a posuvné registry

Čítače a posuvné registry řízené  $\mu P$  mohou být testovány v mnoha případech stejně jako jiné  $\mu P$ .

nahých požadavků, predstavovaných BM 578. Například, při zkoumání analogních uzlů je obvykle nutné snížit frekvenci hodinových impulsnů pro BM 578, aby měl pomalejší analogní obvod dost času na reakci.

### 13.17. Multiprocessor systems

In such type of equipment, usually one  $\mu P$  controls and communicates with the others. This primary "control  $\mu P$ " is usually the only one which needs a ROM test program for applying the SA technique and must be capable of free running. After verifying the correctness of operation of this  $\mu P$ , with its aid all the other  $\mu P$ s and the related peripheral circuits can be exercised and tested.

If there is no effective control path from the primary  $\mu P$  to a secondary one, then also there are not many direct interactions between them. In such a case, it is necessary to disconnect all the paths between the two  $\mu P$ s (this can be carried out in the software) and to test the secondary  $\mu P$  and the related peripheral circuits separately. It is especially important to ensure that the  $\mu P$  under test is the only one which has access to the common hardware (e.g. RAM store) during the START — STOP window. Thus, random dependence of the signatures on circuits outside the area which is just being tested are eliminated, also the test field is reduced in this manner. Location of a defect (if any) is facilitated.

### 13.18. Counters and shift registers

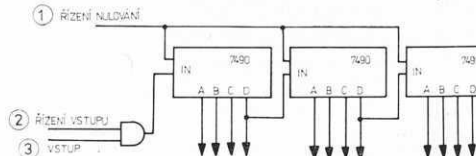
Counters and shift registers, controlled by  $\mu P$ , can be tested in many cases in the same manner as other  $\mu P$ -controlled circuits.

Fizené obvody. Vášimněte si např. obvodu na obr. 17.

Jestliže nulování i vstupní hradlo jsou fizeny  $\mu$ P a rovněž vstupní signál může být nahrazen jiným generovaným mikroprocesorem, bývá stimul pro využití čítače (či registru) generován částí testovacího programu a sledování příznaků čítače probíhá stejně jako testy ostatních obvodů systému.

- 1 — управление сбросом
- 2 — управление вводом
- 3 — вход

- 1 — Zeroing control
- 2 — Input control
- 3 — Input



Obr. 17  
Pic. 17  
Fig. 17

Jiný způsob je testovat čítače a registry samostatně, nezávisle. Postupujeme tak, že zajistíme odpojení nulování nebo synchronizujeme nulovací vodič tak, aby nuloval čítače vždy při jejich naplnění na určitý stav. Potom přivedeme na vstup čítače impulsní signál menšího knitočtu, než je příslušný mezní knitočet vstupu BM 578 a čítače. Nyní již lze ověřit správnost čítače pomocí PA. Testujeme-li řetězec identických a shodně zapojených čítačů, lze postup značně zjednodušit použitím tzv. klešti na integrované obvody. Vstupy BM 578 připojíme na kleště a přesouváním kleště z pouzdra na pouzdro testujeme jednotlivé stupně řetězce. Hodinový vstup CLOCK připojíme na vstup čítače, vstupy START i STOP na bit s nejvyšší váhou nebo na přenos, datový vstup připojíme na

съмые с помощью микропроцессоров. Обратите внимание, например, на схему на рис. 17. Если сброс и входной ключ управляются микропроцессором и если входной сигнал может быть также заменен другим сигналом, вырабатываемым с помощью микропроцессора, то стимул для возбуждения счетчика (или регистра) вырабатывается частью испытательной программы и сложение за сигнатурами счетчика происходит так же, как и испытания остальных схем системы.

ner as other  $\mu$ P-controlled circuits, Fig. 17 serves as an example.

If the zeroizing and input gates are  $\mu$ P-controlled and also if the input signal can be substituted by another, generated by the  $\mu$ P, then the stimulus for exercising the counter (or register) can be generated by a part of the test program and the signatures of the counter can be followed in the same manner as when the other circuits of the system are tested.

Иной способ испытания счетчиков и регистров заключается в их независимом отдельном испытании. При этом обеспечивается отключение схемы сброса или на провод сброса подается синхронизирующий сигнал так, чтобы сброс счетчика имел место при достижении счетчиком определенного состояния. Затем на вход счетчика подается импульсный сигнал более низкой частоты по сравнению с ограниченной частотой входа BM 578 счетчика. После этого можно проверить работоспособность счетчика с помощью СА. Если испытывать цепь идентичных счетчиков, включенных по одинаковой схеме, то процесс может быть значительно упрощен путем использования, так называемых, kleщей для интегральных микросхем. Входы BM 578 подключаются к kleщам и путем перемещения kleщей от одной микросхемы к другой испытываются отдельные каскады цепи. Тактовый вход TAKT подключается ко входу счетчика. Входы СТАРТ и СТОП подключаются к старшему биту или к цепи переноса, вход

Another method is to test counters and registers independently and separately. The procedure is as follows: First the zeroizing has to be disconnected or the zeroizing conductor has to be synchronized so that it resets the counter always when it is filled to a certain count state. Then, by applying an input pulse train of a frequency lower than the maximum allowed rate of the BM 578 signature analyzer and of the counter, correct operation of the counter can be verified by SA. If a chain of identically designed and equally wired counters is tested, then the procedure can be simplified by using a "test clip" for integrated circuits. The inputs of the BM 578 signature analyzer are connected to the test clip; then, the individual stages of the chain are tested by moving the clip from one integrated circuit to another. The CLOCK input has to be connected to the input of the counter, the START and STOP inputs to the most significant bit tag, or carry out; the data probe has to

výstupy nebo na +5 V. (Dotekem na +5 V kontrolujeme správnost START/STOP intervalu a tím i dělícího poměru čítače.)

Čítače však mohou čítat vnitřně dobře a pěstno na výstupu bude stále jedna nebo více chyb. Přemístováním testovací svorky z jednoho čítače na druhý totiž zkонтrolujeme jednotlivé všechny čítače, ale nikoliv jejich spojení a výstupní budíčky. Je tedy třeba brát metodu s použitím testovacích klešťí pouze jako vyhledání vadného integrovaného obvodu a spolupracující hardware ověřit s čítačem jako celek při testu kompletního čítače.

Na obr. 18 je příklad připojení BM 578 k jednomu stupni čítače, osazenému MH 7490, včetně správných příznaků. Takto zapojený přípravek lze rovněž použít k prvnímu seznámení s BM 578 a s PA.

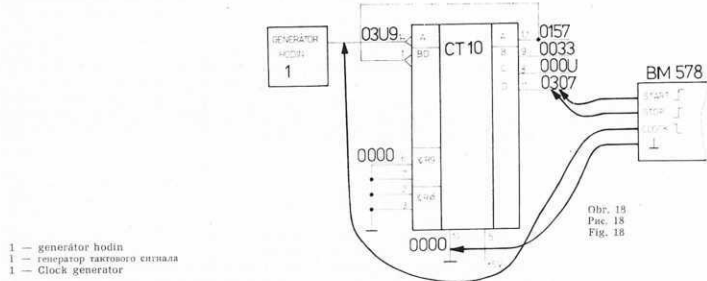
datních podkлюčuje se k výstupům nebo k +5 V (putem přikrokování k napětímu +5 V) pro prověrku správnosti intervalu START—STOP (window) i v rezultátu toho i koeficientu dělení čítače. Odíkno, když čítače a pracují správně, na výstupu může být jedna nebo větší počet chyb. Přemístováním testovacího zámkovače od jednoho čítače k druhému kontrolujeme všechny čítače, ale ne ihned všechny výstupní budíčky. Sledovatelně, metoda s otevíratelnými klešťemi může být použita jen v rámci metody hledání vadného integrovaného obvodu, přičemž spolupracující hardware musí být ověřen s čítačem v celém.

Na obr. 18 je příklad připojení BM 578 k jednomu stupni čítače, osazenému MH 7490, včetně správných příznaků. Takto zapojený přípravek lze rovněž použít k prvnímu seznámení s BM 578 a s PA.

be connected to the various outputs, or to +5 V (by touching +5 V, the correctness of the START—STOP window can be checked and thus also the dividing ratio of the counter).

A counter integrated circuit can count correctly internally and nevertheless one or more errors can be encountered at the output. By moving the integrated circuit test clip from one counter integrated circuit to another, all of these circuits can be checked individually, but not their interconnections and output drivers. Therefore the application of the test clip serves only for finding a defective integrated circuit, and the hardware co-operating with a counter integrated circuit must be verified together with this circuit when the counter as a whole is being tested.

Fig. 18 shows an example of connecting the BM 578 to one stage of a counter, formed by an MH 7490 device, and with the correct signatures indicated. This setup can serve as a means of becoming familiar with the BM 578 instrument and with signature analysis.



- 1 — generátor hodin
- 1 — generátor taktového signálu
- 1 — Clock generator

Při testování dlouhých asynchronních čítačových řetězců narůstá značně průchozí zpoždění. Jestliže s tímto jevem nepočítáme, může to mít za následek nestabilní nebo odlišné příznaky na jinak zcela identických obvodech. Je vhodné se přesvědčit, že perioda vstupního hodinového signálu řetězce není kratší než nejhorší případ maximálního zpoždění celého řetězce.

Stejně jako čítače můžeme ověřovat i posuvné registry. Navíc však musíme vytvořit řízený vstupní tok dat, abychom mohli zkонтrolovat posuny už i jednotek. Jestliže jsou čítače a posuvné registry synchronní, odpadají většinou problémy s průchodem zpožděním.

### 13.19. ASM (Algorithmic State Machine – algoritrické stavové stroje)

Struktury ASM jsou sestavovány ze stavových registrů, paměti ROM a zpětnovazební logiky a jsou v zásadě vhodné pro testování pomocí PA. I když nejsou tak pružné jako μP systémy, pečlivě navržený ASM může velmi dobře využít výhod PA. Stejná pravidla platí pro aplikaci PA na mikroprocesory i pro ASM: metoda postupného rozšiřování jádra (nejdříve stavový registr, pak ROM, nakonec logika), volný běh, otevření zpětnovazebních smyček, generování stimulů.

Jestliže má stavový registr ASM schopnost počítat (či inkrementovat), není obecně obtížné jej uvést do volnoběhu. Řídící vodiče registru pro větvění mohou být zablokovány, což umožní spojitou inkrementaci stavového registru. Od volnoběhu lze upustit v případě, že by se tím zdržala izolace chyb. Někdy lze externě volnoběhem stimulovat předavným servisním hardwarem. Příznaky sleduje-

Právě v testování dlouhých asynchronních řetězců značně narůstá délka zpoždění, kterou může mít každý čítač. Jestliže neuznáváme tento jev, může to vést k nečekaným nebo nesouladujícím výsledkům. Nejlepší je uživatelnost řetězce závisí na tom, že perioda vstupního hodinového signálu řetězce není kratší než nejhorší případ maximálního zpoždění celého řetězce.

Stejně jako čítače můžeme ověřovat i posuvné registry. Navíc však musíme vytvořit řízený vstupní tok dat, abychom mohli zkонтrolovat posuny už i jednotek. Jestliže jsou čítače a posuvné registry synchronní, odpadají většinou problémy s průchodem zpožděním.

### 13.19. ASM (Algorithmic State Machine – машины алгоритмических состояний)

Структуры ASM образованы из регистров состояний, запоминающих устройств ПЗУ и логики обратной связи и, в принципе, пригодны для испытания с помощью СА. Несмотря на то, что они менее гибки по сравнению с микропроцессорными системами тщательно разработанный ASM может очень хорошо пользоваться преимуществами СА. Правила, справедливые для применения СА в микропроцессорных схемах, справедливы и для ASM: метод постепенного расширения ядра (сначала регистр состояний, затем ПЗУ и, наконец логика), свободный ход, размыкание цепей обратной связи, генерирование стимулов.

Если регистр состояний ASM способен считать (или шагать), то принципиально нетрудно его перевести в режим свободного хода. Управляющие провода регистра для разветвления можно заблокировать, что дает возможность непрерывных прращений регистра состояний. От режима свободного хода можно отказаться в случае, когда это приведет к повышению стоимости изоляции ошибок. Иногда можно внешне вызвать режим свободного хода с помощью дополнительного тек-

When testing long ripple counter chains, considerable propagation delay can take place. If this phenomenon is not accounted for, then unstable or false signatures can result on entirely identical circuits. It is advisable to ensure that the period of the clock input to the counter chain is not shorter in the worst case than maximum propagation delay of the entire chain.

Also shift registers can be verified by applying the same methods as for verifying counters. However, additionally a controlled input data stream must be provided, in order to be able to check the shifts of "zeros" as well as of "ones". If the counter or shift register chains are synchronous, propagation delay problems are seldom encountered.

### 13.19. Algorithmic state machines

ASM structures are assembled from state registers, ROM stores and feedback logic, and generally are well suited for the application of the SA test technique. Even though they are not as flexible as μP systems, a well designed ASM can benefit greatly from the advantages of SA. The same rules valid for the application of SA to μPs are valid also for ASMs, i. e. the method of gradually extending the kernel (first the state register, then the ROM store, and finally the logic), free running, opening of feedback loops, and generating of SA stimulus test routines.

If the ASM state register has the capability of counting (or incrementing), generally it is not difficult to induce it to free running. The control lines of the register for branching can be disabled; this allows the state counter to increment continuously. Free running can be omitted if the fault isolation would be affected adversely by it. Sometimes it is possible to stimulate free running externally by using additional service hardware. Then, the signatures are taken at the ROM store, state

me na paměti ROM, stavovém registru a v ostatních bodech přístroje. Příklad takového řešení je na obr. 19.

Hlavní důvod pro použití externí stimulace k volnému běhu ASM je ten, že v mnoha případech by jinak musela být v pořádku značná část (často i více než polovina) hardwaru, aby volnoběh výběr nastal a produkoval použitelné příznaky.

V případě, že je ASM v  $\mu$ P systému a  $\mu$ P má možnost ASM ředit, je testování ASM mnohem jednodušší.  $\mu$ P provádějící testovací program PA je použit i pro ovládání stavového registru nebo čítáče, a tak může vyzkoušet většinu nebo i všechny obvody třízené ASM. ASM se v tomto smyslu stane programovaným stimulem, jehož programová data přicházejí z  $\mu$ P.

Sekvenční obvody jsou takové ASM, ve kterých chybí algoritmus. Přecházejí z jednoho stavu do druhého po předurčené cestě, která není ovlivňována zpětnými vazbami nebo jinými podmínkami. S výjimkou operací čekání a nulování mají sekvenční obvody definované časování a jsou vhodné pro testování pomocí PA. U jednoduchých sekvenčních obvodů je test s PA pouhě proběhnutí všem stavy v jejich normální funkci a sejmout příznaky ze všech uzlů.

### 13.20. Mnohonásobné hodiny

V systémech, kde se vyskytuje více než jedna časová základna [např. frekvenční čítací s jedními hodinami pro  $\mu$ P a druhými pro měřicí část], se můžeme setkat při použití PA s problémy synchronizace [nezaměňovat s vícefázovými hodinami].

nického osnažení. Signatury наблюdají se na zapomínajícím uspořádání IZU, registrech stacionárních a v ostatních místech zařízení. Příklad takového řešení je na obr. 19. Ostatní příčinou používání vnitřní stimulace je to, že v mnoha případech je potřeba využít většinu či všechny součásti ASMs, aby byly funkce řízení a řízení využity v celém zaměření. Tento typ řešení je využíván v mnoha případech, když je potřeba využít většinu či všechny součásti ASMs, aby byly funkce řízení a řízení využity v celém zaměření.

V tomto případě, když je ASM používán v mikropřecessorové soustavě a mikropřecessor má možnost řídit ASM, je testování ASM mnohem jednodušší.  $\mu$ P, který provádí testovací program PA, může řídit i stavový registr nebo čítací hodiny, a tak může vyzkoušet většinu nebo i všechny obvody třízené ASM. ASM se v tomto smyslu stane programovaným stimulem, jehož programová data přicházejí z  $\mu$ P.

### 13.20. Mnohonásobné hodiny

V systémech, kde je možné použít více než jednoho časového základny [např. frekvenční čítací s jedními hodinami pro  $\mu$ P a druhými pro měřicí část], se můžeme setkat při použití PA s problémy synchronizace [nezaměňovat s vícefázovými hodinami].

register, and other points of the instrument. An example of this solution is given in Fig. 19. The main reason for using an external stimulus to induce free running of an ASM is that otherwise in many cases a too large part of the hardware (often more than half of it) would have to be in perfect order to make free running possible at all, let alone to produce a usable signature.

If there is an ASM in a  $\mu$ P system and the  $\mu$ P has control of the ASM, then the testing of the latter is much easier. The  $\mu$ P which is carrying out the SA test program can be employed also for controlling the state register or the counter and thus can exercise many or all of the circuits of the ASM-controlled circuitry. In a sense, the ASM becomes a programmable stimulus, the program data of which arrive from the  $\mu$ P.

Sequencers are such ASMs in which the algorithm is missing. A sequencer simply passes from one state to the next one along a predetermined path, which is not influenced by feedbacks or other conditions. Except for a wait or zeroing operation, sequencers have predictable timing and are suitable for testing by SA methods. In simple sequencers, the SA test consists in simply stepping through all the states in the normal manner of these sequencers and in sampling the signatures from all the nodes.

### 13.20. Multiple clocks

In a system which uses more than one time base (e.g. a frequency counter with one clock for the  $\mu$ P and another clock for the measuring part), synchronization difficulties can be encountered when SA is applied (not to be confused with multiphase clocks). Even though it seems to be easy to



Obr. 19  
Pic. 19  
Fig. 19

- 1 — stimulační čítač
- 2 — stavový registr
- 3 — ROM
- 4 — další části přístroje
- 5 — rozpojená cesta k ROM
- 6 — externí obvody ASM

- 1 — счетчик стимулации
- 2 — регистр состояний
- 3 — ПЗУ
- 4 — следующие части прибора
- 5 — разомкнутый путь к ПЗУ
- 6 — внешние схемы ASM

- 1 — Stimulating counter
- 2 — State register
- 3 — ROM store
- 4 — Rest of the instrument
- 5 — Opened path to the ROM store
- 6 — External ASM circuitry

Zdálo by se jednoduché synchronizovat mnohonásobné hodinové obvody mezi sebou ( pomocí přerušení nebo čekání), avšak příznaky jsou v mnoha místech obvodu funkcí více než jedné časové základny, což je nevhodné pro BM 578 s pouze jedním hodinovým vstupem.

Pro účely PA je vždy vhodnější jednoduchá časová základna. Někdy lze nahradit nebo synchronizovat všechny časové základny tak, aby byl synchronní celý systém. Nevýhodou tohoto postupu je, že některé obvody nepoběží svou normální rychlosť a to bude znamenat ztrátu informací o dynamických vlastnostech těchto obvodů.

Jiný způsob je vzájemné izolování systémů s různými hodinami a jejich samostatné testování. Znamená to ovšem otevření nebo zablokování některých signálních cest mezi jednotlivými částmi ob-

tronizovatelného mnohokrátneho tajmeru mezi sebou ( s pomocí прерывания или ожидания ), однако сигнатура во многих местах схемы является функцией более одного таймера, что является неподходящим для BM 578, рассчитанного только на один вход тактовых импульсов.

Для целей СА всегда более подходит простой таймер. Иногда можно заменить или синхронизировать все таймеры так, чтобы вся система была синхронной. Недостатком такого способа является то обстоятельство, что некоторые схемы не будут работать со своей нормальной скоростью, что влечет за собой потерю информации о динамических свойствах этих схем.

Другой способ заключается во взаимной изоляции систем с различными таймерами и их самостоятельное испытание. Это, однако, означает отключение или блокировку некоторых сигнальных путей между отдельными частями схемы. Иногда

mutually synchronize multiple clock circuits ( by means of waits or interrupts ), the signatures produced on many of the nodes become a function of more than one time base, which is unsuitable for the BM 578 signature analyzer which has only one clock input.

For SA purposes, it is always best to have one simple time base. Sometimes, all the time bases can be substituted or synchronized, so that the whole system becomes synchronous. A disadvantage of this method is that some circuits do not run at their normal rate, thus causing loss of information about their dynamic properties.

Another procedure consists in the mutual isolation of the circuitries having different clocks and in their separate testing. Obviously, this means that the signal paths between the individual circuits concerned must be either disabled or opened. So-

vodu. Někdy lze izolace rovněž dosáhnout vypnutím hodin všech systémů kromě testovaného.

### 13.21. Nerezidentní testovací programy

Jestliže testovaný přístroj má komunikační schopnosti s programovatelným kalkulačorem nebo počítačem, může být testovací program uložen v tomto zařízení. Při provozu může kalkulačka řídit PA buď přímo (např. převzetím řízení adresové a datové sběrnice) nebo může zapsat testovací program PA do paměti RAM výrobku, a potom jej odstartovat. Výhody tohoto postupu jsou:

1. Omezí se počet nefunkčních částí přístroje, tj. obsah paměti ROM PA, přepínače, propojky aj.
2. Použije se levnější paměťové médium k uložení testovacích programů.
3. Umožní se změny testovacích programů PA v budoucnosti bez vlivu na hardware či firmware.

Nevýhody jsou:

1. Mnoho zařízení musí být uvedeno do chodu před provedením testovacího programu PA.
2. Při provádění testovacího programu z vlastní paměti RAM musí mít tato paměť dostatečnou velikost na jeho uložení.
3. Kalkulačka nebo počítač musí být k dispozici a musí mít schopnost testovat přístroj.

### 13.22. Dokumentace

Tak jako jsou popisována schémata televizních přijímačů napětími a osciloskopickými obrazci, lze použít u schémát číslicových přístrojů příznaky.

možno dosáhnout izolaci také prostřednictvím vypnutí hodin všech systémů kromě testovaného.

### 13.21. Нерезидентные испытательные программы

Если испытываемый прибор имеет возможность связи с программируемым калькулятором или ЭВМ, то испытательная программа может храниться в этой аппаратуре. При работе калькулятор может управлять СА прямо (например, управление сборной шиной адресов и данных) или может записать испытательную программу СА в запоминающее устройство ОЗУ изделия и потом осуществить старт программы. Преимущества этого способа следующие:

1. Ограничиваются количество нерабочих частей прибора, т. е. объем запоминающих устройств ПЗУ СА, переключателей, перемычек и т. д.
2. Используется более дешевое запоминающее средство для хранения испытательных программ.
3. Имеется возможность изменения испытательных программ СА в будущем без влияния на техническое оснащение или фирменное программное оснащение.

Недостатки этого способа следующие:

1. Перед выполнением испытательной программы СА необходимо включить в ход большее количество устройств.
2. При выполнении испытательной программы с помощью собственного запоминающего устройства ОЗУ последнее должно обладать достаточной емкостью для хранения программы.
3. Калькулятор или ЭВМ должны иметься и должны иметь возможность испытывать прибор.

### 13.22. Документация

Аналогично указания напряжений и осцилограмм сигналов на схемах телевизионных приемников можно на схемах цифровых устройств указать

metimes the isolation can be achieved simply by switching off the clocks of all the circuitries, except that of the circuitry under test.

### 13.21. Non-resident test programs

If the instrument under test has communication capability with a programmable calculator or computer, then the test program can be stored in this equipment. In operation, the calculator can control the SA either directly (e.g. by controlling the address and data bus), or can write the SA test program into the RAM store of the instrument and then let it run. The advantages of this method are as follows:

1. Reduced number of non-functional elements, such as SA ROM store content, switches, jumpers, etc.).
2. Less expensive storage media for the test programs.
3. Ability to revise the SA test programs in the future without influencing hardware or firmware.

The disadvantages of this technique are as follows:

1. Much of the equipment must be set in operation before the SA test program can be applied.
2. If the test program runs from the RAM store of the instrument to be tested, this store must be large enough to hold the program.
3. A calculator or computer must be available and must be capable of testing the instrument.

### 13.22. Documentation

Just as the diagrams of TV receivers are marked with voltages and oscilloscope waveforms, the diagrams of digital instruments can be marked

V obou případech může být nalezena chybná operace sledování zpět až do místa vzniku. Takový postup lze velice efektivně využít u obvodů bez mnoha zpětných vazeb (např. mnohé sekvenční a obecně logické obvody). U složitějších komplexních datových struktur jako jsou μP a ASM nelze do jednoho schématu zaznamenat všechny příznamky příslušné jednotlivým testovacím smyčkám, a proto je vhodná přídavná dokumentace.

Při fotografování schémat je dobré snažit se zachovat rozmiření součástek jako na desce a dbát na to, aby vstupy byly na levé a výstupy na pravé straně obvodu. Příznamky by měly být umístěny u zdrojů signálu (nebo na řídící špičce 10) nebo označeny hvězdičkou či jinou barvou pro rozlišení výstupních (vysílačích) špiček od vstupních (přijímacích).

Je-li možný výskyt více než jednoho platného příznaku v tomtéž uzlu (v závislosti na testovacím módu), lze použít více barev a typů písma, či můžeme přidat čísla testů k identifikaci jednotlivých příznamků.

### 13.22.1. Tabulky příznaků

Vyjmutí příznaků ze schématu a jejich umístění do tabulek umožní získat mnohem lepší přehled v dokumentaci. Pro různé testovací smyčky mohou existovat různé tabulky příznaků platících pro tentýž IO.

V některých případech lze téměř úplně vyloučit potřebu schématu tím, že sestavíme pro vyhledávání jednotlivých chyb vývojové schéma (nebo „strom“), které se bude odvolávat na správné příznaky v příslušných tabulkách.

vyvázt signatury. V obou sloužebních obnášených ošiničbou povedení může být zjištěno až do mesta vzniku. Takovým postupem lze velice efektivně využít u obvodů bez mnoha zpětných vazeb (např. mnohé sekvenční a obecně logické obvody). U složitějších komplexních datových struktur jako jsou μP a ASM nelze do jednoho schématu zaznamenat všechny příznamky příslušné jednotlivým testovacím smyčkám, a proto je vhodná přídavná dokumentace.

Při sestavování schémat je celosložitě udržovat rozmiření součástek podobně, jak je to uvedeno na desce a dbát na to, aby vstupy byly na levé a výstupy na pravé straně obvodu. Příznamky by měly být umístěny u zdrojů signálu (nebo na řídící špičce 10) nebo označeny hvězdičkou či jinou barvou pro rozlišení výstupních (vysílačích) špiček od vstupních (přijímacích).

Je-li možný výskyt více než jednoho platného příznaku v tomtéž uzlu (v závislosti na testovacím módu), lze použít více barev a typů písma, či můžeme přidat čísla testů k identifikaci jednotlivých příznamků.

Если может существовать больше одной действительной сигнатуры в том же узле (в зависимости от рода испытания), то можно использовать большее количество цветов и типов шрифта или же можно указывать номера испытаний для определения отдельных сигнатур.

### 13.22.1. Таблицы сигнатур

Вынимание сигнатур из схемы и их указание в таблицах дает возможность получить значительно удобное общее представление в документации. Для различных испытательных петель могут существовать различные таблицы сигнатур, спаралльных для той же интегральной микросхемы.

В некоторых случаях необходимо полностью исключить схему путем составления структурной схемы для отыскания отдельных неисправностей (или "дерева"), в которой будут данные на правильные сигнатур на соответствующих таблицах.

with signatures. In both cases, faulty operation can be detected and traced back to the point of origin. This technique can be used efficiently when the digital circuit has not many feedback loops [e.g. many sequencers and random logic circuits]. In more complex logic data structures [such as μPs and ASMs] it is impossible to mark all the signatures pertaining to the individual test loops in one diagram, therefore additional documentation is required.

When drawing diagrams, it is advisable to maintain the same layout of the components as they are mounted actually on the PCB and to take care that the inputs are on the left-hand side of the circuits and the outputs on the right-hand side of them. The signatures should always be at the signal sources (or at the control tag of the integrated circuit), or should be marked with an asterisk, or coloured to distinguish output (driving) pins from input (receiving) ones.

If more than one valid signature could appear on the same node (depending on the test mode), then more colours or letter types can be used, or the caption can include the number of the pertaining test for identification of the individual signatures.

### 13.22.1. Signature Tables

Deleting of the signatures from the diagrams and listing them in Tables supplies a more lucid documentation. For various test loops, several Tables of signatures can exist which apply to the same type of integrated circuit.

In some cases, the necessity of a diagram can be quite avoided by preparing a flow chart (trouble-shooting tree) with references to the valid signatures listed in the pertaining Tables.

### 13.22.2. Příznakové mapy

Dalším způsobem dokumentace je zhotovování příznakových map desek PS nebo jejich částí. Spojí se tím operace nalezení testovaného místa a kontroly příznaku v tomto místě. Příznakové mapy nejsou vhodné při velké hustotě součástek na desce.

### 13.22.3. Metoda dělení

Při sestavování vývojového diagramu vyhledávání závady je velmi vhodné vždy rozdělit část zařízení identifikovanou jako špatnou na dvě části a pomocí dvou významných příznaků opět identifikovat špatnou část atd. atd.

### 13.22.2. Карты сигнатур

Следующим способом документации является изготавление карт сигнатур плат печатного монтажа или их частей. В результате этого объединяется операция нахождения испытательного места и контроль сигнатуры в этом месте. Карты сигнатур не подходят в случае большой плотности деталей на плате.

### 13.22.3. Метод деления

При образовании структурной схемы для нахождения неисправности весьма целесообразно разбить часть аппаратуры, которая определена в качестве неисправной на две части и с помощью двух значимых сигнатур снова определить неисправную часть и т. д. и т. д.

### 13.22.2. Signature maps

Another method of documenting signatures is to make a signature map for a PCB or for a part of it. Thus, the operation of finding a test point and the checking of the pertaining signature can be combined. However, signature maps are not applicable for high-density PCBs.

### 13.22.3. Splitting method

When preparing a flow chart for trouble-shooting, it is always very useful to divide into two parts that section of the equipment which has been identified as faulty. Then, with the aid of two significant signatures, the faulty part has to be determined and split up into two further [smaller] parts, etc.

#### 14. ROZPIS ELEKTRICKÝCH SOUČÁSTÍ

СПЕЦИФИКАЦИЯ ЭЛЕКТРИЧЕСКИХ ДЕТАЛЕЙ  
LIST OF ELECTRICAL COMPONENTS

##### 1X1 832 85

###### Electrical components:

Component	Type - Value	Drawing No.
Diode E1, E5	VQA 13	IAN 145 62
Diode E2, E3	VQA 23	IAN 145 88
Diode E4	VQA 33	IAN 145 87
Transistor E6	KD616	
Fuse cartridge P1	F 200 mA	CSN 35 4733.2

###### Hradlová sonda

Ключевой щуп

Gating probe

IAF 002 24

###### Resistors:

No.	Type	Value	Max. load W	Tolerance ± %	Standard ČSSR
R1-R3	Film	5.6 kΩ	—	2	TR 182A 5k6K
R4-R6	Film	392 Ω	1	0.25	TR 191 392R F
R7-R9	Film	232 Ω	1	0.25	TR 191 232R F
R10-R12	Film	274 Ω	1	0.25	TR 191 274R F
R13-R15	Film	316 Ω	1	0.25	TR 191 316R F
R16-R18	Film	909 Ω	1	0.25	TR 191 909R F
R19	Film	3.48 kΩ	1	0.25	TR 191 3K48 F
R20	Film	1.47 kΩ	1	0.25	TR 191 1K47 F

###### Capacitors:

No.	Type	Value	Tolerance ± %	Max. DC Voltage V	Standard ČSSR
C1-C3	Ceramic	68 pF	20	40	TK 794 68p M
C4-C8	Ceramic	68 000 pF	-20	12.5	TK 782 68n Z
C9, C10	Electrolytic	100 μF	+80	6	TE 981 100 μA - PVC

###### Further electrical components:

Component	Type - Value	Drawing No.
Integrated circuit IO 1, IO 2, IO 3	MH 74S10	
Integrated circuit IO 4	MAA 741	
Transistor E1—E6	KC509	
Transistor E7—E9	BSX29	
Diode E10—E15	KA206	IAN 145 30

###### Indikace

Индикация

###### Display

IAF 002 37

###### Electrical components:

Component	Type - Value
Luminiscence diode E1—E4	LQ410

###### Datová sonda

Щуп приема данных

###### Data probe

IAF 002 39

###### Resistors:

No.	Type	Value	Max. load W	Tolerance ± %	Standard ČSSR
R1	Film	470 Ω	10	0.25	TR 191 470R K
R2	Film	301 Ω	1	0.25	TR 191 301R F
R3	Film	392 Ω	1	0.25	TR 191 392R F
R4	Film	562 Ω	1	0.25	TR 191 562R F
R5	Film	324 Ω	1	0.25	TR 191 324R F

No.	Type	Value	Max. load W	Tolerance $\pm$ %	Standard CSSR
R6	Film	121 $\Omega$	1	0.25	TR 191 121R F
R7	Film	232 $\Omega$	1	0.25	TR 191 232R F
R8	Film	274 $\Omega$	1	0.25	TR 191 274R F
R9	Film	316 $\Omega$	1	0.25	TR 191 316R F
R10	Film	909 $\Omega$	1	0.25	TR 191 909R F
R11	Film	432 $\Omega$	1	0.25	TR 191 432R F
R12	Film	392 $\Omega$	1	0.25	TR 191 392R F

#### Capacitors:

No.	Type	Value	Tolerance $\pm$ %	Max. DC voltage V	Standard CSSR
C1	Ceramic	68 pF	20	40	TK 794 68p M
C2, C3	Ceramic	0.1 $\mu$ F	-20	12.5	TK 782 100n Z

#### Further electrical components:

Component	Type - Value	Drawing No.
Integrated circuit IO 1	MH 74S00	
Transistor E1, E2	KCS09	
Transistor E3	KSV71	
Transistor E4—E6	BSX29	IAN 145 30
Diode E7, E8	KA206	

#### Analyzator

#### Аналитатор

#### Analyzer

#### 1AF 002 44

#### Resistors:

No.	Type	Value	Max. load W	Tolerance $\pm$ %	Standard CSSR
R1	Film	4.7 k $\Omega$	10	0.25	TR 191 4K7 K
R2	Film	100 $\Omega$	10	0.25	TR 191 100R K
R3	Film	100 $\Omega$	10	0.25	TR 191 100R K

No.	Type	Value	Max. load W	Tolerance $\pm$ %	Standard CSSR
R4	Film	4.7 k $\Omega$	10	0.25	TR 191 4K7 K
R5	Film	150 $\Omega$	10	0.25	TR 191 150R K
R6-R9	Film	4.7 k $\Omega$	10	0.25	TR 191 4K7 K
R10	Film	470 $\Omega$	10	0.25	TR 191 470R K
R11-R14	Film	150 $\Omega$	10	0.25	TR 191 150R K
R15-R18	Film	470 $\Omega$	10	0.25	TR 191 470R K
R20	Film	150 $\Omega$	10	0.25	TR 191 150R K
R21-R27	Film	33 $\Omega$	10	0.25	TR 191 33R K
R28-R34	Film	820 $\Omega$	10	0.25	TR 191 820R K
R35	Film	4.7 k $\Omega$	10	0.25	TR 191 4K7 K
R36	Film	100 $\Omega$	10	0.25	TR 191 100R K
R37	Film	4.7 k $\Omega$	10	0.25	TR 191 4K7 K
R38-R40	Film	4.7 k $\Omega$	10	0.25	TR 191 4K7 K
R41	Film	1 k $\Omega$	10	0.25	TR 191 1K0 K
R42, R43	Film	430 $\Omega$	5	0.25	TR 191 430R J
R44	Film	330 $\Omega$	10	0.25	TR 191 330R K
R45	Film	1 k $\Omega$	10	0.25	TR 191 1K0 K
R46	Film	330 $\Omega$	10	0.25	TR 191 330R K
R47	Film	1 k $\Omega$	10	0.25	TR 191 1K0 K
R48	Film	330 $\Omega$	10	0.25	TR 191 330R K
R49	Film	1 k $\Omega$	10	0.25	TR 191 1K0 K
R50	Film	330 $\Omega$	10	0.25	TR 191 330R K
R51	Film	1 k $\Omega$	10	0.25	TR 191 1K0 K
R52	Film	330 $\Omega$	10	0.25	TR 191 330R K
R53	Film	1 k $\Omega$	10	0.25	TR 191 1K0 K
R54	Film	330 $\Omega$	10	0.25	TR 191 330R K
R55	Film	1 k $\Omega$	10	0.25	TR 191 1K0 K
R56	Film	330 $\Omega$	10	0.25	TR 191 330R K
R57	Film	1 k $\Omega$	10	0.25	TR 191 1K0 K
R58	Film	330 $\Omega$	10	0.25	TR 191 330R K
R59	Film	1 k $\Omega$	10	0.25	TR 191 1K0 K
R60	Film	4.7 k $\Omega$	10	0.25	TR 191 4K7 K
R61	Film	430 $\Omega$	5	0.25	TR 191 430R J
R62	Film	150 $\Omega$	10	0.25	TR 191 150R K
R63	Film	4.7 k $\Omega$	10	0.25	TR 191 4K7 K
R64	Film	430 $\Omega$	5	0.25	TR 191 430R J
R65	Film	150 $\Omega$	10	0.25	TR 191 150R K

**Capacitors:**

No.	Type	Value	Tolerance ± %	Max. DC voltage V	Standard CSSR
C1	Ceramic	1 000 pF	20	40	TK 724 1n0 M
C2	Ceramic	270 pF	10	40	TK 794 270p K
C3	Tubular	1 µF	10	100	TC 215 1µ 0 K
C4	Electrolytic	50 µF	—	8	TE 981 50 µA - PVC
C5	Ceramic	470 pF	10	40	TK 794 470p K
C6-C8	Electrolytic	50 µF	—	6	TE 981 50 µA - PVC
C9-C18	Ceramic	0.1 µF	-20 +80	32	TK 783 100n Z
C19, C20	Ceramic	47 000 pF	-20 +80	32	TK 783 47n Z

**Further electrical components:**

Component	Type - Value	Drawing No.
Integrated circuit IO 1	MH 74S112	
Integrated circuit IO 2, IO 3	MH 74S74	
Integrated circuit IO 4	UCV 74 180N	
Integrated circuit IO 5, IO 6	MH 74164	
Integrated circuit IO 7-IO 10	MH 7475	
Integrated circuit IO 11, IO 12	UCV 74153N	
Integrated circuit IO 13	MH 7489	
Store IO 14	MH 74168	IAN 136 01
Store IO 15	MH 74168	IAN 136 02
Integrated circuit IO 16-IO 18	MH 7493A	
Integrated circuit IO 19	MH 7442	
Integrated circuit IO 20	UCY 7466N	
Integrated circuit IO 21, IO 22, IO 29	MH 7440	
Integrated circuit IO 23, IO 24, IO 33	MH 7404	
Integrated circuit IO 25-IO 28, IO 30, IO 31	MH 7400	
Integrated circuit IO 32	MH 74S04	
Integrated circuit IO 34	MH7410	
Transistor E1-E7	KSY21	
Transistor E8-E11	BC313	

Component	Type - Value	Drawing No.
Diode E12	KA261	
Diode E13, E14, E16-E22	KA206	

**Napáječ**  
**Источник питания**  
**Power supply**  
**IAN 291 31**

**Resistors:**

No.	Type	Value	Max. load W	Tolerance ± %	Standard CSSR
R1	Wire-wound	0.2 Ω	2	—	IAA 669 24
R2	Film	4.7 Ω	10	1	TR 223 4R7 K
R3	Trimmer	1.5 kΩ	—	0.5	TP 011 1K5 N
R4	Film	56 Ω	5	0.25	TR 151 56R J
R5	Film	390 Ω	10	0.25	TR 151 390R K
R6	Film	3.3 kΩ	5	0.25	TR 151 3K3 J
R7	Trimmer	1kΩ	—	0.5	TP 011 1K0 N
R8	Film	2.7 kΩ	5	0.25	TR 151 2K7 J
R9	Film	3.3 kΩ	5	0.25	TR 151 3K3 J
R10	Film	2.2 kΩ	5	0.25	TR 151 2K2 J
R11	Film	10 Ω	5	0.25	TR 151 10R J
R12	Film	1.5 kΩ	5	0.25	TR 151 1K5 J

**Capacitors:**

No.	Type	Value	Tolerance ± %	Max. DC voltage V	Standard CSSR
C1, C2	Electrolytic	2.2 µF	—	25	TE 675 2m2A - PVC
C3-C5	Ceramic	0.1 µF	-20 +80	32	TK 783 100n Z
C6	Ceramic	0.1 µF	-20 +80	12.5	TK 782 100n Z
C7, C8	Electrolytic	100 µF	—	15	TE 984 100 µA - PVC
C9	Ceramic	0.1 µF	-20 +80	32	TK 783 100n Z
C10	Ceramic	100 pF	10	40	TK 754 100p K
C11	Electrolytic	100 µF	—	15	TE 984 100 µA - PVC

**Transformers and coils:**

Component	Designation	Drawing No.	No. of tap	No. of turns	Wire Ø in mm
Transformer coil		1AN 667 56			
		1AK 624 32	1—2	880	0.236
			3—4	880	0.236
2X coil		1AK 626 04	I—I	80	0.355
				100	1.12

**Further electrical components:**

Component	Drawing No.
Integrated circuit IO 1	MA 7805
Integrated circuit IO 2	MAA 723H
Diode E1, E2	KV708
Thyristor E3	KT401 50
Diode E4	KZ260/5V6
Transistor E6, E10	KFY18
Diode E7, E8	KY130/150
Diode E9	KZ260/0V8
Fuse cartridge P2	F 2.5 A
	ČSN 35 4733.2

Součásti, které jsou označeny výkresovým číslem 1AN ... jsou vybírány tak, aby odpovídaly speciálním předpisům.

Детали, обозначенные 1АН..., выбираются согласно специальным предписаниям.

Components designated with drawing number 1AN ... are selected according to special regulations.

## SEZNAM PŘÍLOH

### Desky s plošnými spoji

- BM 578/1 — IAF 002 24 — Hradlová sonda  
— IAF 002 37 — Indikace  
BM 578/2 — IAF 002 38 — Montážní jednotka  
— IAF 002 39 — Datová sonda  
  
BM 578/3 — IAF 002 44 — Analýzator

### Schéma zapojení

- BM 578/4 — 1X1 832 85 — Příznakový analyzátor  
BM 578  
BM 578/5 — IAF 002 24 — Hradlová sonda  
BM 578/6 — IAF 002 37 — Indikace  
BM 578/7 — IAF 002 39 — Datová sonda  
  
BM 578/8 — IAF 002 44 — Analýzator  
BM 578/9 — 1AN 291 31 — Napáječ

### Tabulky

- BM 578/10 — Vývojový diagram hledání závady —  
tabulka 3  
BM 578/11 — Tabulka příznaků — tabulka 4

## ПЕРЕЧЕНЬ ПРИЛОЖЕНИЙ

### Печатные платы

- BM 578/1 — IAF 002 24 — Ключевой щуп  
— IAF 002 37 — Индикация  
BM 578/2 — IAF 002 38 — Монтажный блок  
— IAF 002 39 — Щуп приема  
данных  
BM 578/3 — IAF 002 44 — Анализатор

### Электрические схемы

- BM 578/4 — 1X1 832 85 — Сигнатурный  
анализатор BM 578  
BM 578/5 — IAF 002 24 — Ключевой щуп  
BM 578/6 — IAF 002 37 — Индикация  
BM 578/7 — IAF 002 39 — Щуп приема  
данных  
BM 578/8 — IAF 002 44 — Анализатор  
BM 578/9 — 1AN 291 31 — Источник питания

### Таблицы

- BM 578/10 — Структурная схема отыскания  
неисправности — таблица 3  
BM 578/11 — Таблица сигнатур — таблица 4

## LIST OF ENCLOSURES

### Printed circuit boards

- BM 578/1 — IAF 002 24 — Gating probe  
— IAF 002 37 — Display  
BM 578/2 — IAF 002 38 — Mounting unit  
— IAF 002 39 — Data probe  
  
BM 578/3 — IAF 002 44 — Analyzer

### Connecting diagrams

- BM 578/4 — 1X1 832 85 — Signature analyzer  
BM 578  
BM 578/5 — IAF 002 24 — Gating probe  
BM 578/6 — IAF 002 37 — Display  
BM 578/7 — IAF 002 39 — Data probe  
  
BM 578/8 — IAF 002 44 — Analyzer  
BM 578/9 — 1AN291 31 — Power supply

### Tables

- BM 578/10 — Flow diagram for trouble-shooting  
— Table 3  
BM 578/11 — Table of signatures — Table 4

Рознадмкүз:

Примечания:

Note:

Розмірку:

Призначення:

Note:

Р о з н а м к ы :

П р и м е ч а н и я :

Н o t e :

Розподілку:

Примечания:

Note: